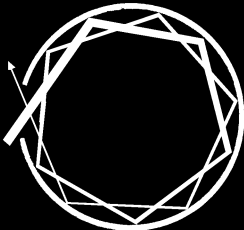


О.А.ГЕРАЩЕНКО, В.Г.ФЕДОРОВ



Техника
**ТЕПЛОТЕХНИЧЕСКОГО
ЭКСПЕРИМЕНТА**

В книге описаны основные приемы и методы тепловых измерений в теплотехнических экспериментах

Большое внимание уделено новым приборам для измерения локальных значений тепловых потоков, в частности, датчикам теплового потока, разработанным авторами

Книга рассчитана на научных и инженерно технических работников в области теплотехники и автоматики, а также может быть рекомендована для аспирантов и студентов этих специальностей

Ответственный редактор
канд. техн. наук Г. Ф. СЕЛЯВИН

Печатается по постановлению учченого совета
Института технической теплофизики Академии наук Украинской ССР

Олег Аркадьевич Геращенко,
Владимир Гаврилович Федоров
Техника теплотехнического эксперимента

Редактор И. К. Смычник

Художественный редактор И. П. Антонюк
Оформление художника С. И. Бродского

Корректор Ц. Ц. Шупак

Технический редактор М. А. Рекес

бФ 05233 Зак № 708 Изд № 200 Тираж 250 Формат бумаги 60×90^{1/4} Печ физ
тистов 10/25 Условия печ листов 10/25 Учетно изд листов 10/25 Подписано к печати
30 III 1964 г Цена 61 коп

Львовская типография № 14 Государственного комитета Совета Министров УССР
по печати, Львов, Стефанника 11

ПРЕДИСЛОВИЕ

В процессе непрерывного развития техники возникают все новые и новые ее отрасли. В них большое место занимают процессы теплообмена. Поэтому необходимо изучать их с целью интенсификации или, реже, ограничения. Современная теория теплообмена нуждается в тщательных экспериментальных исследованиях, так как почти во всех своих отраслях носит эмпирический или полуэмпирический характер.

Каким бы способом не происходил теплообмен между двумя телами или частями одного тела — теплопроводностью, конвекцией или тепловым излучением, основными величинами, характеризующими теплообмен в любой точке тела (локальный теплообмен), являются температура и тепловой поток.

Температурные измерения в теплотехническом эксперименте характеризуют качественную сторону явления, тепловые — количественную. Для измерения температуры создано много приборов, большинство из них доведено до серийного изготовления. Имеется и многочисленная литература по термометрии.

Что же касается тепловых измерений, то до сих пор еще почти нет приборов, которые позволяли бы измерять количество тепла, проходящего через достаточно малые участки теплообменной поверхности в любой точке тел различной конфигурации. В каждом отдельном случае экспериментатор создает особую методику измерения тепловых потоков, идя зачастую на усложнение и искажение условий опыта. Результатом же является обычно усредненное по большой поверхности (части аппарата или аппарата в целом) измерение теплового потока. При этом можно пройти мимо важных обстоятельств эксперимента. Поэтому большого внимания заслуживают работы по созданию и исследованию приборов для измерения локальных тепловых потоков. Эти приборы необходимы как в научном эксперименте, так и при эксплуатации и наладке различного теплотехнического и химического оборудования, в системах автомо-

матического регулирования и управления технологическими процессами, связанными с теплообменом. Особые требования к локализации тепловых измерений предъявляются в аппаратах и установках новой техники с предельно форсированным теплообменом, в частности в ядерных реакторах на быстрых и промежуточных нейтронах, в ракетных двигателях в оптических квантовых генераторах, в электронике больших мощностей и т. д.

В предлагаемой книге делается попытка классифицировать методы тепловых измерений, рассматриваются возможности локализации измерений этими методами, описываются приборы для тепловых измерений. Основная часть книги посвящена исследованием авторов по разработке, практическому применению и внедрению датчиков теплового потока — приборов, в известной мере восполняющих пробел в технике теплотехнического эксперимента.

При создании этих приборов авторы стремились добиться высокой локализации и универсальности измерений, точности и стабильности, отсутствия искажений физической картины процесса.

ГЛАВА I

ВИДЫ РАСПРОСТРАНЕНИЯ ТЕПЛОВОЙ ЭНЕРГИИ

Все предпосылки, выводы и заключения этой книги основываются на представлении о тепловой энергии как о субстанции однородной и непрерывной. Основное необходимое нам свойство тепла состоит в том, что тепло, в соответствии со вторым началом, передается под воздействием температурного напора от тела с более высокой температурой к телу с более низкой. Формы передачи тепловой энергии могут быть самыми разнообразными. Практическое значение имеют следующие три формы передачи тепловой энергии: тепловое излучение, теплопроводность, конвекция.

I. ТЕПЛОВОЕ ИЗЛУЧЕНИЕ

Тепловое излучение — это один из видов передачи энергии посредством электромагнитных волн. Вследствие вероятностного характера распределения энергии в форме колебательных движений элементов атомов и молекул в твердых телах их излучение оказывается самым разнообразным по частоте. Спектр их излучения непрерывен по длине волн.

В металлах в связи с большим количеством свободных электронов, движение которых носит характер неорганизованных торможений и ускорений, на описание выше излучение накладывается импульсное электромагнитное излучение также со сплошным спектром различных длин волн.

Особое положение в отношении излучения занимают газы вследствие их способности к дискретному излучению и поглощению. В дальнейшем, говоря о теплообмене излучением, мы будем иметь в виду в основном теплообмен между твердыми телами с непрерывным спектром излучения.

Одна из основных особенностей твердых тел заключается в том, что их воспринимающая способность определяется качеством и состоянием поверхности. Непрозрачное тело поглощает лишь часть падающей на него энергии, оставшаяся часть энергии отражается.

Тело с поверхностью, поглощающей всю падающую на нее энергию излучения, называется абсолютно черным. Практически таких тел не существует. Даже такие «черные тела», как сажа и черный бархат, отражают до 5% падающей на них энергии.

Доля энергии, поглощенная поверхностью тела, называется степенью черноты (ϵ). Величина, дополняющая степень черноты до единицы, называется степенью отражения.

Для того чтобы наиболее коротко систематизировать данные наблюдений и прийти к эффективным обобщениям, надо иметь представление об оболочках, идеально отражающих и идеально поглощающих, т. е. о таких, степени черноты и отражения которых равны единице. В создании модели абсолютно черного тела практически можно достичь сравнительно многоного, приблизив степень черноты к единице. Что же касается совершенных отражателей, то степень поглощения около 2—3% является тем пределом, достичь которого удается далеко не каждому экспериментатору. Такую степень поглощения можно получить лишь на чрезвычайно тщательно полированных золотых, медных и серебряных зеркалах, способных долгое время сохранять качество поверхности только в вакууме и без загрязнений.

Представим себе, что два излучающих тела помещены в идеально отражающую изоляцию таким образом, что обмен энергией возможен только за счет лучепропускания и только между этими двумя телами. Степень черноты этих тел положим существенно различной. Какими бы ни были начальные температуры тел, со временем, вследствие теплообмена в соответствии со вторым началом термодинамики, тела придут в температурное равновесие, т. е. их температуры станут равными и неизменными во времени. Рассматриваемые тела можно разделить абсолютно черной перегородкой, которая, прида в состояние температурного равновесия, ничем не изменит условий обмена энергии между этими двумя телами.

Таким образом, при температурном равновесии каждое из тел будет отдавать в окружающее пространство столько же лучистой энергии, сколько отдавало бы абсолютно черное тело. Такое излучение назовем полным. Часть полного излучения тела, равную его степени отражения, тело отразит из того количества энергии, которое пришло к нему из окружающего пространства. Остальная же часть представит собой собственное излучение, которое дополняет энергетический поток за счет

отражения до величины полного излучения. Следовательно, тепло, находящееся в температурном равновесии, будет излучать само тем больше, чем меньше оно отражает, т. е. чем больше оно поглощает.

Правило это впервые было сформулировано П. Прево (1809) и в дальнейшем (1859) более строго сформулировано Киркгофом в следующем виде: отношение испускательной способности тела к его поглощающей способности для всех тел при одинаковой температуре постоянно.

При радиационном нагревании тело поглощает тем больше, чем большая его степень черноты, радиационное охлаждение характеризуется обратной зависимостью. Изложенное может быть проиллюстрировано следующими опытами.

Внесем в несветящееся водородное пламя черепок фарфора, расписанного простым темным рисунком на белом фоне. При накаливании рисунок начинает светиться более ярко, чем фон. Если же внести черепок внутри закрытой полости с небольшим отверстием для наблюдения в довести его до состояния температурного равновесия со стенками печи, то рисунок перестает быть различимым. При нагревании черепка радиационным излучателем, например описанной ниже радиационной печью, и охлаждении за счет свободной или вынужденной конвекции светлые места остаются светлыми, темные — темными.

Аналогичную картину можно наблюдать при прокаливании электрическим током платиновой ленты, до половины покрытой платиновой чернью. Черная часть светится ярче, чем блестящая.

На основании изложенного можно сделать вывод о том, что замкнутая полость, находящаяся в состоянии температурного равновесия, при любой степени черноты, отличной от идеальной нулевой, в смысле излучения будет вести себя так, как если бы ее стены были абсолютно черными. Если в такой замкнутой полости проделать относительно малое отверстие, то излучение через него, будет соответствовать излучению абсолютно черного тела. На основании закона Киркгофа полость с таким отверстием и поглощать будет как абсолютно черное тело. Для того чтобы эффективность полости была высокой, диаметр отверстия должен быть мал по сравнению с поперечником полости (порядка $\frac{1}{10}$). Большие относительные отверстия можно допустить в тех случаях, когда стеки, противолежащие отверстию, достаточно черны, как, например, в радиационной печи, описанной в гл. III. На рис. I показан ход лучей в модели абсолютно черного тела.

Количество энергии, излучаемой телом, определяется на основании закона Стефана—Больцмана. В 1884 г. Л. Больцман, на основании законов термодинамики, а также опытных и теоретических изысканий И. Стефана (1879), пришел к выводу, что

суммарное излучение абсолютно черного тела должно быть пропорционально четвертой степени температуры, т. е.

$$E_T = \sigma T^4. \quad (1.1)$$

Приведенное уравнение носит наименование закона Стефана—Больцмана

Тщательные экспериментальные измерения дали значение постоянной

$$\sigma = 5,67 \cdot 10^{-8} \text{ вт}/\text{м}^2 \cdot \text{град}^4. \quad (1.2)$$

Обычные материалы, применяемые в технике, по степени черноты отличаются от абсолютно черного тела

Теоретические соображения Л. Больцмана не распространяются на не абсолютно черные, или, как их принято называть, серые тела. Экспериментальные данные также не подтверждают закон Стефана—Больцмана для серых тел. Так, для платины при температуре около 1000°C и для вольфрама опытные данные хорошо аппроксимируются зависимостями:

$$\sigma_{pt} = 3,56 \cdot 10^{-11} T^{4,7}, \quad (1.3)$$

$$\sigma_w = 5,9 \cdot 10^{-13} T^{5,35}. \quad (1.4)$$

Такие зависимости крайне неудобны для инженерной практики, поэтому для серых тел принятая следующая зависимость

$$E_{ct} = \sigma T^4. \quad (1.5)$$

Таким образом, для серых тел в технике условно принято, что закон Стефана—Больцмана соблюдается. Поправку на ограждение всех видов относят к степени черноты ϵ , которая в результате этого становится еще и функцией температуры. Если такая зависимость установлена экспериментально, то с точки зрения строгости инженерных расчетов все обстоит благополучно.

Другие законы излучения в целях сокращения объема опущены.

2. ТЕПЛОПРОВОДНОСТЬ

Под теплопроводностью принято понимать передачу тепла внутри тела от одной части к другой или от одного тела к тесно соприкасающемуся с ним другому без заметных смещений частиц тел.

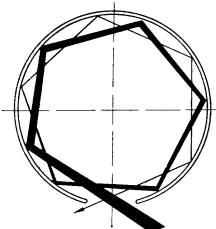


Рис. 1 Схема движения луча в модели абсолютно черного тела

По второму закону термодинамики такая передача тепла должна происходить в сторону убывания температуры. Следовательно интересующая нас область (или области) должна представлять собой температурное поле. Напомним, что температура — величина скалярная.

В общем случае задача теплопроводности в однородном изотропном сплошном теле без источников и стоков энергии описывается уравнением Фурье, имеющим в декартовых координатах следующий вид

$$\frac{\partial T}{\partial z} = a \left(\frac{\partial^2 T}{\partial x^2} + \frac{\partial^2 T}{\partial y^2} + \frac{\partial^2 T}{\partial z^2} \right). \quad (1.6)$$

При установленвшемся во времени процессе левая часть уравнения становится равной нулю и уравнение преобразуется в уравнение Лапласа:

$$\frac{\partial^2 T}{\partial x^2} + \frac{\partial^2 T}{\partial y^2} + \frac{\partial^2 T}{\partial z^2} = 0. \quad (1.7)$$

В большинстве случаев приходится иметь дело именно с такими установившимися во времени процессами. Лишь при оценке инерционности чувствительных элементов приборов, когда нельзя будет пренебречь собственной теплоемкостью материала датчиков, мы обратимся к анализу нестационарных во времени процессов, например к определению момента времени, когда теплоемкость датчика перестает влиять на его показания.

Анализируя скалярное температурное поле, мы придем к полу векторному — полю градиента температур. Температурным градиентом называется вектор, имеющий направление наибольшего быстрого увеличения температуры и равный по величине производной температуры по координате в направлении наибольшего быстрого изменения. Таким образом, градиент представляет собой скорость изменения температуры при переходе по линии наибольшего быстрого ее изменения.

Из математической физики известно, что поля, описываемые уравнением Лапласа (1.7) являются потенциальными, а сама функция температуры — потенциалом. Именно в связи с этим приобретает особый смысл понятие о температурном потенциале, как о величине, характеризующей температурное поле, и открывается возможность аналогий, имеющих большое практическое значение. В этом смысле потенциальное поле является идеально автомодельным; температурный потенциал без нарушения строгости постановки и решения задачи можно заменить потенциалом электрическим (электротепловая аналогия), магнитным, гидравлическим и др.

Если какое-либо явление аналогично с каждым из ряда явлений, то все явления аналогичны между собой. По аналогии с другими полями для температурного также существует понятие напряженности поля, равной отрицательному градиенту:

$$t = -\operatorname{grad} T \quad (18)$$

В теле с заданными теплофизическими свойствами напряженность температурного поля характеризует условия, способствующие перетеканию тепла, т. е. возникновению тепловых токов. Вектор теплового потока по направлению совпадает с вектором напряженности. Это утверждение может быть легко доказано. Действительно, если бы векторы потока и напряженности не совпадали, то вектор потока, как всякую векторную величину, можно было бы разложить на две взаимно-перпендикулярные составляющие, одна из которых совпадала бы с напряженностью, а вторая — была направлена перпендикулярно к ней, т. е. вдоль изотермической поверхности. В соответствии со вторым началом термодинамики эта вторая составляющая должна быть равна нулю.

Функция, значения которой остаются постоянными на линиях тока, называется функцией тока. Разность ее значений в двух точках пропорциональна количеству тепла, протекающему в единицу времени через пространство между этими точками в слое с фиксированной толщиной, следовательно, густота линий теплового тока пропорциональна плотности потока.

Итак, удельный тепловой поток пропорционален температурной напряженности:

$$q = \lambda t = -\lambda \operatorname{grad} T \quad (19)$$

Для различных веществ коэффициент пропорциональности λ различен. Он характеризует теплофизические свойства тел и называется коэффициентом теплопроводности.

Линии равного потенциала — эквипотенциали и линии тока образуют ортогональную систему. Из анализа двумерного уравнения Лапласа в конечных разностях следует, что соотношение между сторонами прямоугольников, образуемых эквипотенциалиами и линиями тока, выбранными с одинаковым шагом, сохраняется постоянным на всем исследуемом поле. Отсюда следует, что если в одной точке поля потребуется, чтобы линии равного потенциала и линии тока при достаточной густоте образовывали квадратную сетку, то такое условие конформности, т. е. в данном случае квадратности ячеек сетки, должно сохраняться на всем поле. При решении двумерных задач это обстоятельство позволяет, с одной стороны, не производя вычислений, построить довольно точную картину температурных полей при заданных граничных условиях, с другой, — эффе-

ктивно контролировать результаты модельных и численных расчетов. Заметное отклонение ячеек сетки от конформности говорит не только о наличии ошибки, но и о месте, где она допущена.

Из уравнения (1.9) следует, что для определения теплового потока достаточно знать теплопроводность материала и температурную напряженность в нужном месте определяемого теплового потока. Однако в большинстве практических задач мы с достаточной точностью не знаем ни теплопроводности, ни температурной напряженности.

В связи с этим в практике получил довольно широкое распространение так называемый принцип дополнительной стенки, который состоит в том, что в исследуемую область вносится дополнительная стенка с известными теплофизическими свойствами, снабженная устройством для измерения температурной напряженности. Тепловое сопротивление такой стеки должно быть незначительным, чтобы она не вносила дополнительных температурных возмущений.

На принципе дополнительной стеки построено много приборов для измерений тепловых потоков, в частности, широко известный «пояс Шмидта». Некоторые приборы описаны ниже.

3. КОНВЕКЦИЯ

Конвекция — это теплопередача посредством переноса. К ней относятся многие разновидности теплопередачи. Еще в 1874 г основоположник многих направлений развития гидро-аэромеханики и теплопередачи Осборн Рейнольдс писал о предполагающем значении скорости воздуха в теплопередаче в паровозных котлах. Он указывал на основную роль движения и перемешивания частиц.

Наиболее яркие виды теплопередачи переносом — кипение и конденсация. В обоих случаях выделение или поглощение энергии происходит в непосредственной близости к теплообменной поверхности. Переданная через поверхность энергия в случае, например, кипения сразу же расходуется на превращение жидкости в пар. В дальнейшем переданная энергия транспортируется путем чисто механического переноса. Именно в связи с тем, что потребление и превращение энергии происходит близко от поверхности обмена, интенсивность процесса теплопереноса необычайно высока.

Особое место занимает так называемая свободная конвекция, в которой движение сред обусловлено самой теплоотдачей.

Явления конвективного обмена крайне сложны. Лишь в простейшем случае ламинарной свободной конвекции можно по-

лучить сколько-нибудь достоверные результаты. В большинстве остальных случаев не удается даже сформулировать предмет анализа. Физические представления об отдельных этапах раз вития процесса крайне скучны.

Трудности в исследовании процессов конвективного обмена связаны с отсутствием элементарного оперативного инструмента, который позволил бы проникнуть в суть изучаемых явлений. Так, например, до последнего времени широко распространена концепция, предложенная Прандтлем, согласно которой следует различать задачи внутреннюю и внешнюю.

Типичный пример внешней задачи — обтекание свободно летящих тел, например снаряда, самолета, ракеты и т. п. Начиная от передней критической точки, вследствие проявления сил вязкости, на поверхности тела вдоль по течению развивается пограничный слой. При не слишком больших разрежениях среда налипает на поверхность; сила взаимодействия поверхности со средой определяется давлением и касательным напряжением. То и другое может быть только положительным. В соответствии с законом сохранения импульса, импульс касательных напряжений должен компенсироваться количеством движения среды, входящей в пограничный слой, который, таким образом, должен непрерывно питаться количеством движения, а значит, и материи, за счет набегающего потока.

Вначале силы вязкости в тонком пограничном слое превалируют над силами инерции, движение в слое носит спокойный характер, соседние слои не перемешиваются друг с другом. Такой режим называется ламинарным.

При нарастании толщины пограничного слоя движение приобретает неустойчивый характер; малейшее возмущение начинает получать питание энергией извне за счет энергии движения среды. Появляются пульсационные составляющие скорости движения, причем пульсации возникают во всех направлениях.

Режим такого течения, так же как и пограничный слой, называется турбулентным. При этом, однако, в непосредственной близости к обтекаемой стенке сохраняются условия для устойчивого движения. Такая своеобразная ламинарная подстилка называется ламинарным подслоем. Ламинарный подслой относительно тонок.

Появление попеченных по отношению к основному движению пульсаций способствует значительному увеличению интенсивности обмена энергией (кинетической и тепловой) между омываемой стенкой и омывающей средой.

Примером внутренней задачи может служить течение в трубе достаточной длины. Если поток совершенно не подготовлен то входные кромки трубы будут находиться в условиях задачи внешней. По мере продвижения потока в трубе слои на против-

оположных стенах, все более утолщаясь, наконец сомкнутся. Дальнейшее преодоление потоком касательных напряжений на стенах происходит за счет продольного градиента давления, без которого в условиях внутренней задачи движение невозможно.

В начальном участке, где слои еще не сомкнулись, для движения также необходим градиент давления, так как происходит перестроение потока с ускорением центральных частей. Для гидродинамической стабилизации потока в условиях внутренней задачи длина трубы должна быть примерно в 50 раз больше ее диаметра. Согласно имеющимся сведениям, после гидродинамической подготовки тепловая стабилизация наступает сравнительно быстро (на участке, равном 10—15 диаметрам). Если теплообмен происходит по всей длине трубы, включая участок гидродинамической стабилизации, то тепловая стабилизация наступает одновременно с гидродинамической.

При малых числах Рейнольдса пограничные слои на противоположных стенах остаются ламинарными вплоть до их смыкания. При этом дальнейшее движение среды по трубе будет также ламинарным. Случай такие, хотя и редки в технически важных условиях, но возможны. При ламинарном течении может существенно различаться размеры теплового и гидродинамического пограничного слоев. Определяющим при этом является отношение коэффициента кинематической вязкости к коэффициенту температуропроводности, называемое критерием Прандтля

$$Pr = \frac{\nu}{\alpha} \quad (110)$$

Если вязкость преобладает над температуропроводностью ($Pr > 1$), гидродинамический ламинарный слой растет скорее теплового, что происходит при течении обычных технических жидкостей (масла, вода, горючие).

Для одноатомных газов число Прандтля близко к единице, а для двухатомных — равно ей. Тепловой и динамический слои либо полностью эквивалентны, либо отличаются друг от друга незначительно.

Для жидких металлических теплоносителей критерий Прандтля намного ниже единицы — тепловой слой преобладает над динамическим.

Все изложенное относится к ламинарным течениям без попеченных пульсаций. При развитом турбулентном течении каждая конкавность среды, находящаяся в пульсационном движении, наложенном на основное, в общем равномерное, движение, в такой же мере переносит содержащийся в ней импульс, как и содержащееся тепло. Таким образом, турбулентный аналог критерия Прандтля в точности равен единице.

После смыкания турбулентных пограничных слоев в трубе в центральной части движется турбулентное ядро, в пристеночной области располагается тонкий ламинарный подслой.

Физическая картина явления, достаточно сложная и в рассмотренных кратко простейших случаях, существенно усложняется в случае несоответствия закона передачи от стенки к потоку импульса и тепла. Строго говоря, все изложенное выше относится к случаю, когда закон передачи тепла полностью совпадает с характером передачи импульса. В технических задачах импульс передается от тела, имеющего по отношению к потоку определенный потенциал импульса. Для передачи тепла это соответствует определенному температурному потенциалу, т. е. постоянству температуры вдоль всей поверхности тела во внешней задаче или вдоль трубы — во внутренней. Однако обычно температура тела или трубы не постоянна по ходу потока, что в большинстве случаев обусловлено теплообменом с обтекающей средой.

Для соответствия между характеристиками развития теплового и динамического взаимодействия потока со стенками при не изотермической поверхности необходимо, чтобы потенциал импульса стенки относительно потока изменился так же, как температура. При этом относительные скорости различных частей тела или трубы должны быть разными, а это приводит к потере физического смысла задачи.

Правдиль и его последователи создали стройную теорию, подтверждаемую многочисленными экспериментами. Тем не менее, в последнее время появились сообщения о чрезвычайно тонких измерениях, согласно которым ламинарного подслоя не существует.

Это значит, что либо наши рассуждения содержат какой-то дефект, либо достоверность полученных экспериментальных результатов сомнительна. Даже если эти новые результаты справедливы, мы пока что должны придерживаться старой системы, так как новой, как таковой, еще не существует.

Вすべて изложенного становится ясной бесперспективность большинства исследований местного теплообмена при помощи маломерных калориметров. Как правило, исследователи совершенно не беспокоятся о том, чтобы соседние с калориметром участки на исследуемой модели обогревались (или охлаждались) так же, как исследуемый. В большинстве случаев теплообмен на соседних участках совершенно не организуется [53]. При этом тепловая, а значит, в какой-то мере и гидродинамическая «история потока» при подходе к измерительному калориметру оказывается существенно искаженной. Обмен теплом вблизи калориметра происходит значительно интенсивнее, что в дальнейшем, как правило, компенсируется поправочными коэффициентами.

Главное требование ко всем тепловым измерениям — это минимальное искажение физической картины изучаемого явления. При исследовании локальных тепловых потоков достигнуть этого трудно, но возможно.

ГЛАВА II

ИССЛЕДОВАНИЕ ЛОКАЛЬНОГО ТЕПЛООБМЕНА

4. КОНВЕКЦИЯ И ТЕПЛОПРОВОДНОСТЬ

Исследовать локальный теплообмен — это значит определить величину и направление теплового потока на участке теплообменной поверхности. Размеры участка при этом гораздо меньше характерного размера исследуемого тела.

В решении задач по распространению тепла внутри твердого тела тепло проводностью (истинной или эффективной), коначной целью является обычно нахождение поля температур, а в задачах по теплообмену между твердым телом и жидкостью (или газом) — определение коэффициента теплоотдачи. В обоих случаях решения должны быть подчинены главной цели всех теплотехнических расчетов и задач — получению сведений о количестве передаваемой тепловой энергии, т. е. о тепловом потоке.

Однако вышеупомянутые решения составляют лишь часть этой задачи. Для получения поля теплового потока по температурному полю необходимы сведения об изотропности материала, коэффициенте теплопроводности и его зависимости от температуры, пористости, влажности и т. п. Коэффициент теплоотдачи, являющийся мерой пропорциональности между тепловым потоком и разностью температур твердое тело — жидкость, зависит от большого числа факторов (условий движения жидкости, конфигурации тела и т. п.), в том числе и от самой разности температур. Наличие температурного фактора, проявляющегося при больших температурах и скоростях движущейся среды [34, 115], ставит под сомнение удобство пользования коэффициентом теплоотдачи a . Имеет смысл, по-видимому, перейти к определению непосредственно тепловых потоков q как в экспериментальных, так и в теоретических работах. К аналогичному выводу пришли Е. В. Кудрявцев, К. Н. Чакалев и Н. В. Шумаков [52] при исследовании особенностей нестационарных тепловых процессов.

Определение поля тепловых потоков в твердом теле аналитическими методами возможно лишь в отдельных случаях, обычно для тел простой формы (пластина, цилиндр, шар) при известных граничных условиях [60]. Определение самих гранич-

ных условий, т. е. значений тепловых потоков и температуры в местах соприкосновения исследуемого тела с окружающей средой, аналитически является задачей, которую можно решить также только для одной из форм движения жидкости относительно тела — плоского обтекания при ламинарном пограничном слое [97]. В некоторых других случаях местные значения тепловых потоков определяют полумпирическими методами. Так, Г. Н. Кружилин и В. А. Шваб [51], решив уравнение теплопроводности для полого цилиндра, по температуре его внешней поверхности судили о тепловых потоках и коэффициенте теплоотдачи. Довольно широко распространены методы определения тепловых потоков по изменению температуры во времени для нестационарного режима.

Большинство же задач требует экспериментального определения тепловых потоков

5. ОПРЕДЕЛЕНИЕ ТЕПЛОВЫХ ПОТОКОВ ПО КОЛИЧЕСТВУ ПАРА

Методы исследования теплообмена, основанные на определении количества энергии по количеству испарившейся или сконденсированной жидкости, распространены довольно широко. Преимущества этого метода обусловлены физическим свойством жидкостей сохранять изобаричность при изотермичности и наоборот. Благодаря этому, обеспечивая сравнительно простыми методами постоянство давления, удается получить постоянство температуры. Последнее в свою очередь позволяет легко осуществлять разделительные перегородки с нулевым тепловым потоком, т. е. изоляторы, близкие к идеальным.

При исследовании теплоотдача от поверхности необходима организация нормированного подвода энергии, что обеспечивается при конденсации пара. Приведем распространенный способ измерения среднего теплового потока по длине трубы. Обогреваемый участок трубы заключается в два концентрических металлических кожуха, один внутри другого. Внешний и внутренний кожухи питаются слегка перегретым паром с одинаковым давлением. В связи с равенством давлений стени внутреннего кожуха не пропускают тепла. Во внутреннем кожухе единственным потребителем энергии является исследуемая труба, конденсат с которой отводится индивидуально и подвергается измерению. По количеству сконденсированного пара при известных параметрах можно достаточно точно судить о количестве переданной энергии.

Небольшой (несколько градусов) перегрев делается для того, чтобы исключить возможность попадания в кожух влажного пара, что может привести к ошибкам, более существенным, чем те, которые возникают за счет перегрева. Здесь же

необходимо обратить внимание на исключение возможности нагрева переохлажденного конденсата паром во внешнем кожухе.

Естественно, что в такой установке могут быть потери через различные конструктивные элементы. Такие потери учитываются «нулевыми» тарировками установки.

Нуннер [127] использовал описанную схему при исследовании теплопередачи к воздуху внутри длинной трубы. Он создал тепловой баланс, измеряя повышение теплосодержания воздуха. Указаны отклонения от баланса: при больших скоростях воздуха $\pm 2\%$, при малых $\pm 4\%$. Недостаток исследований Нуннера заключается в увеличении ошибки измерений с уменьшением теплового потока и в трудностях при определении параметров пара. Н. Г. Стишин [83] создал установку по исследованию теплообмена при кипении, используя паровой обогрев плоских поверхностей.

Необходимость локализировать исследование теплообмена привела к тому, что различные авторы начали применять секционирование парового обогрева. Дрю и Райен [51], исследуя распределение a на поверхности цилиндра при поперечном обдуве воздухом, разделили полый цилиндр на отсеки продольными перегородками и измеряли конденсат из каждого отсека. Естественно, что они смогли получить лишь усредненные на больших участках поверхности значения a .

Несмотря на недостатки подобного секционирования и недостатки проведения экспериментов, такая методика применяется до настоящего времени [3,32]. Гул [114], при измерении локальных коэффициентов сопротивления и теплоотдачи в диффузорах при турбулентном дозвуковом течении воздуха, задавал в стенку диффузора медную плиту, обогреваемую паром. Размер секции составлял $50 \times 50 \times 150$ мм (в поперечном сечении относительно направления движения воздуха). Чтобы избежать утечек тепла, Гул применил охранный паровой обогрев и бакелитовую изоляцию. Сравнивая полученные данные с расчетными данными гидродинамической аналогии Кармана—Рейнольдса, он указывает на плохое их совпадение.

Несовпадение полученных Гулом результатов с гидродинамической теорией теплообмена объясняется неправильной организацией измерений. Нагреваемая паром медная плоскость омывалась потоком, подготовленным только гидродинамически соответствующим моделированием геометрии и скоростного режима потока в диффузоре. Тепловой же подготовкой потока не было. Поэтому холодный поток, попадая на нагретый участок, отводил существенно больше тепла, чем это могло иметь место при подготовленном потоке.

В опытных установках, использующих изменение агрегатного состояния, характерно то, что подвод рабочего вещества про-

изводится объединено, а продукт исследуемого процесса отводится индивидуально. При исследованиях с нагревом секционировано отводится конденсат, при охлаждении за счет испарения — получающийся пар.

В качестве примера установки с отводом тепловой энергии посредством кипящей жидкости рассмотрим экспериментальный стенд, описанный в работе [33]

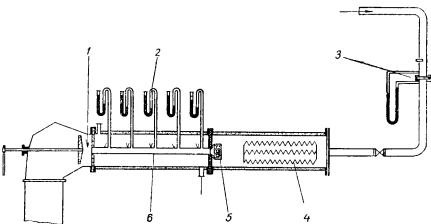


Рис. 2 Схема установки по исследованию теплообмена при высоких скоростях

1 — термопары 2 — манометры 3 — диафрагма; 4 — нагреватели 5 — успокоитель 6 — измерительный участок

Исследовался теплообмен воздуха с трубой при малых температурных напорах. Принятая система исследования позволила достигнуть высокой точности измерений. Общая схема установки показана на рис. 2.

Воздух от компрессора после предварительной очистки проходит через мерную дроссельную шайбу 3, электрический нагреватель 4 и поступает к экспериментальному участку Рабочий участок трубы 6 расположен в камере, заливаемой водой. При работе установки вода кипит за счет нагрева от горячего воздуха, продуваемого через трубу. Питание водой происходит непрерывно. Вода кипит при атмосферном давлении. Расход питательной воды, а следовательно, и пара определяется посредством мерного бака.

Тепловой баланс сводится по расходу электроэнергии, разности теплосодержаний воздуха и количеству энергии, потребляемой при кипении воды. Расхождение в тепловом балансе не превышает 5%, что свидетельствует о высокой культуре в организации эксперимента

Как и при конденсации, в описываемой установке можно было бы предусмотреть разделительные перегородки, которыми экспериментальный участок разделялся бы на отдельные секции. При этом возможно индивидуальное исследование теплопередачи на каждой секции.

Довольно оригинально этот принцип используется в приборе для определения коэффициента теплопроводности по методу пластины в испытательной лаборатории Национального института Франции [95]. Холодильник в приборе служит сосуд с кипящей жидкостью (вода, органические теплоносители). Центральная часть сосуда, сообщающаяся с колпачковой частью, имеет отдельный отвод пара, который направляется в выносной холодильник, а объем образующегося конденсата измеряется мензуркой. Пар из колпачковой (охранной) части сосуда конденсируется на охлаждаемом змеевике в верхней части сосуда, а конденсат стекает обратно. По количеству пара, образовавшегося на центральной части, и по ее площади судят об удельном тепловом потоке.

Принцип сообщающихся сосудов с кипящей жидкостью и разделенным забором пара использован В. К. Ермолиным [34] для определения местных значений коэффициента теплоотдачи при исследовании интенсификации теплообмена в трубе за счет закручивающих воздушный поток вставок. Охлаждение трубы производилось кипящей водой, поступающей в кожух трубы из отдельного бачка. Секционирование участков выполнено с помощью поперечных перегородок. Образующийся пар отводился из верхней части отсеков с помощью паросборных сосудиков, исключающих выброс влаги, и после охлаждения в холодильниках конденсат поступал в мензурки для измерения.

Необходимо отметить весьма удобное обстоятельство, связанное с конденсацией и кипением. Оно заключается в возможности идентичного нагрева по всей поверхности теплообмена. При этом области, соседние с исследуемой, могут находиться в условиях, близких к натуральным. Достаточно хорошошему моделированию подвергается теплообмен в локально исследуемом участке и на соседних сопряженных участках, что способствует соблюдению «тепловой истории» потока, на что было указано в введении.

6. ВОДЯНЫЕ КАЛОРИМЕТРЫ

Водяное калориметрирование распространено так же широко, как и паровое. По точности измерения и возможности локализации этот метод сопоставим с предыдущим, однако наряду с некоторыми оперативными преимуществами в постановке эксперимента наблюдаются затруднения в борьбе с утечками тепла.

Не останавливаясь на многочисленных конструкциях водяных калориметров, приведем лишь две Лельчука, описанную в работе по исследованию теплообмена в трубе при течении горячего воздуха с дозвуковыми скоростями и охлаждении трубы [57], и Перри, описанную в работе по исследованию теплопередачи струи горячего газа, направленной под различными углами в плоской стенке [129].

В. Л. Лельчук [57] исследовал локальный теплообмен, дифференцируя температуру охлаждающей воды по длине трубы. Для равномерного распределения охлаждающей воды по окружности колецевон щели автор предпринял смелую попытку турбулизировать поток воды за счет вдувания в воду скжатого воздуха. По-видимому, эта попытка ему удалась, так как, по его данным, тепловой баланс, сведенный по измерениям локальной теплопередачи, общего количества тепла по воде, а также по воздуху, имел расхождение в пределах $\pm 5\%$.

Перри [129] применил один из самых малых известных нам водяных калориметров. Установка представляла собой металлическую плиту, обдуваемую из сопла горячим воздухом и охлаждаемую проточной водой. Собственно калориметр — металлический диск диаметром 16,5 мм задевался заподлицо с поверхностью плиты и изолировался от плиты слоем слюды в 0,1 мм (рис 3). Изменение температуры охлаждающей калориметр воды измерялось хромель-константановой дифференциональной термопарой, сигнал которой регистрировался с помощью усилителя постоянного тока и милливольтметра. В стандартной практике мель-константановой термопаре медь была заменена из-за опасности утечки тепла по медному термоэлектроду. Корпус калориметра, содержащий каналы для подвода воды к диску и устройства для крепления термопар, был изготовлен из плохо проводящего тепло акрилатного пластика — перспекса.

Достоинство такой схемы исследования локального теплообмена в том, что поверхность калориметра и остальной плиты имеет примерно равную температуру и существенных возмущений в тепловую и гидродинамическую картину обмена калориметр не вносит.

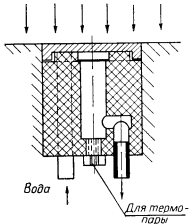


Рис. 3 Схема водяного калориметра

проточной водой. Собственно калориметр — металлический диск диаметром 16,5 мм задевался заподлицо с поверхностью плиты и изолировался от плиты слоем слюды в 0,1 мм (рис 3). Изменение температуры охлаждающей калориметр воды измерялось хромель-константановой дифференциональной термопарой, сигнал которой регистрировался с помощью усилителя постоянного тока и милливольтметра. В стандартной практике мель-константановой термопаре медь была заменена из-за опасности утечки тепла по медному термоэлектроду. Корпус калориметра, содержащий каналы для подвода воды к диску и устройства для крепления термопар, был изготовлен из плохо проводящего тепло акрилатного пластика — перспекса.

Достоинство такой схемы исследования локального теплообмена в том, что поверхность калориметра и остальной плиты имеет примерно равную температуру и существенных возмущений в тепловую и гидродинамическую картину обмена калориметр не вносит.

Электронагревательные устройства в экспериментальной практике применяются в самых различных отраслях техники. Преимущества их очевидны: простота регулирования, компактность, высокая точность измерений и, что важно для решения различных теплотехнических задач, возможность задать постоянный во времени тепловой поток. Условия создания контролируемого теплового потока для исследуемого участка поверхности при этом во многом сходны с условиями для парового обогрева — необходимость в охранных нагревателях или тщательной изоляции. Кроме того, возникает осложнение в виде контроля отсутствия перетекания тепла одного нагревателя к другому. Установка получается обычно довольно громоздкой. Упростить ее удается лишь в отдельных случаях, например, при определении теплопроводности по методу одного нагревателя и двух пластин [113]. Плоский нагреватель помещали между двумя идентичными пластинами испытуемого материала и измеряли мощность, расходуемую на центральном участке нагревателя, и перепады температур на обеих пластинах. Однако, по свидетельству И. К. Кашилова [42] и С. Д. Рахмановского, подобрать совершенно одинаковые образцы испытуемого материала невозможно, а при небольших различиях в свойствах образцов и их препарировке метод может привести к заметным ошибкам.

Электрическое калориметрирование для целей исследования локального конвективного теплообмена было предложено М. В. Кирпичевым [46] при изучении поперечного обтекания цилиндра воздухом. Кирпичев располагал платиновые полоски по образующей цилиндра. Полоска служила одновременно калориметром и термометром сопротивления. Аналогичные опыты провели А. С. Синельников и А. С. Чашкин [80] с никромовон лентой на фарфоровом цилиндре.

В принципе этот же метод применил и Л. А. Кузнецон [53] при исследовании теплоотдачи круглой струи воздуха, вытекающей в щель. Он измерял локальные тепловые потоки на стенке, противоположной той, в которой размещалось сопло под прямым углом к стенке, на различном расстоянии от оси сопла. Для создания и измерения теплового потока служил калориметр — медный патрон диаметром 10 мм с константановым стержнем внутри (в паре с медью патрона получалась термопара для измерения температуры поверхности калориметра), вокруг которого навивалась спираль электронагревателя (рис. 4). Калориметр задевался заподлицо со стенкой из теплоизоляционного материала. Потери тепла к стенке составляли существенную долю энергии, выделяющейся в калориметре.

ре. Поэтому автору пришлось перед каждой серией опытов с различным диаметром сопел и шириной щели проводить определение потерь тепла калориметром, закрывая его торцовую (рабочую) поверхность теплоизоляционным колпачком, и даже вывести для этих потерь эмпирическую формулу. Несмотря на все трудности и неточности, ему удалось получить интересную картину теплоотдачи пластины, обдуваемой поперечным потоком воздуха.

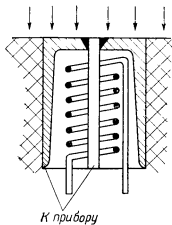


Рис. 4 Схема электрокалориметра

и эллиптического цилиндров, а также работы Сергиевской [79] и Мальцева [60] по изучению теплоотдачи в элементах электрических машин).

Попыткой избавиться от недостатков электрического калориметрирования является создание переносного тепломера ОРГРЭС [37] для измерения тепловых потоков от поверхности термоизоляции в условиях естественной конвекции. Вся энергия электронагревателя направляется в охлаждающем воздуху за счет создания под нагревателем изолирующей прослойки с выравниванием температур нагревательного элемента и испытуемой поверхности (рис. 5). Датчик помещен в теплопроводящий корпус такой конфигурации, что площадь испытуемой поверхности, закрываемой прибором, равна площади боковин корпуса. Если считать теплообмен между нагревателем и корпусом отсутствует (в конструкции между ними оставлен воздушный зазор), а степень черноты поверхностей прибора и испытуемой одинакова, то получается изотермическая поверхность и искашение теплообмена может происходить лишь за счет возмущения потока корпусом тепломера, прикладываемого к испы-

туемой поверхности. Высота тепломера 9 мм, диаметр 56 мм, так что, по-видимому, его можно применять лишь при малых скоростях набегающего потока и на сравнительно крупных объемах. Точность измерений $\pm 5\%$ при тепловых потоках 0—580 $\text{вт}/\text{м}^2$ и $\pm 10\%$ при 0—116 $\text{вт}/\text{м}^2$, инерционность тепломера 3—5 мин.

Г. Г. Счастливый [84] к устройству аналогичной конструкции добавил еще один нагреватель, который помещается под изо-

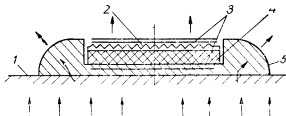


Рис. 5 Схема тепломера ОРГРЭС

1 — испытуемая поверхность; 2 — нагреватель; 3 — термометры; 4 — тепловая изоляция; 5 — корпус

пруящем прослонкой (рис. 6) и таким образом измеряет тепловые потоки, создаваемый верхним нагревателем. Он использует такие приборы для измерения локальных коэффициентов теплоотдачи от самого прибора к принудительному потоку воздуха в каналах электрических машин, не заботясь о сохранении изотермичности теплоотдающей поверхности, а в случае обдувания ходовым воздухом — холодной поверхности, даже специально

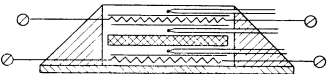


Рис. 6 Схема тепломера Института электротехники АН УССР.

нарушая эту изотермичность. Тем не менее такой прием можно, по-видимому, применить при выяснении сравнительной эффективности теплоотдающих поверхностей различной конфигурации без проведения тепловых опытов.

В Мальцев [60] использовал, например, подобные датчики только в виде полого цилиндра, при холдовых продувках модели ротора электрической машины.

В опытах же с определением тепловых потоков в натурных условиях теплообмена необходимо стремиться к сохранению той же температуры на участке поверхности, занятой тем или иным тепломером, как и на участке поверхности без тепломера

Так, акад. А. Ф. Иоффе [39] предлагал обеспечивать с помощью полупроводниковых термоэлектрогенераторов постоянство температурных условий на участках поверхности, занятой термометром, и вие зоны его влияния при измерении теплового потока, а при измерении радиационного потока — равенство температур приемника радиации и окружающего воздуха

8. ИССЛЕДОВАНИЕ ЛОКАЛЬНОГО ТЕПЛООБМЕНА ПРИ ПЛАВЛЕНИИ

Тепловые потоки при конвективном обмене можно определить, с известными ограничениями, по количеству вещества твердой поверхности, расходуемого на таяние или сублимацию

Определение локальных коэффициентов теплоотдачи при обдувании воздухом цилиндров из льда проведено в Клейногорске в 1933 г [51]. Клейн измерял количество льда, ставившего на различных участках поверхности цилиндра, и по нему и теплоте плавления судил о тепловых потоках от воздуха. Естественно, что при этом изменялась геометрическая форма цилиндра, часть жидкости испарялась и происходили другие осложняющие картины изменения, что че могло не сказываться на точности измерений.

А Г Ткачев [85] определял коэффициенты теплоотдачи при плавлении цилиндров и шаров в большом объеме жидкости (воды, бензола и этиленгликоля). Однако в измерениях и расчетах он не учитывал неравномерности теплообмена по периметру твердого тела, хотя, если судить по описанию установки (непрерывное проектирование профиля тела с двух сторон на экран), это сделать было нетрудно. Коэффициент теплоотдачи и безразмерные критерии определялись из условия, что изменение агрегатного состояния не оказывает влияния на теплообмен. Соппадение данных Ткачева с опытными данными по «чистому» теплообмену не везде удовлетворительно (случай с горизонтальными цилиндрами). По-видимому, при решении подобных задач необходимо рассматривать совместно явления тепло- и массопереноса

9. МЕТОДЫ АНАЛОГИИ

Аналогия между переносом количества тепла, массы и т. п. уже более полувека используется для косвенного исследования тех или иных явлений. Несмотря на имеющиеся весьма серьезные ограничения для таких приемов, соображения удобства, простоты, а зачастую и точности приводят к тому, что по данным о коэффициенте поверхностного трения судят о переносе массы или тепла, по коэффициенту диффузии — о коэффициенте теплоотдачи и наоборот, а недавно появилась работа

[136], в которой перенос количества движения (трение в пограничном слое) при сверхзвуковом обтекании пластины изучался на основе измерений переноса массы (сублимация нафталина).

Остановимся на работе [13], в которой изучение теплоотдачи трубного пучка производилось методом аналогии между диффузией и теплообменом. В аэродинамической трубе разомкнутого типа размещался пучок труб диаметром 28 мм из пористого фарфора, подпрыгивающего изнутри водой. В одной из труб бок — измерительной — двумя продольными прорезями была выделена по питанию водой полоска шириной 8 мм. Трубка поворачивалась на каждые $\frac{\pi}{12}$ rad, и по количеству испарившейся воды, температуре потока до и после трубы и соответствующей температуре мокрого термометра определялся местный коэффициент теплоотдачи a . Необходимо отметить, что полной аналогии в этой работе достигнуто не было, процесс определялся скорее теплообменом, чем диффузией, и методически работу можно сравнивать с упомянутым выше исследованием Клейна.

Найти поля температур и тепловых потоков при известных граничных условиях можно методами электрической и гидравлической аналогий. Эти методы основаны на том, что явления тепло- и электропроводности, а также фильтрации, магнетизма и т. п. описываются одним и тем же уравнением Лапласа

Электротепловая аналогия осуществляется построением электрической модели с помощью электропроводной бумаги, электролитической ванны или сетки сопротивлений и емкостей, с соблюдением всех условий моделирования: геометрического подобия, подобия потенциалов (соответственно пропорциональности температуры и электрического потенциала), полей тепло- и электропроводности и граничных условий.

Методика решения стационарных двумерных задач теплопроводности разработана О. А. Геращенко [18], применившим для этой цели цепи электронтегратор ЭГДА П. Ф. Фильчакова и В. И. Панчинина. Благодаря своей простоте, эта методика получила широкое распространение. Исследование сводится к отысканию эквипотенциальных линий (изотерм) или линий равного тока (поле теплового потока) на модели из электропроводной бумаги. Детальное описание установки дано в гл. V.

В случае моделирования в электролитической ванне проводящей средой являются слабые растворы электролитов. При этом представляются некоторые возможности трехмерного моделирования (за счет изменения толщины слоя электролита).

Метод сеток [77] отличается тем, что моделирование становится дискретным исследуемый контур разбивают на отдельные элементы, термическое сопротивление которых считается приложенным между центрами линий разбивки и моделируется соот-

всевозможными электросопротивлениями. Теплоемкости частен тела при этом моделируются емкостями, приложенными к узлам сетки.

Метод гидравлического моделирования на гидроинтеграторе В. С. Лукьянова предполагает такую же разбивку на элементы. Тепловое сопротивление при этом моделируется гидравлическим сопротивлением трубок с регулируемой длиной, теплоемкость — емкостью подключенных к трубкам сосудов. Границочные условия задаются напором в сосудах, подключенным к границам трубкам. Температурное поле находится измерением напоров в каждой трубке.

Погрешность в определении температурного поля методами электрической и гидравлической аналогии при точном задании граничных условий не выходит обычно за пределы $\pm 5\%$. При определении поля тепловых потоков величина ошибки может существенно возрасти, как это происходит в тех случаях, когда искомая величина определяется дифференцированием опытных данных.

В некоторых случаях эти методы применяют и при неуставновившихся тепловых режимах, однако сложность аппаратурь при этом возрастает, а точность измерений — соответственно падает.

10. ОПТИЧЕСКИЙ МЕТОД ИССЛЕДОВАНИЯ ТЕПЛООБМЕНА

Известно, что скорость распространения света в физически однородной среде определяется оптической плотностью среды, зависящей от температуры и давления. При наличии градиента плотности (массовой плотности, определяющей оптическую плотность среды) всякий световой луч, непараллельный вектору градиента плотности, отклоняется от прямой. Угол отклонения луча прямо пропорционален линейному интегралу от векторного произведения градиента оптической плотности на элементарный путь в пределах исследуемого участка прохождения луча.

Эрнст Шмидт использовал это явление для количественного изучения конвективного теплообмена. Описание метода Шмидта приведем по работе В. С. Жуковского, А. В. Киреева и Г. П. Шамшева [36], исследовавших распределение коэффициента теплоотдачи по окружности цилиндра для случая вынужденного поперечного потока. Исследуемый цилиндр с торца освещался узким кольцевым пучком параллельных лучей света отклонение лучей регистрировалось на плёнку с противоположного торца. Угол выхода луча, входящего с непосредственным скольжением по поверхности цилиндра, пропорционален градиенту температуры, а следовательно, и тепловому потоку через поверхность на данной образующей при ламинарном течении

Обработка экспериментальных данных показала очень хорошее согласование теплового баланса на установке при малых значениях тепловых потоков.

При больших потоках замечались существенные отклонения в балансе, что объясняется тем, что большие потоками соответствуют большие отклонения луча уже в самом начале цилиндра: луч переходит в область более слабых градиентов. Может случиться, что, еще не достигнув удаленного торца цилиндра, луч выйдет за пределы пограничного слоя; тогда нарушается предположение о постоянстве температуры и градиента вдоль луча, на котором базировались выводы зависимости, позволяющих определить тепловые потоки.

Таким образом, изложенный оптический метод можно применять только при достаточно малых потоках через поверхность и небольших длинах исследуемых поверхностей вдоль луча. Обычно подобные оптические приемы используются для получения качественных физических картин изучаемых явлений, связанных с гидродинамикой и теплообменом.

Описанная работа была выполнена при участии Д. Д. Максутова — автора широко известных менисковых телескопов и объективов.

11. МЕТОД ДОПОЛНИТЕЛЬНОЙ СТЕНКИ

Для определения теплового потока можно измерять разность температур на гранях дополнительной стенки с известной теплопроводностью, нанесенной на исследуемую деталь по изотермической поверхности. Тогда тепловой поток определится по простого уравнения:

$$q = \frac{\lambda}{\delta} \Delta t, \quad (2.1)$$

где λ и δ — соответственно теплопроводность и толщина дополнительной стенки; Δt — падение температуры на дополнительной стенке при прохождении теплового потока q .

Для практического применения этого метода тепловое сопротивление стенки должно быть существенно меньше сопротивления, оказываемого распространению тепла до нанесения дополнительной стенки; необходимо знать с большой точностью λ и δ дополнительной стены или тарировать каждое устройство по известному тепловому потоку, а также оценивать возможные искажения линий тока и сопротивление контакта. Метод применим для установившегося теплового режима. Для измерения тепловых потоков при нестационарном режиме постоянная времени дополнительной стенки должна быть на несколько порядков меньше, чем постоянная времени изучаемого процесса.

Одним из наиболее распространенных приборов, построенных на принципе дополнительной стенки, является тепломер Шмидта, подробно описанный в работах [63, 68]. Термопару представляет собой резиновую ленту длиной 600—650, шириной 60—70 и толщиной 3—5 мм. На обеих поверхностях ленты заформовано большое количество (свыше 200) специальных термопар, включенных последовательно и расположенных попеременно то

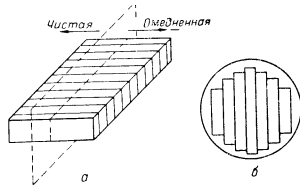


Рис. 7 Схема изготовления термонар тепломера с дополнительной стенкой (а) и расположение стоек в круглом тепломере (б)

на одной, то на другой стороне ленты Э д с такой батареи термопар пропорциональна разности температур на поверхности ленты. Для избежания искажений линии теплового потока рядом с измерительной лентой укладываются охранные ленты без термопар.

Существенным недостатком тепломера Шимита является его громоздкость и сравнительно большое термическое сопротивление, в связи с чем он применяется лишь для измерения тепловых потерь через изоляцию на трубопроводах.

Большая работа по уменьшению габаритов и инерционности тепломеров Шмидта, а также по применению этих приборов для различных задач строительной теплофикации проделана С. Д. Рахмановским. Одним из первых он начал выполнять тепломеры в виде тиков или квадратных пластин, локализируя эти измеряющие тепловой поток. В настоящее время в «Тепло-проекте» (Москва) под его руководством изготавливаются и та-рируются тепломеры-диски диаметром 60—90 и толщиной 3—8 мм для измерения тепловых потоков до 10^3 вт/м^2 в различных строительных конструкциях. Применение метода изготавливания компактной батареи термопар — намотка на дополнительную стенку большого числа витков константановой проволоки или титана с последующим обмечанием половиной каждого витка и электроизоляционным способом (рис. 7) позволяет при сравни-

тельно небольших габаритах тепломера развивать достаточный сигнал, чтобы тарировать его со стрелочным милливольтметром. Дополнительной стенкой являются паронитовые стержни квадратного сечения, набираемые после обмотки их и медные константаны в диски или квадраты, с паронитовыми же тонкими проплоскими между стержнями. Кожух тепломера выполняется также из паронита, поэтому пределы рабочей температуры тепломера составляют 140° С. Тарировка тепломеров производится на стенде, состоящем из электрообогреваемой пластины с центральным и охранным нагревателями. Удельный тепловыделение потоков определяется по расходу тепла центральным нагревателем, когда утечки тепла в стороны от него скомпенсированы охранными нагревателями. Вся пластина может поворачиваться вокруг горизонтальной оси на π радиан и закрепляться в промежуточных положениях для возможности приближения условий тарировки прибора к производственным условиям измерения тепловых потоков. Существенным недостатком такого метода тарировки является его длительность — до 8 ч на каждую точку тарировки.

Метод ускоренной тарировки тепломеров с использованием регулярного теплового режима изложен в работе [61].

Точность измерения тепловых потоков тепломерами, очевидно, лежит в пределах 3—8%. Подобные приборы были разработаны также Чередниченко и Альперовичем [65].

Тепломер Альперовича (Ленинградский институт холодильной и молочной промышленности) представляет собой резиновый чиск диаметром 300 и толщиной 2 мм, в центральную часть которого диаметром около 200 мм вмонтировано от 600 до 900 слоев батареи дифференциальных термопар. С обеих сторон на чиск вулканизируется слой резины толщиной 2 мм. С помощью такого прибора производились измерения весьма малых потоков тепла, например, через перегородку между двумя холодильными камерами.

К недостаткам описываемого тепломера относятся его большие габариты и зависимость чувствительности по тепловому потоку от температуры диска, вызванная изменением с температурой свойств дополнительной стенки и омического сопротивления батареи термоэлементов, а также соответствующим последнему изменением показаний вторичного прибора — милливольтметра.

В 1953 г. американская фирма Бекман и Вантли [131] опубликовала краткие сведения о приборе для измерения тепловых потоков, аналогичном описанным выше. Габариты датчика 115×115 , толщина дополнительной стенки 1,5 мм. Материал термопар — серебро-константан, чувствительность прибора $19 \text{ ет}/\text{м}^2 \cdot \text{мв}$.

Английская фирма Джонс и Лэбл в 1956 г. выпускала дисковые термопары двух серий — диаметром 50 и 110 мм [108]. Сланцы термопар задевались в матрицу из полизтилена, что позволяло применять такие диски только при температурах до 70°С.

В заключение описания группы малых термометров Шмидт укажем на прибор для измерения расхода тепла на обогрев помещения калориферами, демонстрировавшийся фирмой «Регула» на Чехословакии выставке приборов в Киеве в 1962 г. [102].



Рис. 8 Электротрический счетчик
1 — анод, 2 — катод

На рисунке 8 изображена конструкция электротрического счетчика. Он представляет собой цилиндрический корпус с двумя выводами: анодом (1) и катодом (2).

При постоянном сопротивлении цепи такого прибора определенному количеству тепловой энергии соответствует вполне определенное количество электричества, протекающего по цепи. Таким образом, количество выделившееся на катоде ртути пропорционально количеству тепловой энергии, прошедшей через первичный датчик за все время измерения.

Ртуть с катода в виде мелких капелек стекает в расположенный под ним мерный цилиндр с делениями. Прибор является интегрирующим и может показывать общее количество тепла, полученное потребителем за срок измерения — месяц, отопительный сезон.

По окончании отсчета регистрирующий прибор переворачивается на 180°; при этом ртуть, переливаясь в верхнюю часть сосуда, освобождает мерный цилиндр для новых измерений.

Всем приборам этой группы присущи следующие качества:

- 1) возможность измерять тепловые потоки на площадках порядка 10^2 — 10^3 см^2 — элементах отопительных панелей, изолированных трубопроводов и т. п.;
- 2) весьма большой выходной сигнал;
- 3) большая точность измерений при точной градуировке прибора;
- 4) низкие рабочие температуры;
- 5) большие инерционность и термическое сопротивление (порядка $0,005 \text{ м}^2 \cdot \text{град}/\text{вт}$).

Уменьшая толщину дополнительной стенки и ее площадь, т. е. количество спаев термопар, можно за счет некоторой потери чувствительности добиться большой локализации измерений и снизить инерционность прибора. В американском комитете по аэронавтике (NACA) для исследования теплообменных характеристик сверхзвуковых летательных аппаратов были использованы термометры с толщиной дополнительной стенки менее 1 мм [118, 137]. Слэк [137] измерял локальные тепловые потоки и определял локальный коэффициент восстановления по длине плоской искусственно охлаждаемой пластины при обтекании ее потоком воздуха при $M=2,4$ и $Re=1,5 \cdot 10^5$ — $3 \cdot 10^6$ (ламинарный, переходный и турбулентный пограничные слои). Термометры представляли собой полоски пластика размером $38 \times 9,6 \times 0,4 \text{ мм}$, которые вместе с намотанными на них электродами дифференциальных термопар заклеивались между двумя сплошными листами пластика так, что короткой стороной термометры располагались поперек движения воздуха. Слэк использовал показания термометров как для определения тепловых потоков, так и для определения температуры поверхности пластины и локального коэффициента восстановления. Температура поверхности пластины T_c определялась по показаниям термопар, заделанных под слоем пластика, содержащего термометры. К этим показаниям добавлялось Δt , полученное из значений теплового потока и теплового сопротивления пластика. Коэффициент восстановления определяется из соотношения

$$r = \frac{T_c - T}{\Theta - T}, \quad (2.2)$$

где T_c — собственная температура стенки, т. е. температура, которая устанавливается на стенке при адиабатическом набегании потока [по 63]; T — термодинамическая температура газа; Θ — температура торможения.

Для определения местных значений фактора восстановления в уравнении (2.2) термодинамическая температура T , локальные значения которой практически невозможно измерять непо-

средственно, определяется косвенно по местным значениям числа Маха. Это преобразует уравнение (2.2) в следующее:

$$r = 1 - \frac{\Theta - T_c}{\Theta} \left[\frac{2}{(k-1)M^2} + 1 \right]. \quad (2.3)$$

Местные значения чисел Маха могут быть определены различными прямыми и косвенными методами, в частности по измерениям статических и динамических напоров

В опытах не было возможности получить адиабатические условия на поверхности пластины для определения собственной температуры стенки T_c . Поэтому ее подсчитывали из данных по теплопередаче экстраполяцией удельного теплового потока q как функции отношения $\frac{T_w}{\Theta}$ к условиям нулевого теплообмена. По данным Слэка [137], ошибка в измерениях q составляла $\pm 5,5\%$; $T_w = \pm 7,2^\circ\text{C}$; $T_c = \pm 2,7^\circ\text{C}$ и $r = \pm 0,01$.

Де Лаэр [105], [99] провел эксперименты с плоской пластиной при $M=5,8$. В качестве дополнительной стенки для теплоизмеров, аналогичных описанным выше, он использовал бакелитовый лист толщиной 0,4 мм. Для предотвращения конденсации на опытном участке температура воздуха в форкамере в его опытах должна быть выше 93°C . Поэтому для эксперимента по теплообмену с нагреваемой пластиной была бы необходима температура поверхности $200\text{--}300^\circ\text{C}$, которой бакелитовые термопары не выдерживали бы. Поэтому де Лаэр, так же как и Слэк, проводил опыты с аэродинамическим нагревом; рабочая температура термопар не превышала $30\text{--}60^\circ\text{C}$.

Для дополнительной стенки можно использовать некоторые из огнеупорных материалов, что повысило бы рабочую температуру термопары. Однако формовка термопар в такие материалы весьма затруднительна. Некоторые исследователи делали попытки использовать вместо термопар термометры сопротивления. Браун и др. [16] вжигали платиновую краску с двух сторон таблетки из пирокерами (жароупорное стекло) или алюнда диаметром 6,3 и толщиной 0,5 мм. Термометры сопротивления получались в виде тонкой платиновой пленки подковообразной формы. К концам пленки припаивались серебряные выводы. При этом ошибка в измерениях теплового потока достигала 17%, а рабочая температура датчиков не превышала 120°C . Приборы использовались при исследовании аэродинамического нагрева в сверхзвуковой аэродинамической трубе.

Довольно оригинальным является метод измерения местных тепловых потоков в круглой трубе, когда участки трубы служат дополнительной стенкой и термометрами сопротивления [125]

При измерениях используют скин-эффект пропуская по участку трубы постоянный ток, получают значение сопротивления участка трубы как функции средней по длине и радиусу температуры; пропуская затем переменный ток, получают функцию от температуры наружных слоев трубы. Сравнение этих двух функций дает представление о тепловом потоке на данном

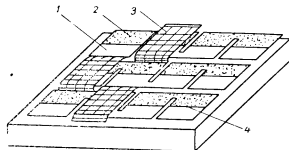


Рис. 9 Устройство измерительной стенки биологического калориметра
1 — медь; 2 — константан; 3 — стеклоткань; 4 — место спая

участке трубы. Естественно, что для получения значений теплового потока нужно знать коэффициент теплопроводности материала трубы или тарировать все устройство по тепловому потоку. Достаточно частоты переменного тока 830 Гц, чтобы получить четкую зависимость для теплового потока. Отдадим должное принципиальному изяществу, нельзя не выразить сомнения в достоверности полученных результатов измерений.

Своеобразно использовали дополнительную стенку Лоутон и пр. [117] в конструкции калориметра для определения теплоизлучения и теплопродукции животных.

Калориметр (рис. 9) представляет собой камеру для животного, стенки которой оклеены стеклотканью, переплетенной с медно-константанными ленточками. Ленточки порезаны с обеих сторон так, что поочередно остаются константанные или медные мостики. Каждая секция между двумя мостиками представляет собой термоспай. Разность температур (или термо-ЭДС) создается за счет того, что один из спаев открыт для нагрева из калориметра, другой закрыт слоем стеклоткани толщиной 0,4 мм и прикасается к стенке калориметра. Дифференциальные термопары соединены последовательно и чувствительность всего термометра весьма высока.

12. ПРОМЕЖУТОЧНЫЙ ЭЛЕКТРОД ДИФФЕРЕНЦИАЛЬНОЙ ТЕРМОПАРЫ В КАЧЕСТВЕ ДОПОЛНИТЕЛЬНОЙ СТЕНКИ

Тепломеры, устроенные по принципу дополнительной стены, состоят из двух элементов, выполняющих разные функции собственно стенки для создания разности температур и термометров для ее измерения. Трудности в соединении этих элементов, разные возможности их в отношении рабочей температуры, большое тепловое сопротивление и инерционность изоляционных материалов, наконец, необходимость локализировать измерение теплового потока на участках порядка $0,1\text{--}0,5 \text{ см}^2$ привели к попыткам объединить функции этих элементов. В различные времена Г. П. Иванцов [38], О. А. Герашенко [19], Джойс и Лэбл [107] предложили использовать в качестве дополнительной стены промежуточный электрод дифференциальной термопары, выполняя его в виде дисков или шайб (рис. 10). К обеим граням диска прикрепляются тонкие пластины и съемные проводники из другого, «парного» термоэлектродного материала.

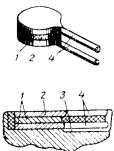


Рис. 10 Схема датчика теплового потока

- 1 — охранная пластина;
- 2 — средняя пластина;
- 3 — исследуемое тело;
- 4 — съемные проводники

Использовать сигнал дифференциального термоэлемента-пластины за счет разности температур на ее гранях впервые предложил Х. И. Амирханов [4], однако не для измерения теплового потока, а для контроля его отсутствия. Изучая свойства различных полупроводниковых материалов, он нашел, что некоторые из них (Cu_2O , PbS) можно применять для изготовления охранной пластины в приборе для измерения теплопроводности. С одной стороны охранной пластины располагается центральный нагреватель, с другой — охранный. Регулировкой тока в охранном нагревателе добиваются, чтобы в цепи медь—закись меди—медь, в которую включен чувствительный гальванометр, значение тока было сведено к нулю. Термо-э. д. с., развиваемая таким термоэлементом за счет разности температур на его гранях в 1 град, составляла $1,17 \text{ мв}$. Чувствительный элемент изготавливается из медной пластинки, закисленной при 1000°C с последующим охлаждением в жидком кислороде.

Впоследствии Х. И. Амирханов и А. М. Керимов использовали этот же принцип в установке по исследованию теплопроводности воды и водяного пара при высоких давлениях [5].

Установка представляла собой шаровой адиабатический калориметр объемом 163 см^3 , составленный из двух стальных кон-

центрических оболочек с зазором между ними 3 мм. В зазор через отверстие засыпался порошок закиси меди. Для уплотнения порошка внутренний сосуд охлаждался проточной водой, наружный — разогревался до $500\text{--}600^\circ\text{C}$; вся система при этом подвергалась высокочастотной вибрации. Во время опытов слой закиси меди передавал давление на стенки наружного сосуда, что позволило уменьшить толщину стенки сосудов. Закись меди в паре с металлом оболочки играла роль дифференциального термоэлемента, по его показаниям температура наружной оболочки поддерживалась в течение всего опыта равной температуре внутренней оболочки. Отклонение от адабатических условий опыта не превышало $0,2\%$ количества тепла, расходуемого на нагрев исследуемого вещества. В последующей работе [6] потеря тепла уменьшена еще на один порядок.

Наконец, И. К. Камилов [42] при определении коэффициента теплопроводности некоторых плохих проводников тепла по методу плоской пластины использовал сигнал меднозакислого гермозлемента, аналогичного описанному в [5], для автоматической компенсации потери тепла от центрального нагревателя через охранную пластинку. Нулевое показание чувствительного церкального гальванометра, замкнутого на термоэлемент, автоматически поддерживалось фотозелектрическим терморегулятором с тиратронной схемой усиления фототока. Рабочий ток гибратора использовался непосредственно для питания компенсационного нагревателя. Максимальная разность температур на гранях термоэлементов при этом не превышала $0,001 \text{ град}$. Ра-бочая температура элемента составляла $80\text{--}500^\circ\text{K}$.

Авторы настоящей книги пытались использовать в качестве промежуточного слоя различные полупроводниковые материалы с большими термо-э. д. с. [22]. В частности, были исследованы Cu_2O , NiS , FeS_2 . Вследствие заметной зависимости термо-э. д. с. от температуры и главным образом из-за низкой механической прочности этих материалов пришлось отказаться от их применения в качестве элементов приборов для измерения тепловых потоков.

Сплав теллура с серебром, обладающий полупроводниковыми свойствами и высоким термоэлектрическим коэффициентом, использовали в дисках — детекторах теплового потока в Англии и Америке [107, 132]. Чувствительность таких детекторов очень велика и составляет $0,8 \text{ мкв}/\text{вт} \cdot \text{м}^2$.

Фирма Джойс и Лэбл [107] указывала на возможность измерения с помощью этих дисков локальных тепловых потоков и все же, очевидно, по причине сильной зависимости чувствительности от температуры, предпочла выпускать диски из полипропилена с заделанными в него термопарами [108].

Полупроводниковые материалы продолжают привлекать внимание исследователей как объект для применения в датчиках теплового потока. А. П. Перелешин [67] получила температурные зависимости для коэффициента теплопроводности некоторых полупроводников (кривые 1 и 2, рис. 11). В отношении

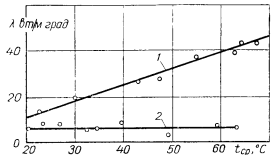


Рис. 11 Графики зависимости $\lambda = f(t_{ср})$ для полупроводников из окислов марганца

технической двойки марганца MnO_2 , содержащей 28% различных примесей, был сделан вывод, что в интервале температур 20–60°С ее теплопроводность не зависит от температуры (кривая 2, рис. 11). Необходимо отметить, что этот вывод достаточно основания не имеет, так как из цифровых данных

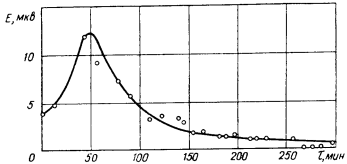


Рис. 12 График изменения во времени термо-ЭДС полупроводникового датчика

приведенных Перелешиной, видно, что разброс точек около среднего значения превышает $\pm 50\%$. В той же работе указывается, что термо-Э. д. с., развиваемая на границах полупроводникового элемента за счет разности температур, существенно изменяется со временем, так как действие теплового потока нарушает равномерное распределение заряженных частиц (ионов кислорода) по объему элемента (рис. 12). В работах [52,

67], тем не менее, указывается на возможность измерения теплового потока с помощью полупроводниковых элементов из окислов марганца, сульфидов и хлоридов серебра и др. В обеих работах приводятся зависимости э. д. с. от теплового потока (рис. 13, а) или от разности температур (рис. 13, б) на границах

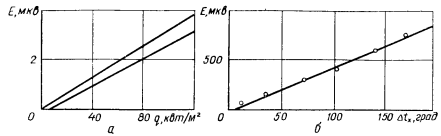


Рис. 13 Градуировочные кривые полупроводниковых датчиков теплового потока

элемента. Зависимости эти, как видно из графиков, прямолинейны и однозначны. Единственным недостатком этих зависимостей, если судить по графикам, является наличие некоторой термо-Э. д. с. при нулевом тепловом потоке. Однако этого достаточно, чтобы говорить о несимметричности и нестабильности процессов в термозлементе.

Авторы книги сосредоточили свои усилия на создании датчиков тепловых потоков из стандартных термоэлектродных металлических материалов, идущих на изготовление термопар. Термо-Э. д. с. этих материалов имеет прямолинейную зависимость от температуры в очень широком диапазоне, а теплопроводность их — очень слабую однозначную зависимость, которую в области температур от 0°С до точек полиморфных превращений или до температуры плавления также можно выразить уравнением прямой линии [95] с достаточной для практических целей точностью. Термопарные материалы не меняют своих термоэлектрических характеристик и в агрессивных средах. Некоторые из них (чистые металлы) удовлетворяют требованиям гомогенности. Датчик, изготовленный из металлических материалов, механически прочен, его можно крепить на различных предметах или заделывать внутрь изделия. Тепловое сопротивление и инерционность его малы.

Выходной сигнал (термо-Э. д. с.) датчика из стандартных термоэлектродных материалов при толщине среднего слоя в 1 мк составляет 0,1–0,3 мкв на каждые 100 $\text{Вт}/\text{м}^2$ теплового потока, и мощность, которую он может развить, имеет порядок 10^{-15} – 10^{-13} Вт. Такие величины измеряются лишь приборами высокой чувствительности. Поэтому в измерительную схему

первых датчиков теплового потока был введен двухкаскадный дифференциальный магнитный усилитель. Для лучшей стабильности прибора питание его производилось через феррорезонансный стабилизатор напряжения и генератор стабильной частоты ЗГ-10 (рис 14). Все датчики проходили индивидуальную тарировку. Для получения контролируемых тепловых потоков

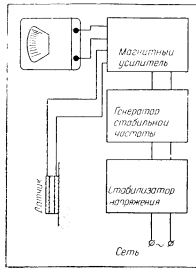


Рис. 14 Схема установки для измерения тепловых потоков с помощью металлических датчиков

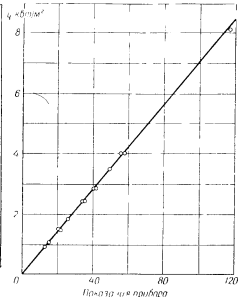


Рис. 15 Градуировочный график металлического датчика

был принят радиационный обогрев тарируемым датчиком. Источником регулируемого лучистого потока служила муфельная печь со ступенчатым регулированием мощности через трансформатор. Интенсивность излучения печи на каждом режиме определялась с помощью термозелектрического радиометра (см раздел 23).

Расстояние от горловины муфельной печи до датчика или пластины радиометра контролировалось специальными шаблонами. Всякое измерение датчиком производилось между двумя контрольными замерами радиометром. Для проверки влияния направления теплового потока при градуировке некоторые датчики подвергали облучению попеременно то однотипной, то другой стороной. Тепло от датчика отводилось с помощью медного блока или стальной трубы, охлаждаемой холодной водой.

Градуировочная кривая типового датчика приведена на рис. 15 [21]. Из графика видно, что в интервале тепловых по-

токов $0-10 \text{ квт}/\text{м}^2$ она является прямой, проходящей через начало координат. Таким образом, уже из опыта создания первых датчиков теплового потока видно, что авторы избрали верный путь.

Более подробные сведения о проверке на гомогенность материалов, идущих на изготовление датчиков, характеристики магнитного усилителя, а также описание методов изготовления и градуировки съемных и несъемных датчиков для тепловых потоков до $2 \cdot 10^4 \text{ вт}/\text{м}^2$, приведены в работе [22]. К некоторым из этих вопросов мы вернемся в гл. IV.

В работах, в которых реферируются датчики теплового потока, отметим [96, 104]. И. Чермак [104], описывая работы [21-107], предлагает для увеличения чувствительности датчиков из металлических термоэлектродов делать промежуточный сплошной дополнительный слой — перфорированный. Это увеличивает тепловое сопротивление стенки и соответственно разность температур на ее гранях. Увеличение чувствительности датчиков достигается такой же эффектом, что и увеличение сигнала датчиков изготовленных нами сваркой на точечном конденсаторной ма-

шине.

Первую попытку практически использовать малогабаритные металлические датчики теплового потока авторы сделали при измерении локальных коэффициентов теплоотдачи от стенки трубы, обогреваемой паром, к зернистому материалу, перемещающемуся внутри трубы (на стенде паровой трубчатой сушильки) [88]. Федорову удалось получить качественную картину изменения а вдоль трубы при сушке украинского бурого угля (рост a , достижение максимума примерно посередине трубы и последующий плавный спад). Получить точные количественные характеристики не удалось.

13. ПРИБОРЫ ДЛЯ ИЗМЕРЕНИЯ ТЕПЛОВЫХ ПОТОКОВ ПРИ НЕУСТАНОВИВШИХСЯ ИЛИ КРАТКОВРЕМЕННЫХ РЕЖИМАХ

Существует много различных методов нахождения температуры поля или граничных условий с помощью приближенных решений уравнений нестационарной теплопроводности. Большое место среди них занимают методы регуляризационного режима. В настоящее время созданы различные приборы и установки [11, 48 и др.], позволяющие по температуре охлаждения определять теплофизические характеристики материалов.

Некоторые приборы позволяют непосредственно по измерению той или иной величины судить о величине поступающего теплового потока.

Такой величиной может быть температура, если инерционность термометра достаточно мала. Б. Л. Григорьев [52] предложил для измерения тепловых потоков во времени весьма

чувствительную термопару из двух стержней, прессованных из тройных теллуристых сплавов (Te—Bi—Sn и Te—Bi—Se). Горячий спай — концы стержней, соединенные между собой тонкой металлической пленкой — заделяется заподлицо с поверхностью теплообмена. Такое устройство можно протарировать по переменному тепловому потоку и сигнал термопары будет соответствовать тепловому потоку до тех пор, пока не изменится температура холодных концов стержней. По данным Б. Л. Григорьева, сигнал такон термопары примерно в 10 раз больше, чем для обычных металлических термопар, и достаточно стабилен.

Недостатки такого прибора заключаются в необходимости пересчета тепловых потоков, если материал стенки отличается от материала стержней (при сильном отличии способ этот вообще неприменим), а также в трудностях при приведении толщины пленки и длины стержней в соответствие со временем воздействия тепла.

Келлер и Райен [116] заделяли на торце керамического блока термопару или термометр сопротивления и записывали изменение температуры во времени осциллографом. Перевод зависимости $t=f(t)$ в $q=f(t)$ осуществлялся на основании приближенных решений уравнения теплопроводности для полуограниченного тела. Термометры сопротивления, изготовленные путем вжигания платиновой краски в керамику, оказались на два порядка чувствительнее, чем термопары. Толщина пленки составляла около 1 мкм. Из керамических материалов наиболее подходящими оказались циркон (ZrO_2) и викор — боросиликатное стекло, имеющее очень малый коэффициент линейного расширения [134]. Этими приборами пользовались для измерения тепловых потоков от воспламенителя твердого ракетного топлива. Процесс горения воспламенителей двух типов — пиротехнического и газогенераторного — протекал не более 50 мсек. Отмечено, что налет продуктов горения на поверхности термометра изменял его сопротивление и тем мог исказить зависимость $t=f(t)$ и $q=f(t)$.

Роуз и Старк [133] изготовили подобные термометры сопротивления для экспериментального определения теплоотдачи к телу, омываемому частично диссоциированным воздухом при весьма высоких скоростях, в точке полного торможения. Они пользовались двумя типами термометров — тонким, когда можно было полагать, что температура пленки все время равна температуре поверхности изолятора, и калориметрическим, когда подводимое тепло в основном аккумулировалось материалом 1 термометра. Толщина платиновых термометров была соответственно 0,3 и 30 мкм. Материалом обтекаемого тела (цилиндр диаметром 12,7 мм со сферическим торцом) являлось огнеупорное стекло — пирекс.

Для перевода зависимости $t=f(t)$ в $q=f(t)$ для обоих типов термометров Роуз и Старк воспользовались решениями Фей и Риддела [109] для пограничного слоя с учетом передачи тепла теплопроводностью, конвекцией и диффузией атомов и молекул.

Методически интересна тарировка термометров-дисков про-пусканием через пленку электрического тока для нагрева до необходимой температуры с одновременным снятием величины сопротивления термометра в поперечном направлении диска [116, 133]. Пригодность тонкопленочных датчиков для изучения быстропеременных процессов конвективного теплообмена подтверждена в работе [70].

Н. А. Анфимов и А. П. Швецов [7] предлагают для измерения кратковременных нестационарных тепловых потоков использовать зависимость диэлектрической постоянной керамических материалов от температуры. Конструктивно такой прибор представляет собой конденсатор — керамическую облату с серебряными обкладками. В качестве материала для конденсатора предлагается керамика СВТ (стронций — висмут — титанат). Толщину облаты выбирают такой, чтобы тепловые условия на ее «холодной» стороне не изменились за время действия теплового потока q . Инерционность изменения емкости в зависимости от q характеризуется толщиной серебряных обкладок (около 0,3 мкм). Основные трудности практического осуществления этой конструкции заключаются, очевидно, в тарировке прибора, а главным образом, в выяснении возможности перевода записанной осциллографом зависимости емкости от времени в зависимость $q=f(t)$, постоянства коэффициента пропорциональности и т. д.

Для измерения кратковременных и неустановившихся тепловых потоков можно применять также некоторые приборы разработанные для стационарных режимов, с учетом инерционности их чувствительных элементов. Уменьшение инерционности обычно снижает чувствительность и точность устройства, поэтому необходимо искать способы разрешения этого противоречия. Один из способов — снижение инерционности и одновременное увеличение чувствительности датчика теплового потока путем создания ячеистого батарейного датчика. Исходя из этого, авторы книги построили прибор, описанный в гл. IV.

14. ТЕПЛОВОЕ ИЗЛУЧЕНИЕ. РАДИОМЕТР С ВЕРТУШКОЙ

Теплообмен посредством лучеиспускания характерен тем, что тепловая энергия тела превращается в электромагнитную энергию излучаемых телом волн — лучистую энергию. Поглощаясь другим телом, лучистая энергия вновь превращается в тепловую.

Остановимся на способах измерения падающей лучистой энергии. Все эти измерения относятся к калорическим, т.е. позволяют определить интенсивность лучистой энергии на данном участке облучаемой поверхности с помощью того или иного теплового эффекта. Общим для этих способов является также сведение к минимуму собственного излучения и отражение приемника энергии, т.е. максимальная степень черноты и низкая температура.

Пытаясь экспериментально подтвердить наличие светового давления, предсказанного Макдэллом в 1873 г., Крукс в опыте с вертушкой из алюминиевых пластинок, черненных с одной стороны, получил противоположный предсказанный эффект [93]. При откачивании воздуха из стеклянного баллона, в котором подвешивается вертушка, то определенного остаточного давления вертушка под действием облучения начинает вращаться так, что черненой стороной как бы уклоняется от облучения хотя из теории следовало, что чем большую степень черноты имеет поверхность, тем меньшее на нее оказывает давление потока лучистой энергии. Лишь после того, как П.Н. Лебедев своими блестящими опытами подтвердил правильность теории Макдэлла, представилась возможность правильно истолковать и использовать эффект, наблюдавшийся Круксом.

Причины этого вторичного эффекта состоят в следующем. При недостаточно тщательной эвакуации пространства, в котором расположена вертушка, в нем остается настолько большое число остаточных молекул газа, что лопасти вертушки непрерывно испытывает на себе с обеих сторон «бомбардировку» молекулами.

При отсутствии облучения черненая и блестящая поверхности лопастей имеют одинаковую температуру. Молекулы остаточного газа после соударения с лопастью отскакивают в среднем с одинаковой скоростью как от черненой, так и от блестящей сторон. Импульсы соударений оказываются взаимно равными — вертушка находится в равновесии.

При одностороннем облучении черненные стороны лопастей оказываются более нагретыми, чем блестящие. Молекулы, соударяющиеся с более горячими черненными поверхностями, отскакивают в среднем с большей скоростью, чем соударяющиеся с блестящими сторонами. Вследствие этого количество толчения, получаемое от соударений на черненных поверхностях, превосходит количество движения, получаемое на блестящих. Величина суммарного момента количества движения оказывается достаточной, чтобы преодолеть эффект светового давления и трение в подшипнике.

Из изложенного следует, что при всестороннем облучении вертушка вращаться не будет. Если поместить вертушку внутрь

печи с амбразурой, то она будет вращаться под действием уходящего через амбразуру излучения в обратную сторону. Если вертушку повесить на упругую, например кварцевую, нить, то по величине угла поворота можно судить об интенсивности падающей лучистой энергии.

Николь в 1897 г. заменил металлические пластины слюдяными. Благодаря этому разница температур на границе пластины покровилась настолько, что таким прибором удалось измерять излучение отдельных звезд.

Широкого распространения радиометр с вертушкой не получил из-за громоздкости и невысокой точности измерений, связанных с непостоянством тавления остаточных газов.

15 МЕТОДЫ ТЕПЛОВОГО РАСШИРЕНИЯ

Мерой интенсивности падающей лучистой энергии может служить теплоное расширение тела. Проф. В.А. Михельсон разработал и ввел в 1907 г. в практику [41] прибор для измерения потока солнечной радиации, основанный на принципе биметаллической пластины. Нагреваясь, тонкая пластина из металлов с различными коэффициентами расширения изгибается, перемещая кварцевую нить. Это перемещение нити измеряется с помощью микроскопа. Теорию радиометров с биметаллической пластинкой разработал С.И. Санин [75].

Тепловое расширение монометаллической пластины используется в стрелочном приборе Н.Н. Калинина [40] (рис. 16). На пластинке из материала с весьма малым коэффициентом расширения — инвара укрепляется полоска константана толщиной 0,03 и шириной 3 мм. Полоска эта чернена. При нагревании облучением полоска прогибается и этот прогиб с помощью оттяжки и рычагов передается на ось со стрелкой. На оси укреплены пружины, которая держит полоску в постоянном натяжении. Константанская полоска электрически изолирована от инваровки, поэтому периодически можно производить тарировку прибора пропусканием через чувствительный элемент электрического тока В.Д. Третьяков [86] построил прибор для непрерывной записи потока лучистой энергии — монометаллический актинограф.

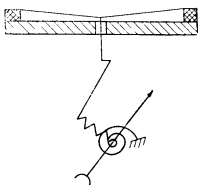


Рис. 16. Схема актинометра с монометаллической пластинкой

Тепловое расширение измеряется также приборами, основанными на измерении температуры приемника лучистой энергии с помощью жидкостных термометров.

Одна из таких конструкций была разработана Абботом в Смитсонианском институте в США [41] в 1912 г и названа пиргелиометром с серебряным диском. Приемной частью прибора служит зачерненный серебряный диск, с одной стороны по радиусу диск имеет высверленное отверстие, в которое вставлена стальная пробирка, заполненная ртутью. В эту пробирку вставляется и полностью погружается в ртуть цилиндрический резервуар термометра. Термометр согнут под прямым углом так, что лучи, падающие на зачерненную поверхность диска, проходят параллельно его капилляру. Камера с серебряным щеком вставляется в массивный теплоизолирующий цилиндр.

Построить абсолютный прибор, т. е. прибор, позволяющий непосредственно измерять лучистый поток в единицах тепловой энергии, на принципе изменения длины или объема весьма трудно. К таким приборам относится ледяной пиргелиометр Михельсона—Волосинса [41]. Приемником лучистой энергии в этом приборе является пробирка с намороженным на нее снегом и льдом. Лучи солнца попадают внутрь пробирки через два маленьких, далеко расположенных друг от друга, отверстия — модель черного тела. Действие прибора основано на уменьшении объема льда при его таянии, что фиксируется специально сконструированным ртутным волюметром.

Некоторые из описанных здесь приборов применяют для измерения лучистой энергии большого интенсивности. Например, пиргелиометр с серебряным диском был специально изготовлен [110] и применен для измерения направленной тепловой радиации интенсивностью до $4 \cdot 10^6 \text{ вт/м}^2$.

Приборы данной группы обладают сравнительно невысокой точностью и большой инерционностью.

16. ЭНТАЛЬПИЙНЫЙ МЕТОД

Энталпийный метод положен в основу приборов, в которых под действием лучистой энергии повышается теплосодержание воды, непрерывно охлаждающей приемный элемент. Этот метод широко распространен в различных областях измерительной техники.

В США стандартным прибором для измерения солнечной радиации является так называемый водоструйный пиргелиометр [41]. Солнечные лучи, проходя через диафрагму определенного размера, поглощаются внутренней поверхностью полого зачерненного металлического конуса, омыываемого снаружи водой.

По повышению температуры воды, определяемому с помощью термометров сопротивления, при постоянном ее расходе получают интенсивность радиации в единицах тепловой энергии

Водяные калориметры применяются при исследовании радиационного теплообмена в камерах сгорания и топках паровых котлов [2, 80], в сталеплавильных [29] и стекловаренных печах [38], в энергетических реакторах [73] и т. д.

Приведем конструкцию типичного прибора для определения интенсивности полусферического излучения по работе С. С. Фитиннова и др. [90]. Приемным элементом является металлическая пластинка диаметром 32 мм, черненная с одной стороны и охлаждаемая водой — с другой. От корпуса прибора пластинка отделена слоем изоляции. Водяной калориметр выполнен в виде змеевика. Разность температур воды на входе и выходе измеряется батареей из 10 дифференциальных термопар. Температура приемного элемента измеряется заделанной в него термопарой. С целью предотвращения тепловых потерь измерительная часть радиометра помещена в рубашку, охлаждаемую водой. Подогревая во избежание конденсации на поверхностях вода поступает в змеевик и охлаждающую рубашку.

Приборы подобного типа успешно применяются при потоках энергии примерно до 10^5 вт/м^2 . Для больших потоков лучистой энергии необходимы конструктивные видоизменения прибора Глейзера [112] опубликованы конструкцией водяного калориметра для потоков до $1.6 \cdot 10^7 \text{ вт/м}^2$. Приемный элемент выполнен в виде полой сферы диаметром 25 мм с охлаждаемой водой диафрагмой диаметром 9,5 мм. Конструкция была разработана для измерения теплового излучения от духовых печей. Затем [103] с помощью вращающихся аттенюаторов — устройств, позволяющих в несколько раз снижать падающие на приемный элемент лучистый поток, верхний предел измеряемой интенсивности радиации был доведен до $(5-6) \cdot 10^7 \text{ вт/м}^2$.

17. МЕТОД БОЛОМЕТРА

Болометр — это прибор, приемной частью которого является термометр сопротивления или термистор.

Совсеменно болометром называется обычно прибор с приемником лучистой энергии в виде очень тонкой платиновой пластиинки (толщина ее достигает долей микрометра), включенной как плечо в мостик Уитстона. При нагревании пластиинки сопротивление ее растет и нуль-гальванометр моста фиксирует появление диагонали тока, величина которого и служит мерой падающей энергии. Для увеличения чувствительности и предохранения от воздействия тепла окружающей среды пластиинку помещают в эвакуированный сосуд. Первым применил болометр Сванберг (1851) [93]. С помощью болометра можно измерять весьма малые падающие потоки, а также температуру далеких источников. Для измерения больших потоков приме-

иляются плечевые термометры сопротивления или термисторы (при условии их хорошего охлаждения).

Для измерения падающей энергии очень перспективно при изменение термисторов — полупроводниковых сопротивлениях с очень большим температурным коэффициентом электрического сопротивления ($4-6\%$ на 1 град.).

В. Н. Адрианов [1] предлагает помещать термистор (или головку термопары) в одном из фокусов эллипса отражения (рис. 17) для измерения радиационной составляющей сложного теплоизменения в камерах сгорания. Через второй фокус эллипса проходит плоская стена с отверстием в фокусе. Действие прибора основано на оптическом свойстве эллиптического зеркала, заключающемся в том, что любой луч, пролетевший через один из фокусов зеркала, отразившись от его поверхности, пройдет через второй его фокус. Таким образом, предполагается, что все лучи, проходящие через отверстие диафрагмы, сфокусируются на поверхности приемника энергии. Для лучшего отражения поверхность эллипса полируется и покрывается слоем золота. Все устройство помещается в охлаждаемую водой камеру, внутрь зеркала подается осушенный воздух с температурой охлаждающей воды. Таким образом, внутренняя полость все время вентилируется сухим очищенным воздухом, что предотвращает попадание в прибор пыли и влаги. Из-за сложности изготовления прибора, особенно внутренней отражающей поверхности, его практическое применение ограничено.

Преимущество измерений по методу болометра в том, что можно изменять чувствительность в довольно широких пределах, варьированием тока в плачах мостика. Однако такое изменение ограничено тем, что при большой силе тока начинает сказываться нагрев приемника за счет самого тока, что приводит к дрейфу пулья. Последнего, впрочем, можно избежать чисто электрическими приемами.

18 МЕТОД ТЕРМОСТОЛБИКА

Одни или несколько (иногда до нескольких сотен) горячих спаев термоэлемента прикрепляют к тонкой черненой пластинке, нагревание которой передается термоспаям. Холодные спаи

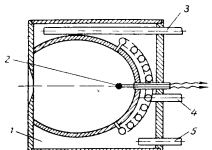


Рис. 17. Схема радиометра с эллиптической камерой

1 — водяная рубашка; 2 — щечинский термоприемник; 3 — вход охлаждающей воды; 4 — подача осущеного воздуха; 5 — выход охлаждающей воды

располагаются при этом вне зоны влияния излучения. При соответствующем подборе материала термоэлемента величина тока может служить мерой падающей энергии. Термостолбцы могут выполняться в виде пластинок, полосок, звездочек. Приборы с чувствительным термоэлементом широко применяются при измерениях, как падающей энергии, например, радиометры Бойко [56] и ЦКТИ [94], прибор для проверки опасности возгорания деревянных строений [123], так и температуры источника, например, в стандартных приборах типа «Рапир» (радиационный пиrometer).

Для уменьшения инерционности термоспая изготавливают очень малой толщины методами осаждения в вакууме или методами гальванического покрытия [66].

Бойс в 1888 г. предложил конструкцию очень чувствительного и малоинерционного радиомикрометра [106], объединив в одном приборе термостолбик и гальванометр. Термопара, горячий спай которой прикреплен к черненому диску из тонкой медной фольги, подшивалась на кварцевой нити между поясами мощного магнита. Быдучи замкнута медным проводником в петлю, термопара является рамкой такого своеобразного зеркального гальванометра.

Многое для развития приборов с термостолбиками, и в частности радиомикрометра, сделал П. Н. Лебедев [93]. Чувствительность этих приборов он увеличивал в несколько раз, помещая термоэлемент в вакуумизированный баллон, что резко уменьшало конвективные потери тепла.

Более простым и удобным методом повышения чувствительности и снижения инерционности термостолбиков является на грев радиацией непосредственно горячими спаев, расположенных в воздухе. Холодные спаи при этом прикрепляются к большой массе теплопроводного материала. Благодаря незначительной массе такой термобатареи отсчет показаний производится через несколько секунд после начала облучения. На этом принципе построены некоторые приборы для измерения солнечной и рассеянной радиации, например, актинометр Горчинского и пираметр Янишевского [41].

В несколько измененном виде этот метод использован в приборе для измерения тепловой радиации интенсивностью $(4 \div 400) \cdot 10^2 \text{ вт/м}^2$, конструкция которого опубликована Гардоном [110] в 1953 г. Прибор (рис. 18) представляет собой массивный медный блок 2 с круглым отверстием, закрытым пластинкой из константановой фольги 1, припаянной по периферии к блоку. Энергия, воспринимаемая при облучении фольги, растекается равномерно к медному блоку, который можно представить как холодильник с постоянной температурой, а также теряется в окружающую среду. Горячий спай образован при-

помощи тонкой медной проволоки 3, припаянной с обратной стороны в центре пластиинки

При установленном режиме на поверхности приемника температура распределяется так, как указано на рис. 18. Максимальная температура соответствует центру пластиинки. С помощью дифференциальной термопары, составленной из медной проволоки, константановой фольги и медного блока, измеряется разность температур

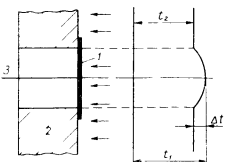


Рис. 18. Схема распределения температуры на поверхности приемника радиочастот с круглой фольгой

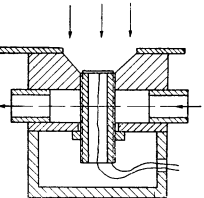


Рис. 19. Охлаждаемый радиометр с круглой фольгой

Абсолютные величины которых судят об интенсивности падающей энергии. Прибор назван радиометром с круглой фольгой.

Исходя из некоторых упрощающих предположений (отсутствие потерь тепла — конвективных от фольги, кондуктивных через центральную медную проволочку, радиационных от всего пластиинки, расположение медной проволочки строго по центру пластиинки и т. д.), Гарден аналитически получил связь между энергией лучистого потока q , разностью температур между центром и периферией пластиинки Δt и размерами пластиинки — радиусом R и толщиной S . При медно-константановом приемнике зависимость теплопроводности константана от температуры примерно компенсируется температурной же зависимостью термоэлектродов пары медь—константан. Это позволило автору получить простое уравнение для чувствительности прибора

$$\frac{E}{q} = 4,36 \cdot 10^{-6} \frac{R^2}{S}. \quad (24)$$

Беряя разные размеры пластиинки, можно получать радиометры с различной чувствительностью.

Автор предпринял попытку практически осуществить этот прибор. Из проволоки раскатывалась фольга толщиной до

0,02 мм и вырезалась кружок диаметром 2–3 мм. Центральная проволочка диаметром около 0,02 мм припавалась легкоплавким припоем. Датчики тарировались по приглушеному с серебряным диском. Чувствительность выполненных приборов оказалась порядка $(0,5 - 5) \cdot 10^{-5} \text{ лв/вт/м}^2$ и отличалась от полосы тарированной по формуле (24) на 30–65%.

Такое различие вполне естественно — это говорит о необходимости тарировки всех выполняемых радиометров с круглой фольгой. Значительно важнее, чтобы тарировочная характеристика не менялась со временем.

Постоянная времени радиометров оказалась невелика и составила примерно 0,1 сек. Рабочая температура не превышала 100°C.

Следует остановиться на работе [30] по определению теплопроводности окиси циркония при температурах выше 1000°C, в которой измерялись локальные тепловые потоки, излучаемые образцом. С помощью радиометров с круглой фольгой удалось получить качественную картину распределения тепловых потоков по поверхности образца. Количественные суммарные измерения производились с помощью обычного термостодника с ходовыми спаями, охлаждаемыми проточной водой. Конструкция радиометра с круглой фольгой, применявшегося при исследовании локального излучения образца, показана на рис. 19 [101].

19. ИНЕРЦИОННЫЙ РАДИОМЕТР

Для измерения лучистых потоков до $2,5 \cdot 10^5 \text{ вт/м}^2$ при температуре приемника до 600°C Моляр [121] предложил флюксметр, основанный на принципе инерционного теплометра, разработанного М. В. Кирпичевым и Г. М. Кондратьевым [82].

С помощью этого прибора определяется термическая инерция калориметра — металлического диска, воспринимающего лучистый поток на одну из граней. Если m — масса калориметра, c — удельная теплоемкость, S — воспринимающая поверхность, $\frac{dt}{dt}$ — производная от температуры диска по времени, то плотность поглощаемого потока q можно найти из соотношения

$$q = \frac{mc}{S} \cdot \frac{dt}{dt}. \quad (25)$$

Чувствительным элементом прибора является диск из чистого золота диаметром 25 и толщиной 4 мм. Золото выбрано из условия наименьшего окисления и наибольшего отражения, что делает очень слабым теплообмен с окружающей средой, а также высокой теплопроводности, что позволяет принимать в каждый момент времени температуру одинаковой по всему диску. Облучаемая сторона диска покрывается черной краской, спо-

собой выдержать температуру 800°C, оставшаяся поверхность его полируется.

Для измерения температуры диска в него заделана хромель-алюмелевая термопара. Диск с помощью трех тонких (0,5 мкм) платинородиевых стержней укрепляется во впадине массивного блока из никхрома с зazorом в 1,5 мм.

В блоке имеются три регулируемых на гревателя для получения температуры блока до 600°C. Эта температура также измеряется хромель-алюмелевой термопарой. Вся поверхность блока покрыта тонким (1 мкм) слоем золота, чтобы свести теплообмен с диском к минимуму.

Методика измерений заключается в следующем. Нагревают никхромовый блок до предполагаемой температуры равновесия t_1 . К этому моменту температура приемника $t_0 < t_1$. Затем приемник подвергают облучению и регистрируют температуры приемника и блока двумя гальванометрами одинаковой чувствительности. Температура диска растет быстрее и через несколько секунд температурные кривые (рис. 20) пересекаются. В этот момент достигается равенство температур, и далее радиационный подогрев приемника расходуется только на повышение его температуры.

По касательной к температурной кривой приемника определяют $\frac{dt}{dt}$. Это значение, умноженное на $k = \frac{mc}{S}$, дает искомый поток q . Константа прибора k определяется линейной зависимостью от температуры, учитывающей изменение теплопроводности и коэффициент расширения золота. По расчетам при 0°C $k=0,241$ и при 600°C $k=0,250$.

Точность измерений этим прибором, по предположению Моляра, 5–10%.

20. МЕТОД РАСПЛАВЛЕНИЯ КРАСКИ

Для измерения мощных направленных радиационных потоков Томас и Смит [138] предложили прибор весьма простой конструкции. Тонкая пластинка покрывается слоем специально подобранный краски. Пластина экспонируется в течение определенного времени потоком лучистой энергии с помощью лам-



Рис. 20. График изменения температуры частей инерционного радиометра во времени

фрагмы, закрываемой крышкой. Полученное за время экспозиции тепло расходуется главным образом на подогрев и расплавление краски. Авторы нашли зависимость между количеством падающей энергии и диаметром кружка расплавившейся краски. Таким образом, необходимо измерить две величины время экспозиции и диаметр кружка. Метод этот, конечно, не может претендовать на высокую точность, но в производственных условиях при измерениях стабильных во времени потоков может оказаться весьма полезным.

21. МЕТОД КОНДУКТИВНОГО ТЕПЛОВОГО ПОТОКА

При исследованиях и эксплуатации топочных устройств, камер сгорания и т. п. широко распространены калориметры для измерения падающего радиационного потока с организованным отводом тепла через твердое тело, у которого фиксируется падение температуры на определенной толщине. Конструкция одного из таких калориметров — термозондов показана на рис. 21 [45]. Медный или стальной блок цилиндрической формы диаметром 34 мм с одного торца подвергается облучению, с другого — охлаждению проточной водой. По оси блока на расстоянии одна от другой 17 мм для меди и 6 мм для стали через боковые сверления закладывались хромель-алюмелевые термопары с диаметром электродов 0,2 мм. Запись показаний термопар производилась с помощью потенциометра ЭПП-09. Для определения теплового потока использовались значения теплопроводности материала блока, определенные из опыта, т. е. прибор использовался как абсолютный. Измеренные тепловые потоки для горизонтальной циклонной камеры сгорания с воздушным охлаждением достигали $0,5 \cdot 10^6 \text{ вт}/\text{м}^2$. Доля конвективного теплообмена по измерениям равна примерно 10% этой величины. Во время опытов поверхность приемника покрывалась плотным налетом черного цвета, температура поверхности поднималась до 450°C. При этом существенно возрастало обратное излучение калориметра, что не могло не увеличить погрешности измерений.

В некоторых конструкциях подобных термозондов для упрощения измерений выводы термоэлектродов делались однопроводными с использованием для дифференциальной термопары материала приемного блока. Для измерения результатирующих потоков (разности между падающим и отраженным потоками) в мартеновских печах в Восточном н.-и. институте топливо-использования (ВНИИТ) был разработан термозонд с двумя направленными в противоположные стороны приемниками [94]. Материал приемников — жароупорная сталь, термоэлектродов — константан; размеры $d \times h = 34 \times 15$ мм. Термозонды необходимо было периодически градуировать по водяному кало-

риметру в специальной печи из-за изменения со временем степени черноты поверхности приемника и других характеристик прибора.

В последующей работе ВНИИТа [54] предложено использовать радиометр с одним таким приемным блоком для измерения температуры внутренней поверхности свода марганцовской печи

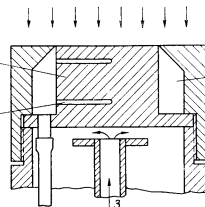


Рис. 21 Радиометр с кондуктивным охлаждением водой тела

1 — блок; 2 — воздушный зазор; 3 — подвод воды; 4 — спиральное для термопары

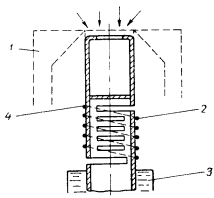


Рис. 22. Радиационный тепломер Института Госплана УССР

1 — ограждающий кожух; 2 — ходовые спай; 3 — охлаждающая вода; 4 — горячие спай

Для тарировки по температуре в качестве эталона использовался радиационный пирометр.

Оригинальный радиационный тепломер разработан в Институте автоматики Госплана УССР И. Л. Семинским, В. С. Костогрызовым и О. Л. Цыганковым и описан в работе [78].

Частью прибора (рис. 22), воспринимающей падающий поток, является модель абсолютно черного тела. Основная доля воспринятого теплового потока за счет теплопроводности передается через промежуточное тело охлаждающей воде. Промежуточное тело спрофилировано так, что линии теплового тока приобретают S-образную форму, что достигается при помощи специальных прорезей, изображенных на чертеже. Благодаря этому в средней части поток направляется перпендикулярно оси прибора. На среднюю часть промежуточного тела наматывается батарея дифференциальных термопар, сигнал которой пропорционален величине теплового потока, пронизывающего среднюю часть промежуточного тела. Для увеличения сигнала батареи термопар промежуточное тело рассечено системой до-

полнительных прорезей, способствующих уплотнению линий теплового тока.

Чувствительность такого прибора очень высока, однако ему должны быть присущи недостатки приборов с термостолбиками: вследствие нелинейности зависимости побочных потерь от температуры показания прибора и точность его измерения зависит от температуры охлаждающей воды и омывающего воздуха.

Для устранения этих недостатков необходимо свести к минимуму промежуточные ответвления теплового потока либо поддерживать постоянство температуры охлаждающей воды. Последнее в промышленных условиях, для которых разработан прибор, невозможно.

Промежуточные же потери, по-видимому, можно свести к термопару минимуму, поместив между приемной и отводящей частями батарейный датчик теплового потока спирального типа, который описывается ниже. В нем побочные потери, а следовательно, и их нелинейности практически сведены к нулю.

22 ПИРОЭЛЕКТРИЧЕСКИЙ ТЕПЛОМЕР

При нагревании некоторых кристаллов на их поверхности появляются электрические заряды (пироэлектричество). Т. Перлс и Б. Мэйтс [128, 120] нашли, что некоторые поляризованные керамики (титан бария, цирконат-титанат свинца) способны генерировать ток, прямо пропорциональный поглощаемой тепловой мощности.

$$i = \frac{\gamma q}{cd\rho}, \quad (2.6)$$

где i — сила тока, q — тепловой поток, c — удельная теплопроводность керамики, ρ и d — соответственно плотность и толщина керамики, γ — пироэлектрический коэффициент, и сконструировали прибор.

В этом приборе чувствительным элементом служит керамический диск диаметром 100 и толщиной около 5 мм (рис. 23), покрытым на обеих гранях тонкой серебряной пленкой, играющей роль съемных электродов. Весь элемент помещен в корпус между слоями стекловаты, предохраняющей керамику от ударов и вибраций. Грань, обращенная к источнику радиации, покрыта черной глифталевой эмалью со степенью черноты 0.9 ± 0.05 .

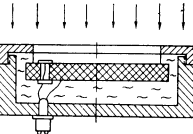


Рис. 23 Пироэлектрический тепломер

Б. Мэйтс и Т. Перлс [120] применили описанные тепломеры для определения теплового воздействия на окружающую среду при запуске ракетных установок типа «Поларис». Они указывают, что пироэлектрический коэффициент u зависит от интенсивности поглощаемой энергии (растет с ее увеличением), но это изменение в какой-то мере компенсируется уменьшением поглощаемой энергии за счет обратной радиации приемного элемента. Они полагают, что чувствительность прибора при этом остается постоянной в пределах $\pm 10\%$. Максимальная рабочая температура датчиков из титаната бария — 90°C , из цирконататитаната свинца — 300°C .

Пироэлектрические тепломеры безусловно должны найти применение в измерительной практике, однако оно будет ограниченным, так же как у пьезоэлектрических манометров.

23. КОМПЕНСАЦИОННЫЙ МЕТОД

В 1890 г шведский астроном К. Ангстрем предложил и создал абсолютный прибор, работающий по компенсационному принципу. Прибор этот сразу же получил всеобщее признание и до настоящего времени считается лучшим среди актинометрических приборов.

Основу пиргелиометра Ангстрема (рис. 24) составляют две очень тонкие манганиновые полоски, обычно длиной 20, шириной 2 мм. Фронтальная поверхность пластинок тщательно чернится. Одна из пластинок экспонируется под измеряемой радиацией, другая в это время нагревается за счет пропускания через нее электрического тока так, чтобы их температуры выравнивались. При этом тепло, полученное за счет радиации одной из полосок, будет эквивалентно энергии, выделяемой за счет электрического нагрева второй.

При известном сопротивлении полосок и величине пропускаемого тока легко можно определить затрачиваемую на компенсационный обогрев электрическую мощность.

Эбонитовый блок, несущий на себе полоски со всеми сопряженными деталями, располагается обычно в бронзовом трубчатом корпусе, закрытом спереди крышкой с двумя щелями-амбразурами, против которых расположены полоски. Непосредственно за крышкой перед полосками находится заслонка, блокиро-

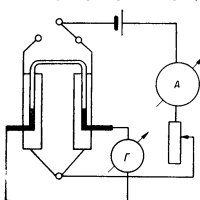


Рис. 24 Схема пиргелиометра Ангстрема

ванная с переключателем таким образом, что электрическому обогреву подвергается затененная полоска. Нагрев регулируется реостатом так, чтобы ток в цепи дифференциальной термопары, контролирующей разность температур полосок, стал равен нулю. Цепь дифференциальной термопары замыкается через специальный гальваниометр.

Дифференциальная термопара состоит из петлевой константановой перемычки, соединяющей между собой две тонкие медные полоски, приклеенные шеллаком на тонкой бумаге к манганиновым полоскам. Медные полоски способствуют осреднению и выравниванию температур, а также исполняют функции термоэлектродов дифференциальной термопары.

Электрические измерения и контроль режима компенсации могут производиться с очень высокой точностью. Наиболее трудно проконтролировать с достаточной точностью геометрические размеры полосок и степень черноты передней стороны полосок. Эти причины и являются основным трудно устранимым источником погрешности измерений, примерно 2,5—3% измеряемой величины при средних потоках. Измерение малых потоков связано с большими погрешностями.

Ангстрем построил целую серию приборов компенсационного типа, для измерения солнечной радиации — пиргелиометр, измерения рассеянной радиации неба — пиранизометр, измерения интенсивности земного излучения — пиргегометр. Все эти приборы отличаются высокой точностью, поэтому принцип компенсационного обогрева стал применяться и в других областях науки и техники для измерения направленных и полусферических потоков различной интенсивности.

Радиометр, построенный на принципе компенсационного пиргелиометра на лучистые потоки до $20\,000 \text{ вт}/\text{м}^2$, был создан авторами книги в 1956 г [21, 22].

В качестве приемных элементов изготавливались манганиновые пластинки толщиной 0,05—0,08 мм, шириной 10 и высотой 30—50 мм. Для установки на радиометр отбирались две наиболее близкие по размерам пластинки. Обе пластины крепились на одинаковых медных вилках, через зубья которых они питались током.

Пластины вместе с вилками укреплялись на изоляторах (текстолитовых втулках) в массивном медном блоке так, чтобы лицевые стороны были видны из амбразур, расположенных с разных сторон блока, с зазором между пластинкой и блоком в 0,1 мм. Таким образом, когда одна из пластин подвергалась облучению, другая находилась в тени. Отвод тепла от обеих пластин производился за счет свободной конвекции воздуха, поднимавшегося возле каждой из сторон пластин — лицевой и тыльной, для чего в медном блоке были сделаны каналы. Готовки дифференциальной хромель-алюмелевой термопары из

прохода воды, с однои стороны он закрыт водоохлаждаемым конусом, с другой — крышкой с диафрагмой. Охлаждающая вода подается из напорного бачка с постоянным уровнем, перед камерами она размешивается и разделяется к обеим камерам. На выходе вода попадает в стеклянные трубы с заделанными внутрь спаями дифференциальной четырехспиральной термопары. Таким образом, балансировка радиационного и электрического нагрева производится по температуре воды на выходе. Интересно отметить, что в этой работе производились испытания радиометра на идентичность камер с помощью попеременного измерения потока обеими камерами. По-видимому, получившиеся значения тепловых потоков существенно различались, так как при подсчетах интенсивности теплового излучения приходилось использовать среднеквадратичное из значений, полученных при измерениях отдельными камерами.

Соответственно, при каждом измерении необходимо проделывать двойную работу. С учетом большой инерционности приемных камер на отдельное измерение (по очереди обеими камерами) придется затрачивать не менее 15 мин. Предполагается, что общая ошибка не будет превышать $\pm 2\%$.

24. УНИВЕРСАЛЬНЫЕ ТЕПЛОМЕРЫ

Некоторые из описанных выше методов измерения локальных тепловых потоков, когда основной является одна из форм теплообмена — конвекция, теплопроводность или тепловое излучение, — имеют между собой много общего и могут применяться и при измерении других форм теплообмена.

Так, например, керамические блоки с поверхностной резистивной пленкой-термометром использовались Хэмблом и др. [115] при измерениях как радиационных, так и конвективных потоков, а также в случаях, когда доли радиации и конвекции были равноправны.

С помощью водяных калориметров делались попытки определить долю конвективного потока, когда преvalирует радиационный, например, по методу двух калориметров, поверхности которых имеют разную степень черноты [50, 90]. Принцип пироэлектрического теплометра, описанного выше, предполагается использовать также и при измерениях конвективных потоков (случай охлаждения теплоносителя).

Р. Гардон в работе [111] описывает датчик конвективных тепловых потоков, идентичный радиометру с круглой фольгой. При этом при охлаждении теплоносителя вид температурной кривой будет таким же, как и на рис. 18, при нагревании — кривизна температурной кривой изменит знак.

Конструкция эта удобна в том отношении, что ее сравнительно легко заделать заподлицо с поверхностью теплоотдачи. Од-

нако корректное применение ее ограничивается небольшими потоками тепла, так как при больших потоках разность температур центра и краев фольги будет искажать профиль температур в пограничном слое, что неизбежно приведет к погрешностям измерений и деформации поля тепловых потоков.

Р. Гардон применил тепломеры с круглой фольгой для изучения теплопередачи между плоской поверхностью и струями воздуха, ударяющими в нее. Горячая плита с теплометром перевигалась механически перед рядом перпендикулярных к ней сопел. Запись сигнала теплометра производилась непрерывно с помощью самописца. Гардон указывает, что в этих опытах выдерживалось условие малости Δt — центр — край фольги по сравнению с Δt плиты — воздух — движущий силой теплопередачи.

Между приборами, в которых осуществлен метод дополнительной стенки (конвекция) и приборами, в которых осуществлен метод кондуктивного теплового потока (тепловое излучение), нет принципиального различия. В рекламном сообщении [130] предлагается радиометр, представляющий собой теплометр — дополнительную стенку [131], обдуваемую воздухом от малого вентилятора. Для случая полусферического излучения предлагается теневую сторону закрывать двойным экраном, для радиометра сальдо-потоков обе стороны стенки покрываются одинаковым чернением. Однако универсальный прибор для исследования местного теплообмена в любой из его форм можно создать, пожалуй, из всех описанных в данной главе способов лишь на принципе дополнительной стенки. Некоторые методы, пригодные, скажем, для измерения конвекции или теплового излучения, по тем или иным причинам совершенно непригодны для исследования распространения тепла в твердом теле.

Метод дополнительной стенки (или кондуктивного теплового потока) характерен тем, что измерению подлежит тепловой поток, проходящий теплопроводностью через стенку датчика. Если выдержать условия расположения стенки по изотермической поверхности исследуемого тела без искажения изотерм при этом, то таким прибором можно пользоваться для изучения задач внешнего теплообмена или внутренней теплопроводности.

Однако описанные выше тепломеры, работающие на принципе дополнительной стенки — модификации «пояса Шмидта» — имеют сравнительно большие габариты и большое тепловое сопротивление, что препятствует их применению при локальном исследовании различных форм теплообмена и в особенностях теплопроводности.

Единственный прибор, который может быть положен в основу разработки универсального измерителя локальных тепловых потоков, как нам представляется — это датчик теплового потока, разработанный авторами книги. Размеры его малы и даль-

ненешие их уменьшение почти не ограничено. Тепловое сопротивление датчика невелико и при необходимости может быть уменьшено за счет применения самых теплопроводных металлов или увеличено, например, в последних конструкциях батарейных датчиков путем подбора коэффициента заполнения кожуха датчика металлом элементарных датчиков. В случае необходимости датчику можно придавать форму, которую имеют изотермы в исследуемом теле.

Датчики теплового потока уже нашли применение при измерении локальных тепловых потоков, подводимых к телу (или отводимых от него) тепловым излучением и конвекцией, а также распространяющихся в теле теплопроводностью истинной или эффективной (пористые тела, многослойная композиция с газовыми прослойками).

Одна из немногих областей теплообмена, где трудно применять датчики теплового потока — это распространение тепла в пористом теле, сопровождающееся неизотермическим движением жидкости в порах тела. Вообще, при наличии массообмена в теле датчик, видимо, всегда будет препятствовать такомуому.

ГЛАВА III

ПРИБОРЫ ДЛЯ СОЗДАНИЯ КОНТРОЛИРУЕМЫХ ТЕПЛОВЫХ ПОТОКОВ И ДЛЯ ИХ АБСОЛЮТНОГО ИЗМЕРЕНИЯ

25. ИСТОЧНИКИ КОНТРОЛИРУЕМЫХ МОЩНЫХ ТЕПЛОВЫХ ПОТОКОВ

Потребность в источниках контролируемых потоков достаточной мощности в различных областях науки и техники велика. Такие источники необходимы при определении теплофизических констант материалов, градуировке различных измерительных устройств, моделировании граничных условий теплообмена, в частности, при определении влияния теплового потока на появление материалов.

Дело обстоит сравнительно просто при необходимости организации небольших тепловых потоков. В этом случае наиболее простым является кондуктивный способ подведения тепла к исследуемой поверхности от контролируемого нормализованного источника тепла (обычно электрического) посредством теплопроводности. Способ этот непременно обладает большойю инерционностью, а требуемая направленность потока обычно достигается увеличением инерционности и уменьшением эффектив-

ности промежуточных теплопроводов ограничивает возможное изменение подводимых потоков во времени.

При исследовании условий возвращения космического летательного аппарата в атмосферу величины потоков, согласно Бонину и Прайсу [14], могут достичь при первой космической скорости $4 \cdot 10^7 \text{ см/с}$. При определенных условиях ускоренного возвращения на Землю на встречном курсе величины эти могут быть на несколько порядков выше. Приведенные цифры говорят об уровне потоков, создание которых в лабораторных условиях может оказаться актуальным.

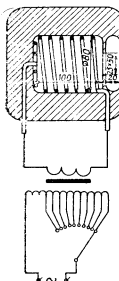


Рис. 27. Муфельный излучатель

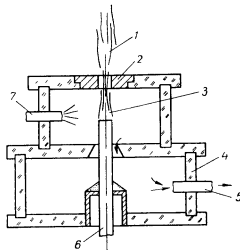


Рис. 28. Схема плазменного генератора

1 — плазма; 2 — катод; 3 — водяная трубка; 4 — кожух; 5 — отвод плазмы

Кроме упоминаемого в гл. I кондуктивного способа создания контролируемых тепловых потоков, возможна организация требуемых тепловых (в дополнение к температурным) условий посредством конвекции и радиации. Требование контрольности подвода тепловой энергии практически исключает комбинирование видов обмена.

В этом отношении существенными преимуществами обладает подвод за счет радиации. Вопрос об источнике лучистой энергии решается обычно в каждом частном случае.

При умеренных потоках находят широкое применение инфракрасные излучатели электролампового типа, используемые например, при ускоренной сушке окрашенных поверхностей на автомобильных заводах. Интенсивность излучаемой энергии за-

висит от температуры и степени черноты излучающей поверхности, поэтому, казалось бы, электрические лампы накаливания с температурой нити порядка 3000°C и высокой степенью черноты нити должны получить самое широкое распространение как источники теплового излучения. Они обладают также такими преимуществами как малая инерционность, возможность точного регулирования потока и надежность в работе. Однако поверхность ламп относительно сечения баллона столь мала что даже для группы ламп, расположенных в шахматном порядке, падающая энергия на расстоянии 250 мм от нити накала не превышает $10^4 \text{ вт}/\text{м}^2$ [56]. Примерно такими же потоками ограничено применение различного типа электронагревателей с металлическими греющими элементами.

Авторы книги, изменения конструкцию муфельной печи (рис. 27) для радиационной тарировки датчиком теплового потока, получили величину падающей энергии $2 \cdot 10^4 \text{ вт}/\text{м}^2$, равномерную на площадке диаметром 50 мм. Нагревательный элемент был изготовлен из никромового прута диаметром 5 мм и длиной 2 м [22]. Максимальная температура нагревателя составляла 1200°C. Применение платины, а также силанта позволяет поднять температурный уровень до 1400—1500°C, что соответствует тепловым потокам у отверстия муфели $(0,5-1) \cdot 10^5 \text{ вт}/\text{м}^2$.

Для моделирования аэродинамического нагрева тепловым излучением от группы силовых трубок [121] получены падающие потоки интенсивностью до $2,5 \cdot 10^5 \text{ вт}/\text{м}^2$. Дальнейшее повышение этой величины производят с помощью вакуумных графитовых печей, а для окислительной атмосферы — дуговых печей. С помощью угольных дуговых печей удается повысить падающий поток до $1,6 \cdot 10^6$ и даже $5 \cdot 10^6 \text{ вт}/\text{м}^2$ [112, 103].

Однако работа таких печей характеризуется малой стабильностью дуг — флуктуации интенсивности падающего потока обычно превышают $\pm 10\%$. При использовании специальных кожухов для электродов и спектрально чистых углей неравномерность интенсивности излучения дуги можно снизить до 5% [58]. Можно также заключить столб дуги в трубку, охлаждаемую водой. Естественно, что такие дуги нельзя использовать в качестве источника контролируемого теплового потока.

С помощью охлаждаемой водой дуги были созданы генераторы плазмы, которые являются источниками мощных конвективных тепловых потоков. Бонин и Прайс [14] исследовали по ведение различных материалов (скорость прогрева и уноса) при подводе к ним энергии, соответствующей аэродинамическому нагреву тел, входящих в атмосферу со скоростью $(1-3) \times 10^3 \text{ м/сек}$. Схема плазменного генератора приведена на рис. 28. Водяная «трубка» создается за счет центробежных сил (тангенциальный подвод). Плазма истекает из отверстия в катоде со скоростью около 900 м/сек и температурой до 14 000°К. При

установке испытуемого образца вертикально на 10 см выше отверстия в катоде он воспринимал тепловые потоки конвекционные, равные $3 \cdot 10^7 \text{ вт}/\text{м}^2$.

Получила распространение также подвод энергии к поверхности с помощью электронной бомбардировки, что широко используется в электровакумной технологии. Нагреваемая поверхность служит анодом, ее размещают в вакууме на некотором расстоянии от источника электронов — катода. Приобретенную в электростатическом поле этого своеобразного диода кинетическую энергию электроны выделяют при торможении в наружном, очень тонком (до 5 мкм) слое анода в виде тепловой энергии, которая отводится теплопроводностью в материале анода.

Метод этот не имеет принципиальных ограничений по величине создаваемого потока. Практически в случае необходимости в современных условиях можно было бы создать потоки порядка $10^{10} \text{ вт}/\text{м}^2$.

Известна установка ЭНИНа по подводу энергии электронной бомбардировкой к поверхности теплообмена при кипении жидкостей [69]. Максимальная интенсивность теплового потока при изучении критической тепловой нагрузки составляла $15 \cdot 10^6 \text{ вт}/\text{м}^2$.

Е. В. Курдяевцев и др. [52] сконструировали электронный калориметр для определения теплофизических констант электропроводных материалов. Роль анода в этом калориметре играл испытуемый образец. Метод позволяет сравнительно просто задавать тепловые потоки в различных функциях времени соответствующим изменением тока эмиссии катода, различностью потенциалов между катодом и анодом и, наконец, напряжением на сетке.

В последнее время электронный обогрев начал применяться также при получении сверхчистых материалов с помощью вакуумной переплавки [76]. Возможности этого метода подвода тепловой энергии ограничены необходимостью создания глубокого вакуума (до $10^{-7} \text{ мм рт. ст.}$), что приводит как к сложности аппаратуры и громоздкости опытов, так и к невозможности сочетания воздействия тепловых нагрузок и той или иной атмосферы.

Наша работа в области источников контролируемого теплового потока проводится по пути конструирования малонеинионных излучателей тепловых потоков, имеющих электрический нагреватель сопротивления. В настоящей главе приводится опыт создания и эксплуатации радиационных печей с интенсивностью излучения до $10^6 \text{ вт}/\text{м}^2$ и высокой контролируемостью (стабильностью) потока, а также пути к дальнейшему повышению уровня излучаемой энергии.

При разработке приборов для измерения локальных тепловых потоков бо́льшой интенсивности мы столкнулись с потребностью в источнике направленного контролируемого теплового потока с интенсивностью, читающей энергию в окислительной среде до $1 \cdot 10^6 \text{ вт/м}^2$. Для получения таких потоков было необходимо создать нагреватель, выдерживающий температуру до 2000°C и способный развить достаточную мощность. В качестве материала излучателя был выбран графит, имеющий хорошие электрические и механические свойства и температуростойкость. Для защиты от воздействия окислительной среды графитовый нагреватель должен помещаться в герметичный кожух с незначительной пропускной способностью неагрессивным газом. Радиационный поток направляется при этом наружу через теплопрозрачное окно в кожухе. Однако мы не располагали данными о теплопрозрачности различных материалов при высоких тепловых потоках и температурах, поэтому было решено создать излучатель для нескольких меньших температур, но с возможностью длительной работы нагревателя в обычной атмосфере. При этом одновременно с основными работами по исследованию датчиков теплового потока необходимо было выяснить поведение широко доступных теплопрозрачных материалов при облучении их мощными тепловыми потоками.

Для защиты графита от окисления решено было покрывать готовый фигурный нагреватель тонким газоплотным слоем карбida кремния по технологии, разработанной Г. Г. Гнесиным. При пребывании такого нагревательного элемента в окислительной атмосфере выгорание углерода и кремния из карбida кремния приводит к образованию тонкой, очень стойкой защитной пленки из оксида кремния — кварца. В местах повреждения пленки процесс окисления возобновляется с регенерацией защитной пленки.

Согласно геометрическим и энергетическим расчетам и технологическим требованиям для получения направленных равномерных по каждому нормальному сечению потоков нагреватель должен иметь форму полусферической чаши с концентрацией энергии в направлении, перпендикулярном к срезу чаши. Для получения равномерного падающего потока на площадке диаметром d диаметр чаши составляет около 3 д.

Была разработана специальная технология изготовления нагревательных элементов. Из электродного графита вытачивается на токарном станке чаша диаметром 160 и толщиной стенки 10–12 мм. Затем чаша с помощью фрезы и несложных приспособлений разрезается на фрезерном или сверлильном станке так, что суммарная длина последовательно расположенных

чаек нагревателя составляет около 2 м, а сечение — около 1 см². На концах нагревателя при вытачивании оставляются два штуцера, в которых нарезается резьба для токопроводящих латунных ниппелей. Готовый элемент (рис. 29) с небольшой перемычкой между штуцерами для сохранения жесткости системы равномерно покрывается карбидом кремния по всей поверхности, за исключением нижней части резьбы, где слой карбида кремния делается более тонким для лучшего кон-

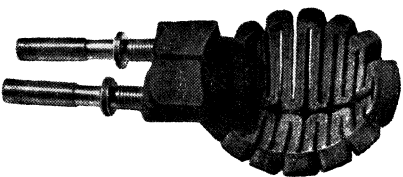


Рис. 29 Нагревательный элемент с токоподводящими ниппелями

такта с ниппелем. Затем перемычка удаляется на корундовом круге и в штуцеры вворачиваются охлаждаемые водой ниппели. Надежность контакта ниппеля с нагревателем обеспечивается дополнительными зазорами в резьбовом соединении оловом с предварительным лужением концов ниппелей.

Нагревательный элемент в холодном состоянии имеет сопротивление около 0,1 ом, поэтому для питания нужен понижающий трансформатор. При прогреве элемента сопротивление его неизначительно падает, вызывая соответствующее увеличение тока

О тражательная изоляция. При выборе тепловой изоляции излучателя, которая снижала бы температуру с 1600–2000 до 20–30°C, были произведены сравнительные расчеты различных ее типов. Ни один из существующих видов обмазок, засыпок и т. п. не удовлетворил требованиям малой инерционности, высокого к. п. д. (отношение тепла, излучаемого в нужном направлении, к подводимой энергии) и оперативности в работе. Достаточно сказать, что составная изоляция из огнестойкой замазки, шамота и солевита при допустимых теплопотерях (до 10^3 вт/м^2) должна иметь толщину около 0,5 м. Выход на стационарный режим при такой изоляции происходил бы в течение 10 ч. Поэтому был выбран новый тип изоляции — холдинговая отражающая изоляция. Красномедные стенки ее были покрыты изнутри тонким (3 мкм) слоем золота с коэффици-

еном отражения около 98% (в настоящее время авторами проводятся работы по изготовлению и испытанию серебряных и индивидуальных зеркал). Охлаждаются стенки проточной водой, снаружи они хромируются и полируются.

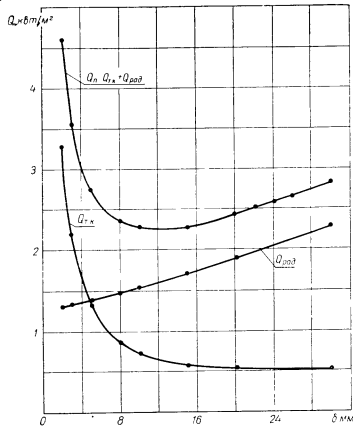


Рис. 30 График для определения оптимального зазора между нагревательным элементом и стенкой

Конструктивно изоляция оформляется в виде полусферы и передней стенки с амброзией в центре. Для выбора оптимального зазора между нагревательным элементом и стенкой изоляции была рассчитана теплопередача в шаровом прослояке с учетом радиации и теплопроводности. Поскольку произведение критериев $Gr \cdot Pr$ в данном случае оказалось достаточно малым (меньше 10^4 при зазоре в 30 мм), передача тепла конвекцией учитывалась в виде эквивалентного коэффициента теплопроводности [63]. Из графика (рис. 30) видно, что оптимальный воздушный зазор между сферами нагревателя и изоляции составляет

ляет 12 мм. Этот размер и был принят при конструировании прибора [15].

Эксплуатация прибора Комбинация графитового нагревательного элемента и безынерционной отражательной изоляции позволяет выходит на стационарный режим в течение 5–7 мин. Время выхода на режим определяется исключительно массивностью графитового нагревателя (толщина 10–12 мм), так как инерционность отражательной изоляции представляет собой величину более чем четвертого порядка малости по сравнению с нагревателем.

Как видно из рис. 31, нагревательный элемент монтируется на текстолитовой доске с помощью токоподводящих ниппелей. На этой же доске вертикально устанавливаются передняя стена и задняя полусфера. Опорами для них служат штуцеры, через которые подводится охлаждающая вода. Через вырез в полусфере проходят бобышки нагревателя с зазором 0,5–1 мм, и передняя стенка касается полусферы во всем зоне высокой температуры.

Нагреватель питается от сварочного трансформатора, который позволяет получить во вторичной обмотке ток до 600 а. Ток плавно регулируется с помощью дросселя.

Поскольку объем охлаждающей системы очень мал, применена блокировка нагрева печи с датчиком в виде манометра с контактом. На рис. 32 показана схема блокировки, а также электрического питания прибора.

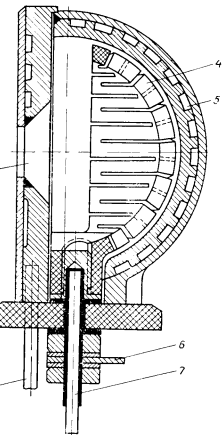


Рис. 31 Нагревательный элемент

1 — подвод воды; 2 — текстолитовая доска;
3 — амброзиевые каналы; 4 — нагревательный элемент;
5 — каналы для воды; 6 — подвод электроэнергии; 7 — подвод воды для охлаждения контактов

Стабильность излучения очень высока и зависит лишь от колебаний напряжения в городской сети. Старение нагревательных элементов невелико — за 200 ч эксплуатации одного элемента повышение сопротивления элемента не превысило 8%

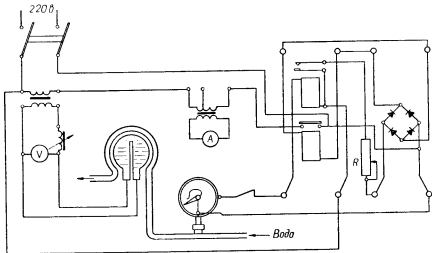


Рис. 32 Схема блокировки и питания излучателя.

Балансовые испытания прибора показали, что при амбразуре диаметром 50 мм к. п. д. излучателя составляет около 25% [25]. При увеличении амбразуры до 100 мм к. п. д. прибора увеличивается до 60%, однако появляется неравномерность потоков у краев амбразуры.

Излучатель уже длительное время эксплуатируется при температурах нагревателя 1400—1600°C. Максимальная температура в опытах составила 1700°C. Температура плавления защитной пленки из окиси кремния равна 1713°C. Однако уже при температурах выше 1680°C защитные свойства пленки начинают резко ухудшаться, видимо, за счет диффузии кислорода. В связи с этим при повышении температуры нагревателя выше 1650°C срок службы элемента начинает резко сокращаться.

Характерная особенность, заслуживающая упоминания, со стоит в ограниченности срока службы элемента при сравнительно низких температурах. Вследствие различия коэффициентов температурного расширения графита и покрывающего силита последний со звоном трескается при снижении температуры элемента до 900—800°C. Если при последующих нагревах температура элемента не превышает 1300°C, количество трещин

при каждом последующем пуске увеличивается и через образовавшиеся от предыдущих пусков трещины начинает выгорать графит. Нагревательный элемент выходит из строя через 5—10 пусков.

Если же довести температуру элемента до 1450—1500°C, то, видимо, вследствие диффузии происходит «заливание» трещин и элемент приобретает способность к длительной эксплуатации в течение 300—500 ч с количеством пусков, превышающим 100. Количество часов непрерывной работы не проверялось и, по-видимому, существенно превышает названную цифру.

Из исследовавшихся теплопрозрачных материалов наилучшим для изготовления окон излучателя считается галит — каменная соль (NaCl) из Артемовского месторождения. Пластинкой толщиной 1 мм была закрыта амбразура излучателя в течение 30 ч высокотемпературных опытов, охлаждаясь она за счет естественной конвекции воздуха. Изменения теплопрозрачности материала, а также оптических и механических свойств обнаружено не было. К сожалению, не удалось получить температурные характеристики, так как замерить температуру пластинки в таких опытах было очень трудно.

Описанный излучатель можно рекомендовать для решения вопросов лабораторного исследования плавки металлов, испытания образцов при нагреве и др. Вертикальное исполнение печи удобно для тарировки датчиков тепловых потоков и высокотемпературных термометров (излучатель обладает всеми свойствами высокотемпературного термостата и модели абсолютно черного тела), а также для обогрева образцов, подвергающихся механическим испытаниям. Небольшие конструктивные доделки позволяют придавать печи наклонное или горизонтальное положение, заполнять пространство печи тем или иным газом. При накрывании навески расплавляемого материала печью можно моделировать процессы в печах с излучающим сводом и т. п.

27. КОМПЕНСАЦИОННЫЙ РАДИОМЕТР

В гл. II упоминалось о разработанном нами компенсационном радиометре для измерения падающей энергии излучения интенсивностью до $2 \cdot 10^4 \text{ вт/м}^2$.

При разработке датчиков более мощных тепловых потоков потребовался соответствующий абсолютный прибор. Оказалось возможным, сохранив преимущества компенсационного метода измерения (высокую чувствительность и точность, а также локальность измерений как в пространстве, так и во времени), повысить верхний предел измерений до $3 \cdot 10^5 \text{ вт/м}^2$ за счет принудительного охлаждения теплоприемников [26, 27].

В основе прибора, головка которого показана на рис. 33, сохранен принцип компенсационного пиргелиометра Ангстрема. Чувствительными элементами служат тонкие пластины из сплава с высоким электрическим сопротивлением. Края пластин зажаты в токоподводящие шины, для того чтобы любую из них можно было нагревать за счет пропускания электрического тока. Пластины расположены с разных сторон головки прибора так, что когда одна из них облучается, другая находится в тени.

В средней части каждой пластины закреплены спаи дифференциальной термопары, измеряющей разность температур пластин. Измеряемый лучистый поток направляется на одну из пластин и обогревает ее. Пластина, расположенная в тени, обогревается за счет пропускания через нее электрического тока.

Тепло, поступившее на пластины в виде лучистой и электрической энергии, отводится от внутренних поверхностей пластин за счет форсированной конвекции воздуха, подаваемого в канал, образованный шинами, со скоростью до 100 м/сек.

При полной симметричной идентичности условий крепления пластин и отвода от них тепла нулевое показание дифференциальной термопары соответствует равенству подводимых к пластинам энергий. Таким образом, количество поглощенной облучаемой пластиной энергии может быть определено по количеству электроэнергии, расходуемой на компенсационный нагрев пластины, расположенной в тени.

Конструкция радиометра показана на рис. 34.

Собственно головка радиометра образуется тремя медными шинами 2 специального профиля. В верхней части шины образуют канал квадратного сечения, постепенно переходящий в нижней части к круглому сечению. Такая конфигурация шин обусловлена тем, что при проверке работы радиометра необходимо менять местами облучаемую и теневую пластины. Благодаря круглому сечению нижней части шин, такая перемена местами пластин легко осуществляется путем поворота всей головки вокруг оси симметрии.

Внутреннее сечение квадратного канала в верхней части головки 22×22 мм, толщина шин 3 мм. Снаружи шины полированы и позолочены с целью уменьшения нагрева их от источ-

ника радиации (коэффициент поглощения наружной поверхности шин около 2%).

Места контакта шин по образующему каналу плотнены изолирующей слюдяной прокладкой толщиной 0,5 мм. Хотя шины не подвержены существенному нагреву, прокладку следует ставить на термоустойчивом клее типа ФГ-9, так как сама прокладка имеет степень черноты, близкую к единице, и может нагреваться с внешней стороны до 500–600°C. В верхней части в шинах прорезаны окна 1 для радиометрических пластин.

Радиометрические пластины представляют собой никромовые полосы толщиной 0,2 и шириной 8 мм. Длина окна под пластину равна 16 мм (относительная длина пластины 80 мм) и выбрана из компромиссных условий минимальных размеров головки при достаточно малом влиянии мест заделки концов пластины на термические условия работы средней части, где крепятся головки дифференциальной термопары.

Концы радиометрических пластин заправлены в прорезанные в шинах пазы и тщательно вязаны. Излишки припоя на пластинах могут привести к неидентичности условий и поэтому снимаются сначала механически, а затем электролитическим растворением. Наружные стороны пластин тщательно покрываются тонким слоем трех процентного раствора голландской сажи в поливиниловом термостоиком лаке.

В нижней части чедные шины крепятся между внутренней и наружной шинами втулками 3 и 6. На внутреннюю втулку 3 напрессована изоляционная эбонитовая втулка,

Рис. 33. Головка компенсационного радиометра

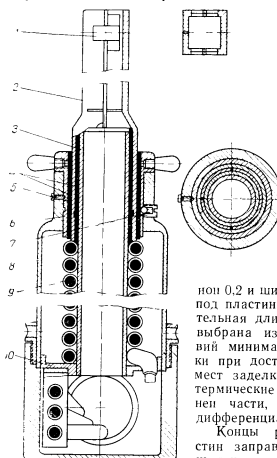


Рис. 34. Компенсационный радиометр

В основе прибора, головка которого показана на рис. 33, сохранен принцип компенсационного пиргелиометра Ангстрема. Чувствительными элементами служат тонкие пластины из сплава с высоким электрическим сопротивлением. Края пластин зажаты в токоподводящие шины, для того чтобы любую из них можно было нагревать за счет пропускания электрического тока. Пластины расположены с разных сторон головки прибора так, что когда одна из них облучается, другая находится в тени.

В средней части каждой пластины закреплены спаренные дифференциальные термопары, измеряющие разность температур пластин. Измеряемый лучистый поток направляется на одну из пластин и обогревает ее. Пластина, расположенная в тени, обогревается за счет пропускания через нее электрического тока.

Тепло, поступившее на пластины в виде лучистой и электрической энергии, отводится от внутренних поверхностей пластин за счет форсированной конвекции воздуха, подаваемого в канал, образованный шинами, со скоростью до 100 м/сек.

При полной симметричной идентичности условий крепления пластин и отвода от них тепла нулевое показание дифференциальной термопары соответствует равенству подводимых к пластинам энергий. Таким образом, количество поглощенной облучаемой пластиной энергии может быть определено по количеству электроэнергии, расходуемой на компенсационный нагрев пластины, расположенной в тени.

Конструкция радиометра показана на рис. 34.

Собственно головка радиометра образуется тремя медными шинами 2 специального профиля. В верхней части шины образуют канал квадратного сечения, постепенно переходящий в нижней части в круглому сечению. Такая конфигурация шин обусловлена тем, что при проверке работы радиометра необходимо менять местами облучаемую и теневую пластины. Благодаря круглому сечению нижней части шин, такая перемена местами пластин легко осуществляется путем поворота всей головки вокруг оси симметрии.

Внутреннее сечение квадратного канала в верхней части головки 22×22 мм., толщина шин 3 мм. Снаружи шины покрыты и позолочены с целью уменьшения нагрева их от источ-

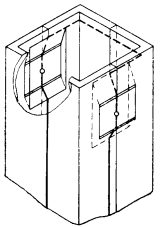


Рис. 33 Головка компенсационного радиометра

ниха радиации (коэффициент поглощения наружной поверхности шин около 2%)

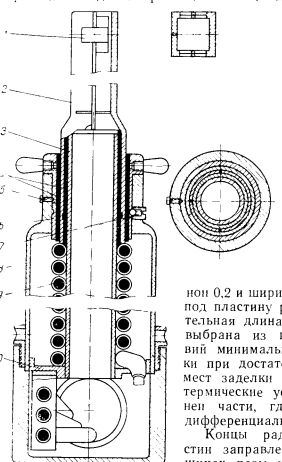
Места контакта шин по образующему каналу уплотнены изолирующей слюдяной прокладкой толщиной 0,5 мм. Хотя шины и не подвержены существенному нагреву, прокладку следует ставить на термоустойчивом клее типа ФГ-9, так как сама прокладка имеет степень черноты, близкую к единице, и может нагреваться с внешней стороны до 500–600°С. В верхней части в шинах прорезаны окна 1 для радиометрических пластин.

Радиометрические пластины представляют собой никромовые полосы толщиной 0,2 и шириной 8 мм. Длина окна под пластину равна 16 мм (относительная длина пластины 80 мм) и выбрана из компромиссных условий минимальных размеров головки при достаточно малом влиянии мест заделки концов пластины на термические условия работы средней части, где крепятся головки дифференциальной термопары.

Концы радиометрических пластин направлены в прорезанные в шинах пазы и тщательно влиты. Излишки припоя на пластинах могут привести к искажению условий и поэтому снимаются сначала механически, а затем электролитическим растворением. Наружные стороны пластин тщательно покрываются тонким слоем трехпроцентного раствора голландской сажи в поливиниловом термостойком лаке.

В нижней части чистые шины зажимаются между внутренней и наружной цилиндрическими втулками 3 и 6. На внутреннюю втулку 3 напрессована изоляционная эbonитовая втулка

Рис. 34 Компенсационный радиометр



4, на которой предусмотрена выступающая впадина в цилиндрической части шин.

В наружную обойму 6 запрессована вторая изоляционная втулка. В сборе шины и втулки 3, 4, 6 образуют единую систему, способную поворачиваться вокруг собственной оси симметрии на верхней опоре в несущем стакане 8 и нижней опоре в центрирующем диске 10.

Винт 5 предназначен для исключения возможных продольных перемещений ограничения поворота обоймы 6. Шарнировый фиксатор 7 фиксирует поворотную систему деталей 3, 4, 6 в положениях, отличающихся друг от друга поворотом на $\frac{\pi}{2}$ рад каждое.

Несущий стакан 8 прижимается к нижней части корпуса при помощи накидной гайки. Радиометр в сборе устанавливается на кронштейне-координатнике.

Подвод электроэнергии для питания компенсационного нагрева теневой пластины осуществляется посредством трех медных проводов большого сечения 9, которые внутри стакана 8 выложены по винтовой линии таким образом, что каждый из проводов делает не менее двух витков. Такая прокладка гибких проводов позволяет осуществлять непрерывное питание головы радиометра за счет только упругих деформаций проводов, обходясь без крайне нежелательных в данном случае щеточных переходов. Трехпроводная система электропитания позволяет осуществить любую комбинацию нагрева радиометрических пластин.

Радиометрическая пластина — наиболее ответственный элемент прибора. В связи с этим все конструктивные размеры собственно пластины и сопрягаемых деталей были выбраны после обстоятельных исследований.

В принципе при условии строгой идентичности в изготовление пластины единственным источником погрешности метода может служить лишь то обстоятельство, что обогрев измерительной пластины происходит через поверхность, в то время как компенсационная пластина нагревается электрическим током во всем объеме. Отводится тепло в основном с внутренней обдуваемой стороны пластины. При этом тепловой поток измерительной пластины преодолевает цепочку термических сопротивлений: чернищее покрытие, полное сопротивление пластины, теплоотдачу из внутренней обдуваемой поверхности.

Тепловой поток компенсационной пластины преодолевает лишь около половины сопротивления пластины и теплоотдачу на обдуваемой поверхности. Для получения достаточной идентичности условий работы пластин термическое сопротивление чернищего покрытия и собственно пластины должно быть члено по сравнению с сопротивлением конвективного отвода тепла

Экспериментальные определения показали, что при максимальном обдуве коэффициент теплоотдачи с внутренней стороны $a = 780 \text{ вт}/\text{м}^2 \cdot \text{град}$

Изложенное выше требование к термическим сопротивлениям можно записать следующим образом.

$$\frac{\lambda_{4, n}}{\lambda_{1, n}} = \frac{1}{2} \frac{\delta_{n1}}{\delta_{nn}} \leq \frac{k_{n, n}}{\sigma}, \quad (31)$$

где $k_{n, n}$ — допустимый коэффициент неидентичности условий работы пластины радиометра, δ_{n1} и $\lambda_{n, n}$ — соответственно толщина и коэффициент теплопроводности чернищего покрытия, δ_{nn} и λ_{nn} — толщина и коэффициент теплопроводности пластины.

Экспериментально было установлено, что по достижении толщины чернищего покрытия 0,01 мм дальнейшее ее увеличение не дает прироста степени черноты покрытия. Более тонкие пленки покрытия оказываются в какой-то мере теплопрозрачными.

Если принять допустимую величину коэффициента $k_{n, n} = 0,005$ и толщину чернищего покрытия 0,01 мм при $\lambda_{n, n} = 2 \text{ вт}/\text{м} \cdot \text{град}$, то приведенному выше условию удовлетворяют никромовые пластины, толщина которых не превышает 0,5 мм. Это относится к идеально изготовленному радиометру со строго симметричными пластинами. При практическом осуществлении прибора, естественно, неизбежны некоторые отклонения, приводящие к нарушению симметрии. В связи с этим конструктивные элементы прибора необходимо выбирать таким образом, чтобы влияние допущенных погрешностей на проводимые измерения было минимальным.

Наиболее существенным может оказаться влияние несимметричности заделки концов пластины, которое сказывается в том, что вблизи заделки существенная часть энергии за счет теплопроводности отдается в токоподводящую шину. Поскольку длина пластины ограничена, влияние заделки концов распространяется до места крепления головок дифференциальной термопары. При этом возможная неидентичность крепления концов пластинки приведет к фиктивному небалансу при измерении. Ниже приведено исследование области влияния заделок на температурное поле пластины.

В физической постановке задачи пластина представляет собой равномерно обогреваемыи стержень с отводом тепла с поверхности и за счет теплопроводности — в заделки. Дифференциальное уравнение теплопроводности для такого случая имеет следующий вид.

$$\frac{d}{dx} \left(F_1 \frac{d\varphi}{dx} \right) + \Psi - P \sigma t = 0, \quad (32)$$

где x — продольная координата, F — площадь поперечного сечения пластины; λ — теплопроводность пластины; t — текущая избыточная температура. W — энергия, подводимая к единице длины за счет радиационного или электрического нагрева, P — часть периметра стержня, с которым снимается тепло с интенсивностью теплоотдачи a .

При единичной ширине пластины и отводе тепла с одной стороны $F=0$, а $P=1$. Решение уравнения (3.2) при граничных условиях

$$x=0 \text{ и } x=l, \quad t=0,$$

$$x=\frac{l}{2}, \quad \frac{dt}{dx}=0,$$

приведенное к безразмерным единицам, имеет следующий вид:

$$t=\frac{W}{\alpha} \left[1 - \frac{1}{e^{VBi}} (e^{VBi} \bar{x} - e^{VBi(1-\bar{x})}) \right], \quad (3.3)$$

где Bi — приведенный критерий Био; $\bar{x}=\frac{x}{l}$.

Для середины пластины, где закрепляются головки дифференциальной термопары ($\bar{x}=0,5$), температура является функцией только Bi .

$$t=\frac{W}{\alpha} [1-f(Bi)]. \quad (3.4)$$

Функция $f(Bi)$ представляет собой отношение температуры в середине рассматриваемой пластины к температуре в бесконечно длинной пластине, работающей в аналогичных условиях, на большом расстоянии от места заделки, где заделка уже не оказывает никакого влияния на температурное поле. Таким образом, функция $f(Bi)$ определяет степень влияния заделки на температуру в середине пластины радиометра.

На рис. 35 приведен график зависимости функции $f(Bi)$ от величины Bi . Из графика видно, что при $Bi > 20$ влияние заделки не превышает 20%, т. е. возможные из-за несимметричности заделки погрешности уменьшаются более чем в пять раз.

На основании графика (рис. 35) и согласно конструктивным и технологическим возможностям значение Bi было выбрано равным 25, что при выбранных размерах пластины ($l=16 \text{ мм}$) соответствует толщине пластины 0,2 мм .

Источником погрешностей измерений может быть также неидентичность в условиях закрепления головок дифференциальной термопары. Дифференциальные термопары изготавливаются из хромель-алюминия толщиной 0,15 мм . Сварка головок термопар производится в тигле, заполненном графитным порошком. После отжига место спая зачищается и термоэлектроды выти-

гаются так, чтобы один из них представлял собой прямое продолжение второго. Затем место спая прокатывается наильца с доведением толщины термоэлектродов и спая до 0,03 мм .

В процессе прокатки термоэлектроды необходимо несколько раз отжигать. Полученная таким образом плоская дифференциальная термопара при помощи специальной струбцины наклеивается на радиометрическую пластину. При наклеивании спая термопары и термоэлектроды обкладывются с обеих сторон слюдяными чешуйками толщиной около 0,01 мм . Склейивание производится на термостойких лаках ФГ-9 или ФЭБС-Л-302.

Практически невозможно подобрать очень тонкие (0,01 мм) слюдяные пластины одинаковой толщины. Поэтому температуры головок термопары могут отличаться от температуры пластины неодинаково, что неизбежно повлечет к погрешности измерений. В таких условиях термическое сопротивление дополнительной трехслойной стенки (слюда — термопара — слюда), накладываемой на пластину радиометра, должно быть мало по сравнению с термическим сопротивлением при отдаче тепла от пластины к охлаждающему потоку. Кроме того, тепло может растигаться от спая по термоэлектроду, вызывая неравномерное снижение температуры спая.

Анализ термических сопротивлений дополнительной трехслойной стенки приводит к следующему формуле

$$Bi = \alpha \sum \frac{\delta_i}{k_{in,n}} \leq k_{in,n}, \quad (3.5)$$

где δ_i и $k_{in,n}$ — соответственно толщина и коэффициент теплопроводности слоев дополнительной стенки.

При принятой технологии наклеивания при помощи специальных струбцин термическое сопротивлением слоев kleя толщина их может быть оценена в доли микрона). Можно предположить, что коэффициент неидентичности $k_{in,n}$, вероятно, не должен превышать 5%, т. е. $k_{in,n} \leq 0,05$.

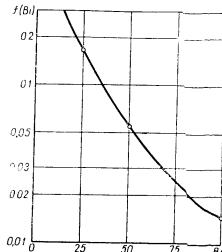


Рис. 35. График зависимости функции $f(Bi)$ от величины Bi

Для уменьшения оттока тепла через термоэлектроды последнее необходимо располагать по изотермической линии, т.е. в поперечном направлении относительно пластины радиометра. В этом случае к плоскому термоэлектроду полностью применимы все соображения, на основании которых получены уравнение (3.3) и график (рис. 35), с той лишь разницей, что под длиной термоэлектрода l в данном случае необходимо понимать ширину пластины радиометра.

Всем изложенным требованиям удовлетворяют выбранная толщина ленты термоэлектродов $\delta_s = 0,03 \text{ мм}$ и толщина изолирующих слюдяных пластин, равная $0,01 \text{ мм}$.

При конструировании прибора в соответствии с приведенными выше соображениями, связанными с неидентичностью, и тщательным изготовлением прибора компенсация радиационной энергии, поглощенной измерительной пластиной, может быть произведена с достаточно высокой точностью.

Следует, однако, иметь в виду, что черненная поверхность пластины воспринимает не всю энергию радиационного потока. Степень черноты покрытия определяется с точностью до 2% ($\varepsilon = 0,96 \pm 0,98$), что необходимо учитывать при определении абсолютной величины радиационного потока.

При определении радиационных потоков, поглощаемых какой-либо поверхностью, черненной таким же образом, как и пластины радиометра, погрешность измерений не превышает 1–3%.

Компенсационная мощность определяется путем измерения силы тока и падения напряжения на компенсационной пластине. Сила тока измеряется по падению напряжения на последовательно включенных калиброванных шунтах. Съем падения напряжения производится в непосредственной близости к местам впада пластин. Падение напряжения измеряется компенсационным методом при помощи потенциометра Р-307 с нуль-гальванометром М-195/2.

Правомочность съема потенциалов с медных шин была проверена опытами с одновременным электрообогревом пластин и снятием падения напряжения при помощи специальных электрощупов. Рабочим элементом щупа являются две острые каленые иглы, прокалывающие покрытие на радиометрических пластинах. Расстояние между острями игл фиксируется и измерено с точностью до $0,01 \text{ мм}$. В проверочных опытах иглы щупов контактировали с металлом радиометрических пластин в точках, симметричных относительно спая термопары, по линии, параллельной длиной стороне пластины. Измеренная мощность при этом относилась к единице поверхности пластины, равной $b l'$, где b — ширина пластины, l' — расстояние между иглами щупа.

В обоих случаях измерения съемными щупами и стационарными медными проводниками расхождение в удельной мощности, выделяемой при балансе по дифференциальной термопаре, не превышало 1%. Поэтому тепловой поток q определялся по формуле

$$q = \frac{W}{f}, \quad (3.6)$$

где W — мощность электрического нагрева компенсационной пластины, W ; $f = bl$ или $f = bl'$ — площадь пластины, м^2 .

Пластины радиометра питаются постоянным током от выпрямительной установки (рис. 36). Для сглаживания мгновенных значений выпрямленного тока выпрямляющие элементы разбиты на три секции, питаемые от индивидуальных трансформаторов.

В каждую секцию включены соответственно активное, емкостное или индуктивное сопротивления, подобранные таким образом, чтобы обеспечить углы сдвига фаз около $\frac{\pi}{3}$ рад, что дает наибольшую равномерность тока на выходе.

Плавное регулирование силы тока через пластины производится путем изменения напряжения переменного тока, для чего были переконструированы автотрансформаторы типа РАТ-0,35.

28. ИНЕРЦИОННЫЙ РАДИОМЕТР ДЛЯ БОЛЬШИХ ПОТОКОВ

Несмотря на тщательность расчета, изготовления и проверки компенсационного радиометра, при градуировке датчиков теплового потока желательно было иметь измерения падающих потоков лучистой энергии также другим абсолютным прибором. Кроме цели дублировки измерений, при создании нового прибора мы руководствовались необходимостью проверки работы датчиков при отводе от них тепла теплопроводностью к массивному теплостоку (при градуировке с компенсационным прибором теплоотвод осуществлялся принудительным потоком воздуха). Поэтому было решено построить прибор инерционного типа [24].

Инерционный калориметр представляет собой массивный цилиндр, один торец которого подвергается облучению, другой

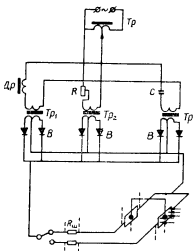


Рис. 36 Электрическая схема компенсационного радиометра

Торец и боковая поверхность — тщательно изолированы. Благодаря такому устройству цилиндр можно рассматривать как часть плоско-параллельной пластины. Тепловой поток определяется по разности показаний термопар, расположенных по оси торца на разном расстоянии от облучаемой поверхности [59], или по приросту показаний термопары, расположенной в центре блока, за определенный промежуток времени. Последний способ измерения дублировался показаниями термопары, спаянной с торцом располагалась на поверхности, отстоящей от обогреваемого торца на расстоянии $x = \frac{\sqrt{3}}{3} h$, где h — высота цилиндра.

Согласно выводам [52, § 5], временнное изменение температуры τ_1 на поверхности тождественно изменению средненеинтегральной температуры всего тела при постоянном тепловом потоке к поверхности.

Мерный цилиндр был выполнен из красной меди, размеры его $50 \times 50 \text{ мм}$. Термопары хромель-алюминевые с толщиной электродов $0,15 \text{ мм}$ располагались в блоке с точностью заделки спаев около $0,5 \text{ мм}$ и впаявались на олове. В центре обогреваемого торца заподлицо с поверхностью задельвался контрольный датчик теплового потока. В связи с тем, что термическое сопротивление блока невелико, точность заделки спаев термопар особой роли не играет.

Регистрация температур (всего было заделано шесть термопар) блока производится с помощью 12-точечного электронного потенциометра ЭПП-09 с временем цикла измерений 5 сек , а для отдельных точек — с помощью одноточечного потенциометра «Непрерывной записи типа КВТ1/ЕН.

Борьба с оттоком тепла от блока производится следующим образом. Боковая поверхность и задний торец блока тщательно герметизируются и хромируются. Вокруг блока размещается алюминиевая рюмка с зазором в 1 мм и толщиной стенки менее 1 мм . От воздействия облучения рюмка скрыта кольцевым выступом на блоке высотой 2 мм . Внутренняя и наружная поверхности рюмки полированы. С помощью шести стальных струн рюмка укрепляется на кольце диаметром 180 мм (рис. 37). Медный блок подвешивается в центре рюмки с помощью одной иглы в форме рюмки и трех струн, идущих к тому же кольцу. Электроды термопар и датчика отводятся через ножку рюмки.

Предварительно были использованы оба указанные выше способа подсчета теплового потока по показаниям одной или двух термопар, давшие хорошее совпадение результатов. Пренебрежимо малым оказалось различие в тепловых потоках, подсчитанных по показаниям термопар, спаянных на поверхностях на расстоянии $x_1 = \frac{\sqrt{3}}{3} h$ и $x_2 = \frac{h}{2}$.

от обогреваемого торца. В дальнейшем для определения повышение внутренней энергии блока мы пользовались показаниями центральной термопары. При конструировании прибора не удалось обеспечить оптимальный воздушный зазор между блоком и стенкой рюмки, так как это привело бы к чрезмерному увели-

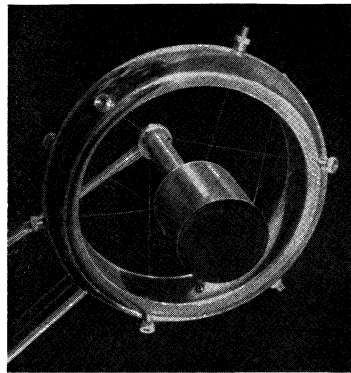


Рис. 37 Инерционный радиометр

чению заплечика на блоке, скрывающего от облучения рюмку, и потерю тепла от этого заплечика. Поэтому отвод тепла через воздушную прослойку и от передней грани блока первоначально измерялся при каждом режиме теплового потока. Для этой цели наряду с кривой роста температуры блока записывалась кривая его охлаждения после внезапного прекращения облучения. Для определения тепловых потерь касательную к температурной кривой проводили в точке, соответствующей температуре, при которой определялся тепловой поток нагреванием (рис. 38). Удельный тепловой поток определялся из соотношения

$$q = \frac{C}{F} (t'_1 + t'_2), \quad (37)$$

где C — теплоемкость блока $C = Gc$; G — вес блока; c — удельная теплоемкость (определялась по литературным данным), F — воспринимающая поток поверхность; t'_1 — производная температуры по времени в точке t_1 ; $|t'_2|$ — абсолютная величина производной в точке t_2 ; $t_2 = -t_1$.

В опытах доля теплопотерь составила не более 10% воспринимаемой энергии, т. е.

$$|t'_2| \leq 0,1t'_1.$$

Для взаимной проверки инерционный радиометр располагался на координатнике

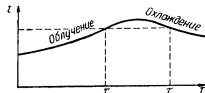


Рис. 38 График нагрева и охлаждения блока инерционного радиометра

запуска печи. Фиксация обеспечивала неизменность расстояния от печи при рабочем режиме печи и переменах измерительных приборов. Приемные поверхности приборов одинаково чернелись для обеспечения идентичности степеней черноты.

Расхождение в полученных значениях удельного теплового потока при различных режимах составило 2—5%. Этую же величину можно представить как погрешность измерений инерционным радиометром, поэтому совпадение результатов вполне удовлетворительно.

Приборы компенсационного и инерционного типов могут применяться при измерениях тепловых потоков соответственно до $3 \cdot 10^5$ и $6 \cdot 10^6 \text{ вт}/\text{м}^2$ и таком предел можно увеличить в два-три раза при несущественных изменениях в конструкции и системе отсчета и измерения.

Чувствительность этих приборов при максимальном потоке можно оценить в 100 и $500 \text{ вт}/\text{м}^2$.

ГЛАВА IV

ДАТЧИКИ ТЕПЛОВОГО ПОТОКА

29. ВОПРОСЫ ГОМОГЕННОСТИ. ИСТОЧНИКИ ПОМЕХ

Одиночный датчик теплового потока представляет собой своеобразную сплющенную дифференциальную термопару, промежуточный термозлектрод которой служит дополнительной

стенкой (рис. 39) При расположении датчика по изотермической поверхности исследуемого тела на гранях промежуточного слоя возникает разность температур, пропорциональная тепловому потоку. Эта разность температур благодаря контакту с крайними электродами вызывает соответствующую э. д. с., которая с помощью съемных проводников подается на усилительный, коммутирующий или измерительный прибор. Малая толщина и высокая теплопроводность промежуточного термозлектрода обуславливают низкую энергетическую эффективность такого «термозлектроГенератора». Между тем температура, в которой работает датчик, не зависит от величины пронизывающего потока и в отдельных случаях может существенно отличаться от температуры среды, в которой находятся измерительные и усилительные приборы. При этом провода, передающие сигнал датчика, оказываются под разностью температур, величина которой на не сколько порядков превосходит разность температур на среднем слое датчика. В этом существенное отличие условий работы датчика от условий, в которых работают обычные термопары, в отношении гомогенности материала термозлектролов. Поэтому нам пришлось с особым вниманием отнести к вопросам гомогенности материалов датчика и в особенности токосъемных проводников, а также к другим источникам возмущений. Для этого необходимо было обратиться к работам, проводившимся на заре исследования термоэлектрических явлений и в современном учении о термоэлектричестве с его тенденциями максимального выхода по потоку почти не упоминаемым. Приведем краткую сводку их по капитальному курсу физики О. Д. Хвольсона [93].

В 1823 г. Зеебек открыл, что закон Вольта (в замкнутой цепи, состоящей только из проводников первого рода, сумма э. д. с. равна нулю) перестает быть верным, когда спаи, т. е. места соединения разнородных частей цепи, находятся при различных температурах. Этим было положено начало учению о термоэлектричестве.

Пельтье в 1834 г. нашел, что явление Зеебека обратимо, т. е. при пропускании электрического тока через место спая двух различных металлов он охлаждается или нагревается в зависимости от направления тока, охлаждение наступает при течении тока в том же направлении, что и термоток при нагревании спая Ленц с помощью этого эффекта заморозил воду, пропуская

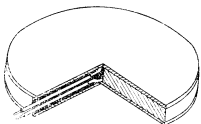


Рис. 39 Одиночный датчик теплового потока

ток через сплав висмута и сурьмы, таким образом построив прообраз термоэлектрохододилника.

Комбинируя между собой различные металлы, Зеебек нашел, что их можно расположить в термоэлектрический ряд, и чем дальше друг от друга в этом ряду расположены металлы, тем большую термо-э. д. с. будут они иметь в паре между собой. Сплавы также могут быть расположены в этом ряду, однако не между теми металлами, из которых они составлены. Наличие малых примесей в металле может поменять его место в термоэлектрическом ряду. Термоэлектрические явления могут наблюдаться и в цепи, составленной из одного химически чистого проводника.

Томсон теоретически и экспериментально показал (1856), что в неравномерно нагретом однородном проводнике под влиянием электрического тока происходит перераспределение температуры проводника. К этому времени уже был известен так называемый закон Магнуса (1851 г.), что в замкнутой цепи, состоящей из одного металла, $E=0$, каково бы ни было распределение температур вдоль цепи. Иначе говоря, в цепи из двух металлов E зависит только от t_1 и t_2 и вовсе не зависит от распределения температур вдоль этих металлов. Однако E может возникать в цепи химически однородной, части которой отличаются друг от друга только физическим состоянием. Уже Зеебеку было известно, что закаленные металлы отрицательнее тех же металлов мягких. Положение металла в термоэлектрическом ряду может меняться также под влиянием чисто механических воздействий (растяжения, сжатия и т. п.). Бахметьев проделал простой опыт, завязав на проволоке узел и, нагревая место узла, получил при этом термоэлектрический ток.

Помещение металла в магнитное поле, протекание по нему электрического тока также меняют его место в ряду.

Наконец, соприкосновение одинаковых металлов, находящихся при различных температурах, может вызвать термоэлектрические токи.

В 1918 г. появилось исследование Бенедикса, который пришел к выводу, что закон Магнуса неверен и что в однородной цепи E не равно нулю, т. е. ток появляется, когда в этой цепи находится несимметрично распределенные падения температуры.

В своей работе по определению гомогенности материала мы не ставили задачи проверки выводов Бенедикса, так как не располагали химически чистыми материалами. Мы подходили к этой работе с позиции возможности использования того или иного материала для токосъемных проводников датчиков теплового потока, вдоль которых в различных практических случаях работы датчиков возможны значительные перепады температур.

Изготовленный датчик тарировался в паре с усилителем или с гальванометром. Затем входные клеммы того же прибора

закорачивались достаточно длинным куском материала съемных проводников. Проволока прогревалась электрической печью в различных частях, при этом фиксировались показания прибора. Выяснилось, например, что прогрев различных образцов алюминевой и хромелевой проволоки до 200–300°C с перемещением нагревателя вдоль проволоки привел к показаниям прибора, по величине соответствующим тепловым потокам на хромель-алюминевом датчике гальванической длины 0,5 мм порядка (3–5) $\times 10^{-3}$ ат/м² [22]. В связи с этим пришлось прекратить испытания уже изготовленных хромель-алюминевых датчиков и отказаться от их дальнейшего изготовления только из-за отсутствия высокомогенных хромеля и алюминия. Неприменимыми для изготовления съемных проводников одиночных датчиков оказались также проволоки из других сплавов (константан, копель).

При проверке на гомогенность медных стандартных проводников сигнал от несимметричного нагрева до 100°C соответствовал показаниям медно-константанового датчика толщиной 1 мм при прохождении теплового потока порядка 20–30 ат/м². Во время этих испытаний легко регистрировалось влияние магнитного поля Земли при передвижении петли закорачивающей прибора. Поэтому в дальнейшей работе по проверке на гомогенность (а также испытания датчиков) производились с бифильро скрученными проводниками. Указанные выше сигналы для метки составляют тысячные доли процента от шкалы прибора по тепловому потоку, поэтому его следует принимать во внимание при измерениях одиночными датчиками лишь малых тепловых потоков. Кроме меди, успешно прошли проверку на гомогенность только платина (99,99%) и серебро (99,9%).

С материалом промежуточного термоэлемента дело обстоит значительно проще в силу самих условий работы. В связи с тем, что требования к точности измерений температур при помощи термопар значительно выше, чем при измерении тепловых потоков, материалы, по гомогенности приемлемые для термопар, подходят для промежуточного слоя датчика.

При эксплуатации датчиков следует остерегаться перечисленных выше причин возникновения паразитных термо-э. д. с. механических напряжений, отжига части проводника, мощных магнитных полей и т. п. Если же измерения в таких условиях неизбежны, то необходимо всякий раз проводить специальное исследование природы возникновения помех и предельных возможных их величин.

30. СПОСОБЫ ИЗГОТОВЛЕНИЯ ДАТЧИКОВ

При проведении исследования по созданию одиночных датчиков были испытаны следующие способы изготовления датчиков: гальваническое покрытие; конденсирование металлов в вакууме.

кууме; электроискровое покрытие; металлизация распылением (шоопирование); пайка; различные виды сварки.

Ниже кратко описаны все испробованные способы, включая и те, которые оказались малоперспективными.

Гальваническое покрытие хорошо зарекомендовало себя как весьма прочное и надежное. Поэтому изготовление датчика путем последовательного наложения гальванических покрытий не вызывает технологических возражений. Практические приемы получения покрытий, рецептура электролитов и режимы осаждения подробно изложены в работах [10, 31]. Единственным недостатком гальванического покрытия является то, что сравнительно легко могут быть получены только покрытия из чистых металлов.

Получить покрытия из сплавов удается лишь в отдельных случаях, а для таких сплавов, как копель или алюминий, вообще невозможно. Те же металлы и сплавы, которые легко осаждаются гальванически, обладают сравнительно большой теплопроводностью и малой термо-э. д. с. Поэтому чисто гальванические датчики можно рекомендовать только для измерения больших тепловых потоков. Комбинированные датчики с гальваническим покрытием крайних слоев на штампованные заготовку среднего слоя применялись нами весьма успешно.

Проведенная попытка получения гальваническим способом промежуточного покрытия из полупроводниковых материалов FeS_2 и NiS не увенчалась успехом вследствие низкой механической прочности этих покрытий.

Конденсирование металлов в вакууме находит довольно широкое применение в технике физического эксперимента. Описание методики можно найти в учебных пособиях по экспериментальной физике, например [81].

Для изготовления рядовых датчиков этот способ не подходит из-за очень малых скоростей нанесения покрытия и громоздкости технологических приемов.

Конденсирование в вакууме в чистом виде или в комбинации с гальванопластикой может найти применение при изготовлении полупроводниковых датчиков, толщина которых может измеряться микронами.

Способы получения конденсированных сплавов были разработаны академиком С. А. Векшинским и изложены им в монографии [17].

Электроискровое покрытие для изготовления трех слоев датчика принципиально неприменимо. Связано это с тем, что при нанесении последующего слоя искра выжигает примерно такое же количество вещества предыдущего слоя. Этот метод можно применять лишь при нанесении крайних слоев.

Металлизация распылением (шоопирование) представляет собой весьма эффективный способ изготовления датчиков. Этим способом может быть нанесено покрытие любым встречающимся в виде проволоки материалом. Принципиально метод покрытия состоит в том, что между двумя сходящимися проволоками, благодаря подаваемому напряжению, зажигается дуга, оплавляющая материал проволоки. Проволоки сходятся в устье сопла, через которое с большой скоростью протекает воздух или инертный газ. Струя газа срывает частички расплавленного металла и с такой же скоростью еще в размягченном состоянии наносит их на покрываемую поверхность. Для создания четко очерченных границ датчика поверхность покрывается жестким экраном с отверстием, по форме и размерам соответствующим датчику. При изготовлении датчиков способом металлизации мы воспользовались стандартным пистолетом для металлизации типа ЛК-33.

Более подробные сведения о технике металлизации распылением можно найти в работе [44].

На основании накопленного опыта по изготовлению датчиков металлизации можно рекомендовать следующую технологию изготовления. В связи с дорогоизнотой платины и плохой склонностью серебра и меди к распылению металлизацию приходится применять только при нанесении среднего (основного) слоя датчика.

Крайние слои наносятся гальваническим способом. После нанесения первого слоя поверхность высушивается, аккуратно закрывается защитным экраном и равномерно покрывается промежуточным слоем при помощи металлизационного пистолета. Последующее гальваническое покрытие третьим слоем не представляет трудностей и производится в обычно принятом порядке. При нанесении третьего слоя необходимо устранить возможность закорачивания крайних слоев между собой. Для этого экранирующая обмазка при гальванизации должна покрывать края среднего слоя, нанесенного путем металлизации.

Пайка — наиболее доступный способ изготовления датчиков с рабочей температурой до 500°C. В связи с низким температурным уровнем крайние слои изготавливаются медными или серебряными. В качестве материала для среднего слоя наиболее подходят константан и копель. Копель обладает несколько более высокой термо-э. д. с., но промышленностью изготавливается только в виде проволоки. Поэтому для изготовления копелевых датчиков мы применили зуботехнические вальцы, позволяющие раскатывать проволоку в ленту. Константан же изготавливается промышленностью в виде лент голщиной от 0,1 мм и более чем достаточной ширины.

Выбор припоя проводится в зависимости от рабочих температур по ГОСТ 1499—54, 1534—42 и 8190—56.

В том случае, когда крепление датчика на рабочем месте предусматривается также при помощи припоя, температуру плавления последнего следует выбирать на 60–80°C ниже максимальной рабочей температуры. Температуру плавления припоя для спая пластины датчика следует выбирать на 30–70°C выше температуры плавления припоя для крепления датчика на месте.

Применение наиболее легкоплавких по еще допустимых для работы припоею позволяет при прочих равных условиях получить высококачественный датчик с оставлением между слоями датчика минимального количества припоя.

При выборе припоя необходимо обращать внимание на то, чтобы он не имел обратной, по сравнению с промежуточным слоем датчика, термоэлектрической полярности, так как это поведет к снижению эффективности датчика. По этому для константанных и ковелевых датчиков нежелательны сурьмянистые припой. Все оловянно-свинцовые, медно-цинковые и серебряные припой термоэлектрически почти нейтральны относительно меди и серебра, и ими можно пользоваться, не опасаясь ухудшения свойств датчиков.

Технология крайне проста: заготовленные пластины по подлежащим спаиванию поверхностям ложатся, затем нагреваются до температуры плавления припоя и сжимаются в нагретом состоянии с последующим охлаждением.

Сваркой изготавливаются высокотемпературные датчики. Излагающая ниже технология высокочастотной сварки была разработана применительно к изготовлению съемных высокотемпературных датчиков. В принципе технология представляет собой организацию кузнецкой сварки трех лепестков, образующих датчик.

Для предохранения довольно тонких деталей датчика от окисления вся оснастка вместе с заготовками деталей датчика помещается в герметичный сосуд заполненный неагрессивным газом. Детали датчика нагреваются при помощи высокочастотного индуктора, внутри которого помещается сосуд со сжимающими кулачками и заготовками датчика. Оснастка для сварки датчиков изображена на рис. 40.

Устройство для сварки состоит из сжимающих колодок 4 и 10, изготовленных из асбестоцементной массы, на которых крепят-

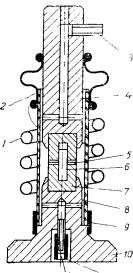


Рис. 40. Оснастка для сварки датчика токами высокой частоты

ся шамотные, динасовые или кварцевые цилиндрические кулачки 7. Для взаимной центровки в кулачках 7 имеются центральные отверстия, в которые входит направляющая фарфоровая трубка 6. Перечисленные выше детали собираются внутри стеклянного цилиндра 8, позволяющего визуально контролировать процесс. Внутренняя полость цилиндра 8 уплотняется резиновыми манжетами 2 и 9. Неагрессивный газ подается через никель 3 и сверления в колодке 4. Продувка происходит через сверления в колодке 10 и никель 11 с невозвратным резиновым клапаном 12. На рисунке также показаны заготовки датчика 5 и высокочастотный индуктор 1. При частоте питания индуктора 170–250 кГц оптимальное число витков индуктора равно 3–4. Индуктор навивается из медной трубы, внутри которой для охлаждения циркулирует вода.

Заготовки датчика при высокочастотной кузнецкой сварке представляют собой плоские кольца, которые после сварки, в зависимости от местных условий работы датчиков, могут разрезаться на сегменты требуемых размеров.

После сборки оснастка вместе с датчиком производится продувка внутренних полостей неагрессивным газом. Объем внутренних полостей составляет несколько кубических сантиметров, поэтому можно причемять даже сравнительно дорогостоящие благородные газы, например аргон или гелий. Пропуск 20–30 см³ газа обеспечивает практическое полное вытеснение воздуха.

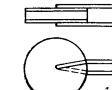
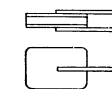
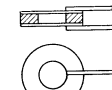
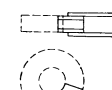
После продувки оснастка вставляется в индуктор и устанавливается на подставке. Режимы работы индуктора подбираются в зависимости от местных условий. При этом желательно, чтобы время накала не превышало 30 сек. При достижении накала датчика нажимом через колодку 4 обеспечивается плотность взаимного прилегания деталей датчика. После приложения сжимающего усилия следует примерно десятисекундная выдержка с последующим выключением индуктора. Прижимающее усилие сохраняется до остыния датчика.

На этом процесс сварки заканчивается и заготовка датчика извлекается из оснастки.

При отработанной технологии прочность сварки получается настолько высокой, что большинство испытанных на разрыв датчиков рвалось частично на плоскости сварки с дальнейшим переходом разрыва на целый металл.

Точечная сварка на конденсаторной машине применяется главным образом при изготовлении платиновых датчиков. Естественно, что использование платины наложило на процессы изготовления датчиков характер строгой экономии, минимальных отходов и потерь. Платиновая пластина раскатывается на вальцах до требуемой толщины крайнего слоя в 0,1–0,15 мм с многосторонним количеством протяжек и промежуточными отжигами

Таблица 1

№ датчика	Форма	Способ изготов- ления среднего слоя		Способ изгото- вления краевых слоев		Способ крепле- ния системных проводников	Область применения
		Штам- повка	Гальва- нопо- крытие, пайка	Фрезе- ровка, слесар- ная об- работка	Точечная сварка, пайка		
1		Штам- повка	Гальва- нопо- крытие, пайка			Точечная сварка, пайка	Низкие температуры
2				Фрезе- ровка, слесар- ная об- работка	То же	То же	То же
3		Штам- повка, гальва- нопо- крытие	Штам- повка, гальва- нопо- крытие			То же	Несъемные датчики
4		Штам- повка, опилов- ка		Кузне- чная сварка	Пайка, точечная сварка		Высокие температуры
5		То же	То же		Горячая сварка		То же

При этом надо добиваться, чтобы поверхность пластин получалась ровной и гладкой и не требовала дополнительной обработки, связанной с отходами в виде стружки или пыли. Пластины раскраиваются и поступают на штамповку. Было испробовано несколько конструкций штампов, чтобы по получающимся лепесткам не имели заусенцев и могли без обработки идти на сварку (отработка штампованием и режима сварки производилась на железных пластинках, как наиболее подходящих по механическим и теплофизическими свойствам для моделирования пластины). Наилучшим в наших условиях оказался прессо-вой штамп с ручным приводом и индивидуальной подгонкой и закалкой пuhanсонов и матриц.

Подготовленные лепестки свариваются на конденсаторной сварочной машине типа ТКМ-4 по следующей технологии. Для сварки выбраны специальные медные электроды с диаметром цилиндрической части 1,5 мм и плоским срезом. Нижний электрод имеет диаметр 4 мм. Сначала в центрирующем приспособлении свариваются средний и один из крайних лепестков. Сварка производится по центру, затем концентрическим кругом с касанием отдельных «точек» сварки и, наконец, таким же кругом по краю датчика. Иной порядок сварки приводит к образованию между пластинками нежелательных прослоек воздуха. Таким же образом приваривается второй крайний лепесток.

Простота этого способа изготовления датчиков и достаточная прочность изделия побудила нас исследовать возможность приварки пластин из такого высокотеплопроводного материала, как медь. Были испробованы различные материалы электродов. В настоящее время можно с уверенностью сказать, что применение вольфрама или молибдена для верхнего электрода и серебра для нижнего позволяет решить задачу сварки меди с константаном или копелем и даже меди с медию.

31. КОНСТРУКТИВНОЕ ОФОРМЛЕНИЕ ОДИНОЧНЫХ ДАТЧИКОВ

Чувствительные элементы тепломеров, основанных на принципе дополнительной стенки, выполняются обычно с отношением толщины δ к диаметру D , равным $1 \cdot 10^{-1} - 100$ для уменьшения оттока тепла через боковую поверхность стенки. При меньших δ / D , вследствие большого теплового сопротивления стенки, существенная доля тепла, вошедшего в «горячую» грань стенки «холодной» грани не достигнет, что внесет погрешность в измерение теплового потока по разности температур на гранях стенки. Подобное явление наблюдается и в приборах для определения теплопроводности материалов по методу пластины ГОСТ 7076-54 ограничивает отношение δ / D испытуемой пластины

Продолжение табл. I

	Эскиз	Способ изготовления среднего слоя	Способ нанесения крайних слоев	Способ крепления съемных проводников	Область применения
6		Штамповка	Точечная сварка, пайка на серебро	Точечная сварка	Платиновые датчики
7		То же	Гальваническое покрытие	Гочечная сварка со средним слоем	Медные датчики
8		То же	То же	То же	То же
9		Штамповка, слесарная обработка	Точечная сварка	Точечная сварка с крайним слоем	Различные случаи теплообмена
10		То же	Пайка	Точечная сварка, пайка	Изделия с большой кривизной поверхности

Продолжение табл. I

	Эскиз	Способ изготовления среднего слоя	Способ нанесения крайних слоев	Способ крепления съемных проводников	Область применения
11		Штамповка	Точечная сварка, пайка	То же, третий провод из материала среднего слоя	Измерение теплового потока и температуры в однном месте

строительного материала величинами 1–10–1–50. Однако для некоторых материалов нельзя произвольно задавать это отношение (оптические кристаллы и др.), поэтому их теплопроводность определяют для образцов с $\delta = 1$ –1, приложив боковую поверхность и учтяшая теплопотери через нее, или пренебрегая ими.

При создании металлических датчиков теплового потока для среднего слоя было принято $\delta = D = 1 : 10$. Тонкого слоя изоляции боковой поверхности датчика при этом достаточно, чтобы теплопотери через нее были пренебрежимо малы даже при одинаковых граничных условиях на «холодной» и боковой поверхности датчика. Аналогично малым получается приток тепла через боковую поверхность при одинаковых граничных условиях с «голой» поверхностью.

Конструктивное оформление одиночных датчиков теплового потока определяется технологией их изготовления, а также условиями их предполагаемого применения.

В габл. I приведены эскизы датчиков различной конфигурации, испытанные нами в различное время, и указаны способы изготовления датчиков, крепления токосъемных проводников, а также область применения того или другого датчика. Наибольшее распространение получили датчики 6, 7 и 9, изготавливавшиеся малыми сериями.

Толщина крайних пластин и съемных проводников берется минимальной из условий технологии крепления, прочности головки датчика, а также малых искажений гальванических явлений за счет теплопроводности вдоль проводников и усиков. В различных случаях мы применяем для съемных проводников проволoku толщиной 0,08–0,3 мм. При толщине ее в 0,2–0,3 мм кончик проволоки раскатывается до половины толщины на участке крепления с датчиком. Для электрополимерных проводни-

Продолжение табл. 1

Номер	Эскиз	Способ изгото- ления среднего слоя	Способ наесе- ния крайних слоев	Способ крепления съемных проводников	Область при- менения
6		Штам- повка	Точеч- ная сварка, пайка на се- ребро	Точечная сварка	Платино- вые дат- чики
7		То же	Гальва- нопо- крытие	Точечная сварка со средним слоем	Медные датчики
8		То же	То же	То же	То же
9		Штам- повка, слесар- ная об- работка	Точеч- ная сварка	Точечная сварка с крайним слоем	Различные случай- ства теплооб- мена
10		То же	Пайка	Точечная сварка, пайка	Изделия с большой кривизной поверх- ности

Продолжение табл. 1

Номер	Эскиз	Способ изго- твления среднего слоя	Способ наесе- ния крайних слоев	Способ крепле- ния съемных проводников	Область при- менения
11		Штам- повка	Точеч- ная сварка, пайка	То же, гретый провод из материала среднего слоя	Измерение теплового потока и температуры в од- ном месте

строительного материала величинами $1 \text{--} 10 \text{--} 50$. Однако для некоторых материалов нельзя произвольно задавать это отношение (оптические кристаллы и др.), поэтому их теплопроводность определяют для образцов с $\delta = D < 1$, изолируя боковую поверхность и учитывая теплонепроницаемость через нее или пренебрегая ими.

При создании металлических датчиков теплового потока для среднего слоя было принято $\delta = D = 1 \text{--} 10$. Тонкого слоя изоляции боковой поверхности датчика при этом достаточно, чтобы теплонепроницаемость через нее была препятствием мало, даже при одинаковых граничных условиях на «холодной» и боковой поверхностях датчика. Аналогично малым получается принос тепла через боковую поверхность при одинаковых граничных условиях с «горячей» поверхностью.

Конструктивное оформление одиночных датчиков теплового потока диктуется технологией их изготовления, а также условиями их практического применения.

В табл. 1 приведены эскизы датчиков различной конфигурации, испытанные нами в различное время, и указаны способы изготовления датчиков, крепления токосъемных проводников, а также область применения того или другого датчика. Наиболее распространение получили датчики 6, 7 и 9, изготовленные малыми сериями.

Толщина крайних пластин и съемных проводников берется минимальной из условий технологии крепления, прочности готового датчика и также малых искажений тепловых явлений за счет теплопроводности вдоль проводников и усиков. В различных случаях мы применяли для съемных проводников проволоку толщиной 0,08—0,3 мм. При толщине ее в 0,2—0,3 мм кончик проволоки раскатывается до половины толщины на участке крепления с датчиком. Для электронизоляции проводни-

Продолжение табл. 1

Эскиз	Способ изготовления среднего слоя	Способ нанесения крайних слоев	Способ крепления съемных проводников	Область применения
6	Штамповка	Точечная сварка, пайка на серебро	Точечная сварка	Платиновые датчики
7	То же	Гальванопокрытие	Точечная сварка со средним слоем	Медные датчики
8	То же	То же	То же	То же
9	Штамповка, слесарная обработка	Точечная сварка	Точечная сварка с крайним слоем	Различные случаи теплообмена
10	То же	Пайка	Точечная сварка, пайка	Изделия с большой кривизной поверхности

Продолжение табл. 1

Эскиз	Способ изготовления среднего слоя	Способ нанесения крайних слоев	Способ крепления съемных проводников	Область применения
11	Штамповка	Точечная сварка, пайка	То же, гретый провод из материала среднего слоя	Измерение теплового потока и температуры в одном месте

строительного материала величинами 1–10–1–50. Однако для некоторых материалов нельзя произвольно задавать это отношение (оптические кристаллы и др.), поэтому их теплопроводность определяют для образцов с $\delta \cdot D = 1$, изолируя боковую поверхность и учтывая теплопотери через нее или пренебрегая ими.

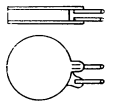
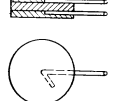
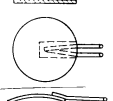
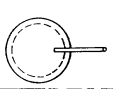
При создании металлических датчиков теплового потока для среднего слоя было принято $\delta \cdot D = 1 : 10$. Тонкого слоя изоляции боковой поверхности датчика при этом достаточно, чтобы тепло потери через нее были пренебрежимо малы даже при одинаковых граничных условиях на «холодной» и боковой поверхности датчика. Аналогично малым получается приток тепла через боковую поверхность при одинаковых граничных условиях с «горячей» поверхностью.

Конструктивное оформление одиночных датчиков теплового потока диктуется технологией их изготовления, а также условиями их предполагаемого применения.

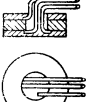
В табл. 1 приведены эскизы датчиков различной конфигурации, испытанных нами в различное время, и указаны способы изготовления датчиков, крепления токосъемных проводников, а также область применения того или другого датчика. Наибольшее распространение получили датчики 6, 7 и 9, изготавливавшиеся малыми сериями.

Толщина крайних пластин и съемных проводников берется минимальной из условий технологии крепления, прочности готового датчика, а также малых искажений гелевых явлений за счет теплопроводности вдоль проводников и усиков. В различных случаях мы применяли для съемных проводников проволоку толщиной 0,08–0,3 мм. При толщине ее в 0,2–0,3 мм кончик проволоки раскатывается до половинной толщины на частке крепления с датчиком. Для электропозиционирования проводин-

Продолжение табл. 1

	Эскиз	Способ нанесения среднего слоя	Способ крепления крайних слоев	Способ крепления съемных проводников	Область применения
6		Штамповка	Точечная сварка, пайка на серебро	Точечная сварка	Платиновые датчики
7		То же	Гальванопокрытие	Точечная сварка со средним слоем	Медные датчики
8		То же	То же	То же	То же
9		Штамповка, слесарная обработка	Точечная сварка	Точечная сварка с крайним слоем	Различные случаи теплообмена
10		То же	Пайка	Точечная сварка, пайка	Изделия с большой кривизной поверхности

Продолжение табл. 1

	Эскиз	Способ нанесения среднего слоя	Способ крепления крайних слоев	Способ крепления съемных проводников	Область применения
11		Штамповка	Точечная сварка, пайка	То же, третий проход из материала среднего слоя	Измерение теплового потока и температуры в одном месте

строительного материала величинами 1–10–1–50. Однако для некоторых материалов нельзя произвольно задавать это отношение (оптические кристаллы и др.), поэтому их теплопроводность определяют для образцов с $\delta = D < 1$, изолируя боковую поверхность и учитывая теплопотери через нее или пренебрегая ими.

При создании металлических датчиков теплового потока для среднего слоя было принято $\delta = D = 1:10$. Толщина слоя изоляции боковой поверхности датчика при этом достаточно, чтобы теплопотери через нее были пренебрежимо малы даже при одинаковых граничных условиях на «холодном» и боковой поверхности датчика. Аналогично малым получается припрят геппа через боковую поверхность при одинаковых граничных условиях с «горячей» поверхностью.

Конструктивное оформление одиночных датчиков теплового потока определяется технологией их изготовления, а также условиями их предполагаемого применения.

В табл. 1 приведены эскизы датчиков различной конфигурации, испытанных нами в различное время, и указаны способы изготовления датчиков, крепления токосъемных проводников, а также область применения того или другого датчика. Наибольшее распространение получили датчики 6, 7 и 9, изготовленные малыми сериями.

Толщина крайних пластин и съемных проводников берется минимальной и, условий технологии крепления, прочности готового датчика, а также малых искажений тепловых явлений за счет теплопроводности вдоль проводников и усиков. В различных случаях мы применяли для съемных проводников проволoku толщиной 0,08–0,3 мм. При толщине ее в 0,2–0,3 и кончик проволоки раскатывается до половины толщины на участке крепления с датчиком. Для электронизоляции проводни-

ков применяется распущенное асбестовое волокно, кремний: органическая нить, стеклочулок с пропиткой лаком ФЭБС-Л-302 а для температур до 250—300°C — термостойкий поливиниловый лак

В случае необходимости измерения одновременно с тепловым потоком и температуры в датчик вваривается третий токосъемный провод, одинаковый по материалу со средним слоем датчика

32. ТЕРМОСТАТИРОВАНИЕ СОЕДИНЕНИЯ ВО ВНЕШНЕЙ ЦЕПИ ДАТЧИКА

Применение в датчиках драгоценных металлов (платина, серебро) затрудняет передачу рабочего сигнала на нужные расстояния. При температурных измерениях, чтобы облегчить передачу сигнала, применяют компенсационные провода.

Формально датчик представляет собой дифференциальную термопару, поэтому функции компенсационных проводов может выполнять любая пара одинаковых и достаточно гомогенных проводов, например медных. Фактически же дело осложняется тем, что сигнал датчика существенно мал по сравнению с сигналом термопары, работающей при сходных температурах, и поэтому приходится быть особенно внимательным к возможным источникам помех, например, при переходе от платины к меди к неравенству температур спаев пары проводов, относящихся к одному датчику. В практике измерений может быть много причин, обуславливающих такое неравенство температур спаев. Для устранения неравенства температур спаев применяются термостаты, заключающие в себе места спаев с компенсационными проводами

При расчетах и конструировании термостатов было принято допустимым отличие в температурах спаев отдельного датчика в 10°град при внешнем возмущении, выражаемемся в разнице температур подходящих проводов в 10°град, что в реальных условиях вполне возможно.

Термостат представляет собой массивный медный цилиндр на внешней поверхности которого нарезаны винтовые канавки для проводов в изоляции. Места спаев располагаются так, что расстояния их от выхода проводов из термостата прямо пропорциональны теплопроводностям материалов проводников. Цилиндр с нарезкой и намотанными проводами вставляется в полый медный цилиндр, плотно прилегающий к выступам нарезки.

Блок из медных цилиндров окружается со всех сторон высокоеффективной теплоизоляцией и заключается в стальной цилиндр с плотной крышкой. Последний, выполняя функции тепловой защиты, экранирует также внутренний блок от электромаг-

нитных возмущений, источником которых может быть объект измерений.

Для обычной тонкой лаковой изоляции суммарная длина одного проводника, заключенная в лабиринте термостата до и после спая, должна составлять 3000 калибров провода. При этом коэффициент теплового демпфирования равен примерно 10⁵, т. е. при внешней разности температур проводов в 10°град разность температур спаев не превысит 10⁻⁴°град

Специальные экспериментальные исследования подтвердили ожидаемую эффективность термостатирования

33. УСИЛЕНИЕ И РЕГИСТРАЦИЯ СИГНАЛА ДАТЧИКА

Величина минимального значения выходной мощности одиночного датчика может быть сравнительно просто подсчитана

Ориентировочно примем следующие средние значения рабочих параметров датчика теплопроводность среднего слоя $\lambda = 20 \text{ вт}/\text{м} \cdot \text{град}$, удельная термо-э. д. с. $u = 40 \cdot 10^{-6} \text{ в/град}$, толщина датчика $\delta = 1 \text{ мм} = 0,001 \text{ м}$, минимальная чувствительность по тепловому потоку $q_{min} = 300 \text{ вт}/\text{м}^2$; сопротивление цепи $R = 100 \text{ ом}$.

Полную э. д. с. датчика, силу тока в цепи и мощность отключения обозначим соответственно через E , I и P . Дальнейшие выкладки объяснений не требуют

$$\Delta t = \frac{q\delta}{\lambda};$$

$$E = u\Delta t = u \frac{q\delta}{\lambda} = 0,6 \cdot 10^{-1} \text{ в};$$

$$P = \frac{E^2}{R} = 3,6 \cdot 10^{-1} \text{ вт};$$

$$I = \frac{E}{R} = 6 \cdot 10^{-3} \text{ а}$$

В начальный период работы с первыми датчиками (1955—1956 гг.) промышленность не выпускала серийно приборы, чувствительность и внутреннее сопротивление которых удовлетворяли бы поставленным требованиям. Поэтому мы столкнулись с необходимостью усиления сигнала датчика. В настоящее время для измерения таких малых мощностей используются серийные гальванометры типа М-195. Опыт работы с усиленными показал, что таким образом может быть существенно расширен диапазон работы одиночных датчиков при очень малых потоках. Для таких датчиков принятая выше мера чувствительности 300 $\text{вт}/\text{м}^2$ может оказаться на несколько порядков больше верхнего предела их измерений.

Рассмотрев различные усилители постоянного тока, мы остановились на магнитном усилителе. Магнитный усилитель успешно позволяет измерять мощности постоянного тока до 10^{-19} ст при высокой стабильности нуля и коэффициента усиления [73]. Изготовленный усилитель имеет два каскада усиления, собранные по тифференциальной схеме (рис. 41) [22].

Для питания усилителя был применен феррорезонансный стабилизатор напряжения и генератор стабильной частоты (стандартный генератор звуковых частот ЗГ-10) [21].

Коэффициент усиления такого усилителя оказался вполне достаточным для измерения тепловых потоков в широком диапазоне ($0.5\text{--}10 \cdot 10^6 \text{ вт}/\text{м}^2$) даже в паре с грубым показывающим прибором. При тарировке датчиков прибор M91/A шунтируется параллельно включаемыми сопротивлениями, которые подбираются так, чтобы получить два три диапазона измерений. Тарировочная характеристика мель константанных датчиков при этом оказалась прямолинейной.

Недостаток данного усилителя заключался в непрерывном монотонном дрейфе нуля, что вызывало необходимость в подрегулировке баланса переменными сопротивлениями R_2 – R_3 и R_4 , а иногда и R_1 . Это не могло не вызывать некоторого изменения коэффициента усиления. Последнему способствовала также недостаточная стабильность примененных при изготовлении прибора полупроводниковых диодов.

В дальнейшем были опробованы некоторые другие схемы усиления, в частности комбинированные. Наилучшим вариантом усилителя в наших условиях явилось сочетание магнитного модулятора и усилителя низкой частоты на электронных лампах. Магнитный модулятор работает как усилитель напряжения с

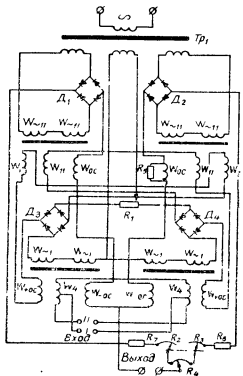


Рис. 41 Электрическая схема магнитного усилителя

большим переменным насыщением. Электронная часть усилителя выполнена по двухтактной схеме с глубоким отрицательным связью. В этом усилителе удалось добиться высокого стабильного коэффициента усиления и весьма малого дрейфа нуля. Однако полностью избавиться от некоторых случайных помех, проявляемых в спорадических колебаниях индикатора прибора, не удалось.

В настоящее время проводятся работы по усилению сигнала одиночного датчика с помощью серийно выпускаемого фотокомпенсационного усилителя типа Ф-115.

Естественно, что мы стремились обойтись без усилителя и приобрести стандартные электротехнические приборы, чувствительность которых оказалась бы достаточной для работы паре с одиночным датчиком теплового потока. Вполне приемлемыми оказалось переносные теневые гальванометры типов М-195/1 и М-195/2 и миллиамперметр типа М-95. При тарировке пластино-константановых датчиков максимальному генерируемому потоку в $1.3 \cdot 10^6 \text{ вт}/\text{м}^2$ соответствовало отклонение светового указателя чувствительного элемента гальванометра М-195/2 на $350\text{--}400$ мм, что дает возможность производить измерения в трех диапазонах ($\times 1$; $\times 2$; $\times 5$). Сопротивление датчика значительно меньше критического для М-195/2, поэтому при измерениях теплового потока чувствительный элемент находится в переускоренном режиме и регистрация сигнала происходит за время порядка 30 сек. С этой точки зрения лучше использовать модификацию гальванометра М-195/1 с малым внутренним сопротивлением.

Большие перспективы открывает использование в паре с одиночными датчиками приборов типа Ф-16 и Ф-118, использующих фотокомпенсационное усиление сигнала.

34. БАТАРЕЙНЫЕ ДАТЧИКИ ТЕПЛОВОГО ПОТОКА

Единственный, однако весьма существенный недостаток одиночного датчика теплового потока заключается в том, что его электрический сигнал мал. Поэтому наиболее широкое применение он, по-видимому, найдет в технике измерения локальных тепловых потоков, исчисляемых миллионами ватт на кв. метр где его можно применять в паре с достаточно грубым милливольтметром или стандартным самописцем.

Далее, для интервала тепловых потоков $10^4\text{--}10^6 \text{ вт}/\text{м}^2$ одиночные датчики вполне успешно применяются в паре с чувствительными гальванометрами. Такое сочетание позволяет с высокой точностью регистрировать визуально значения измеряемых величин, но для автоматической записи сигнала пригодны лишь чувствительные осциллографы. Поэтому необходимо было изыскывать пути к увеличению выходного сигнала

датчика. Существенного увеличения удельной термо-э. д. с. ожидать неоткуда. Можно применить в качестве среднего слоя некоторые из металлокерамических материалов, в частности карбид кремния, термо-э. д. с. которого, по данным Ленинградского института полупроводников, составляет $200 \cdot 10^{-6} \text{ в/град}$, т. е. в пять раз больше, чем у металлов, в широком диапазоне температур. Так как карбид кремния имеет сравнительно малую теплопроводность, его применение может на один порядок увеличить чувствительность датчика, однако не делает датчик универсальным.

Для увеличения сигнала датчики можно соединить последовательно друг с другом. Такой способ рекомендуется для определения средних на большой поверхности тепловых потоков, однако если исследуемое изделие токопроводящее, то необходимо заботиться об электроизоляции от него отдельных датчиков.

Батарейный датчик состоит из большого количества датчиков теплового потока, соединенных последовательно в одном агрегате. Для элементарных датчиков в нем уже не нужно выдерживать отношения $\delta : D < 1$, так как при плотном их расположении утечка из одного элементарного датчика неизбежно связана с соответствующим притоком в соседних. Все, что говорилось о величине $\delta : D$, применимо к агрегату в целом.

В настоящее время удается изготовлять батарейные датчики с количеством элементарных датчиков до 2000 шт. на 1 см². Это позволяет использовать в качестве регистрирующих приборов самописцы типа ЭПП-09, милливольтметры и потенциометры. При использовании же чувствительных гальванометров можно измерять тепловые потоки порядка 10^{-2} вт/м^2 .

Требования к гомогенности для съемных проводников батарейного датчика резко снижаются.

Наконец, создание батарейных датчиков позволяет решить очень важную задачу исследования локального теплообмена в вращающихся деталях.

Первый батарейный датчик имел прямоугольную форму (рис. 42) и был изготовлен следующим образом. Для среднего слоя было приготовлено 100 параллелепипедов из константана размером $1 \times 2 \times 2 \text{ мм}$, т. е. с $\delta : D = 1 : 2$. Полоска из красной меди толщиной 0,1 и шириной 2 мм приваривалась к верхней грани датчика, подгibaлась и прикреплялась к нижней грани следующего датчика. Свободные грани в этой цепочки имели датчики, расположенные рядом. К ним прикреплялись медные гибкие проводники (монтажный провод). Готовая цепочка датчиков укладывалась в металлический кожух — обечайку с навернутым тонким донышком. Вся внутренняя поверхность кожуха выкладывалась слоем слюды толщиной около 0,03 мм. Полоски слюды прокладывались также между рядами датчи-

ков. Свободные полости заполнялись массой, замешанной из кварцевой пудры на одном из термостойких kleев. После технологически необходимой сушки и полимеризации обечайка закрывалась крышкой, привариваемой к ней.

Поскольку эквивалентная теплопроводность батарейного датчика получилась равной примерно 10 вт/м^2 , в качестве материала для кожуха была выбрана сталь. Общие размеры дат-

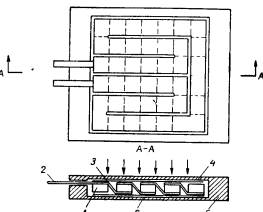


Рис. 42 Батарейный датчик прямоугольной формы

1 — промежуточный электрод, 2 — выводы, 3 — заполнитель, 4 — изоляция, 5 — корпус, 6 — переходный электрод

чика $28 \times 30 \times 1,6 \text{ мм}$. Так как первый же датчик показал отличные качества — высокий стабильный сигнал и малую инерционность, то было изготовлено еще несколько таких датчиков. Для изготовления датчиков одинакового размера, изгиба и обрезки медной фольги, центровки деталей при контактной сварке или пайке, были сделаны приспособления «малой механизации». Кожухи стали делать цилиндрическими (рис. 43). Для более плотной «укладки» исходные датчики могут изготавливаться не квадратными, а треугольными с равными сторонами. Диаметр стократного батарейного датчика по этой технологии доведен до 25 мм.

Один из таких датчиков демонстрировался нами на II Все-съезде советских специалистов по экспериментальной технике и методам высокотемпературных измерений в мае 1962 г. и вызвал оживленный интерес.

Дальнейшее снижение габаритов датчика, выполненного по описанной схеме, является затруднительным. Кроме того, полу-

чив два портала увеличения сигнала, а вместе с ними и возможность решать новые задачи локального теплообмена, мы решили продолжать поиск средств дальнейшего увеличения сигнала.

Было решено увеличить $\delta \cdot D$ элементарного датчика до 5—10. По описанной выше технологии сделать такой датчик при общей толщине 1—1,5 мм невозможно. Поэтому была испробована новая схема батарейного датчика, предложенная О. А. Ге-

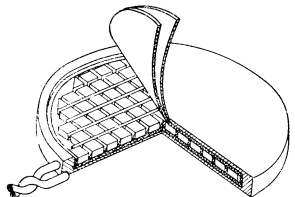


Рис. 43 Батарейный датчик цилиндрической формы

ращенко. Отличие этого датчика состоит в том, что для передачи тепла от одной грани батарейного датчика к другой используется материал в равной мере (вернее, в мере, пропорциональной теплопроводности) всех слоев датчика — крайних и среднего (рис. 44). Такая батарея по виду сходна с батареей термостойников, но отличается от нее тем, что в новом датчике по-прежнему регистрируется тепловой поток, прошедший через датчик. Показания его, в отличие от батареи термостойников, не зависят (в известных пределах, конечно) от условий охлаждения холодных спаев. От малых тепломеров Шмидта датчик по-прежнему отличается использованием в качестве дополнительной стенки материала термоэлектродов.

Теоретически на каждый квадратный сантиметр батарейного датчика при толщине проводников элементарных датчиков 0,1 мм и изоляции на них 0,01 мм можно уложить до 10 000 элементарных датчиков. Практическая разработка этой схемы ведется в двух направлениях.

1. Изготавливается сетка из двух термоэлектродных материалов (один из них является основой, другой — утком).

рис. 45, а). Места контакта проводников свариваются. Затем из сетки вырезаются полоски таким образом, что они состоят из чередующихся отрезков обоих электродов. Ленточка-лесенка изолируется и сжимается так, как указано на рис. 45, б и в. Сжатая ленточка укладывается в плотный пакет ряд к ряду (рис. 45, г). Для плетения сетки в лаборатории изготовлен ткацкий станок на ширину ленты до 70 мм и шаг сетки 0,5—1,5 мм. Механизация резки полосы и подгибания проводников — дело будущего. Опытные укладки проводились вручную и показали достаточно большой коэффициент заполнения сечения металлом.

2. Изготавливается плоская спираль — ленточка из термоэлектродного материала (например константана). Одна из боковых поверхностей спирали электролитически покрывается медью (рис. 46). Ленточка покрывается лаком и сворачивается так, чтобы места перехода от меди к константану находились на гранях получающегося диска. Свойства таких гальванических термопар исследованы в работе [20]. Диск заливается эпоксидной смолой или высокотемпературным лаком (в этом

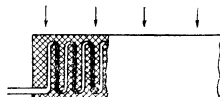


Рис. 44 Схема батарейного датчика с большим δD

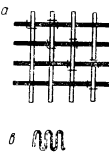


Рис. 45 Схема изготовления датчика из сетки

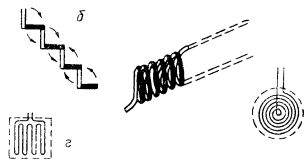


Рис. 46 Схема изготовления датчика из спирали

случае диск заключается в металлический кожух). Так как отдельные операции (навивку ленточки, гальванизацию) удалось механизировать, на этом пути достигнуты большие успехи.

Изготавлено и испытано несколько спиральных датчиков с количеством элементарных датчиков до 2000 на 1 см², т. е. примерно с плотностью заполнения в пять раз меньше теоретической. Толщина такого батарейного датчика 1—1,5 мм.

Нет принципиальных препятствий для изготовления датчиков на высокие температуры [28]. В лаборатории проводятся

Таблица 2

№ п/п	Способ приведения в действие датчика	Структура датчика	Размеры датчика в миллиметрах	Описание принципи- ального устройства
1	Безопасность зажигания	Фарфоровая таблетка	Полукруглый диаметром 6 мм, толщиной 100 мкм	Поток газов от согнущейся и тенденции прибор для теплоизменя- щих констант
2	Баллончики, резка, спираль или пайка	Складная изо- ляция, металлич- еский сварной пружин	1,5×25 100 мкм	Большие потоки в промышлен- ных установках
3	Горячие	Эбонитовая скоба — Фарфор, кера- мика	1,0×15 10 мкм	То же, высокие температуры
4	Плавление скеки, резка, мо- лодицы, юкатка	Эбонитовая скоба — Фарфор, кера- мика	1,5×15 3000 шт	Очень малые потоки
5	Напыка (то, кол- во спиралей, га- ваньокрытие, лакировка, сверление в спираль	Завитой балоч- ный скобой или смолой, металлический сварной колок- ок	1,5×15 1200 мкм	Вращающиеся детали, малые потоки

опыты по запеканию датчика в фарфоровую таблетку. Если медненный константан заменить платинированным приием, то при фарфоровом заполнении можно получить батарею, работоспособную при температурах выше 1000°C.

В табл. 2 приведены конструкции батарейных датчиков и указаны области их применения.

Так же как и для одиночного датчика, измерение температуры достигается выводом третьего провода.

35. МЕТОДИКА ГРАДУИРОВКИ ДАТЧИКОВ

В принципе, если строго соблюдать толщину среднего слоя датчика, знать его теплопроводность и другие характеристики термоэлектродов, а также чувствительность регистрирующего прибора, можно было бы для каждого датчика получить градуировочные характеристики расчетным путем. Однако на этом пути ошибки подстерегают буквально на каждом шаге. Так, при изготовлении, например, партии одиночных датчиков в 30 шт из одинаковых материалов, по одной технологии и с той же максимальной расхождением между характеристиками отдельных датчиков достигает 25—40%, причем естественно, что каждая из них более или менее отличается от расчетной. Поэтому пока что каждый датчик проходит индивидуальную градуировку — через датчик пропускается стабильный контролируемый тепловой поток, измеренный абсолютным прибором, и измеряется э. д. с. датчика. Так как на показания датчика может в некоторой мере влиять его собственная температура, для каждой градуировочной кривой фиксируется интервал температур, при котором она получена.

Наиболее удобным для градуировки оказался радиационный метод подвода энергии к датчикам. Этот метод привлече внимание возможностью получения направленных контролируемых тепловых потоков и постоянства граничных условий.

Для получения стабильных потоков излучения и для их абсолютного измерения были разработаны приборы, описанные в гл. III и частично в гл. II настоящей работы. Длительное время градуировка датчиков производилась только с помощью компенсационного радиометра. Поэтому методически важно было максимально приблизить условия теплообмена датчика во время градуировки к условиям теплообмена для пластины радиометра. Для этого головка радиометра изготавливается полой, квадратного сечения, с возможностью выставить каждую грань на определенном расстоянии от источника излучения. На двух противоположных гранях головки укреплены пластины радиометра, на одной стороне съемная кассета с датчиком. Размер радиометрической пластины в направлении обтекания воздухом выбран тот же что и у датчика — 8 мкм, условия

обтекания также одинаковы. С лицевой стороны пластины и датчик покрыты чернью одинакового состава. Все это позволяет говорить о строгом соответствии условий подвода и отвода тепла для датчиков и пластины радиометра, а при высокой стабильности излучаемого потока — и о правомочности принятой методики градуировки датчиков по принципу измерение потока радиометром — запись показаний регистрирующего прибора датчика — измерение потока радиометром.

Регулировать температуру датчиков и пластины радиометра можно за счет изменения скорости охлаждающего воздуха. Для измерения температуры пластины от промежуточного термозлектрода дифференциальной термопары сделан отвод.

В дальнейшем после градуировки нескольких контрольных датчиков на блоке инерционного радиометра и проверочных испытаний радиометров обоих типов одиночные и батарейные датчики, предназначенные для работы при невысоких температурах, могли градуироваться также и с помощью водоохлаждаемой пластины. Для этого кронштейн-координатник был устроен таким образом, чтобы можно было поочередно фиксировать в одном и том же положении по отношению к источнику излучения приемные плоскости того или другого радиометра и градуируемых датчиков. Таким же образом могут градуироваться и несъемные датчики. Телостоком для них служит изделие, на котором они закреплены.

36. СТЕНД ДЛЯ ГРАДУИРОВКИ ДАТЧИКОВ

При проектировании градуировочного стенда мы стремились получить максимально точные результаты градуирования, удобство и простоту в обслуживании.

Каркас стендса сварен из уголков, обширен сверху текстолитом толщиной 14 мм, с боков — алюминиевым листом (рис. 47). На возвышающейся части стендса укреплены излучатель и кронштейн-координатник радиометров и датчиков. Снизу к излучателю подведена охлаждающая вода и шины питания нагревателя.

Координатник представляет собой толстостенную стальную трубу длиной около 1 м, которая может перемещаться вдоль оси и поворачиваться в двух клеммовых опорах, на одной из которых установлен фиксатор координатника. По длине трубы сделано два ряда лунок, в которые при фиксации положения попадает конец штока пружинного фиксатора. Один ряд лунок служит для фиксирования головки компенсационного радиометра напротив амбразуры излучателя. Второй, составляющий с первым угол в $\frac{2\pi}{3}$ rad — для фиксирования кронштейна инерционного радиометра или изделия с прикрепленными к нему

датчиками. Для удобства перемещения относительно фиксатора от лунки вдоль оси и в поперечном направлении профрезерованы неглубокие канавки. Таким образом, координатник позволяет быстро и точно фиксировать прибор на заданном расстоянии относительно источника лучистой энергии.

На одном конце координатника закреплен компенсационный радиометр. Из него в трубку выведены провода питания пластины радиометра, а также электроды дифференциальной термопары и медные проводники, служащие для съема падения напряжения на радиометрических пластинах. Все эти проводники выводятся из трубы через уплотнение в боковом штуцере.

Сечение трубы выбрано так, что остается достаточно места для прохождения без больших потерь охлаждающего воздуха, который выходит с другого конца трубы и проходит внутрь корпуса радиометра для охлаждения пластин. На входе в координатник воздушная линия имеет задвижку, с помощью которой можно регулировать расход воздуха через головку радиометра сбрасывая в окружающую среду.

На панели стендса выведены органы управления, контроля и регулирования обогрева излучателя и пластины радиометров, тумблер нагнетателя воздуха, а также центральный переключатель. К его контактам подведены проводники съема падения напряжения на пластинах радиометра и на шунтах (для измерения силы тока), а также электроды балансной термопары, позволяющей измерять температуру пластины радиометра или контролировать ее равенство на обеих пластинах. Пара проводов от центрального переключателя выводится наружу и подается на высокомоментный потенциометр Р-307, установленный на столе стендса. Здесь же располагаются нуль-гальванометр и нормальный элемент к потенциометру, а также амперметр, контролирующий силу тока в первичной цепи трансформатора питания нагревательного элемента излучателя.

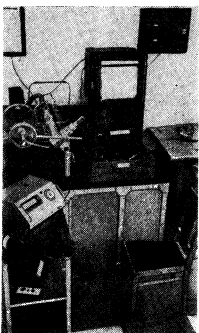


Рис. 47. Стенд для градуировки датчиков

Внутри стендса на полках и панелях размещены питание радиометра в виде двух блоков для каждой пластины, нагнетатель воздуха, контактный манометр и блокировка нагревательного элемента излучателя. Самонущиеся потенциометры ЭПП-09 ч КВТ1/ЕН расположены вблизи стендса на стенах помещения.

На отдельном столике располагается аппаратура датчиков термостат, коммутатор, регистрирующий прибор. При градициировке датчиков в кассетах они подключаются к коммутатору и размещаются на специальных подвесках.

37. ГРАДУИРОВКА НА КОМПЕНСАЦИОННОМ РАДИОМЕТРЕ

Для получения одинаковых условий подвода и отвода тепла каждый датчик заформовывался в специальную кассету. Кассета должна удовлетворять двум требованиям строго идентичная установка датчика относительно грани головки радиометра и минимальный радиальный отток тепла. Первоначально кассеты делались металлическими с отверстием для датчика и канавкой для вывода его концов. Датчик устанавливался в кассете, зазор между ним и кассетой заливался жидким стеклом, которое при нагреве вспучивалось и создавало изоляцию от металла кассеты. Однако практически оказалось, что правильно устанавливать датчики при достаточно больших зазорах трудно. При малых же зазорах (0,1—0,5 мм) изолирующие свойства тонкого слоя вспученного стекла оказывались недостаточными, часть тепла, воспринятое датчиком, перетекала в холодную кассету и прибор давал заниженные показания.

Поэтому датчики стали заформовывать в фарфоровые кассеты. Датчик закладывается в гипсовую форму и заливается фарфоровой массой (штикером) таким образом, что обе плоскости датчика оказываются заподлицо с гранями кассеты. После сушки и выемки из формы кассеты без обжига покрываются гермостопным лаком, а сторона, обращенная при тарировке к излучателю, — дополнительно той же чернилью что и пластины радиометра. Кассеты оказались достаточно прочными, чтобы не крошиться при многократном вдавливании в пазы на головке радиометра. Датчик в кассете показан на рис. 48. Теперь при облучении радиационной энергией датчик и кассета одинаково нагреваются и отводом тепла через кассету к холодной головке радиометра можно пренебречь.

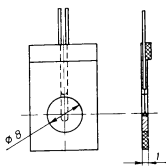


Рис. 48. Фарфоровая кассета с датчиком

Теплопроводность фарфоровой кассеты существенно меньше эффективной теплопроводности датчика. В связи с этим только задняя стенка датчика и кассеты будут расположены по изо термической поверхности. На передней же стенье температура частиц фарфора возле датчика будет выше температуры частиц собственно датчика. Благодаря этому тепло из кассеты потечет в датчик. Поскольку датчик и кассеты тонки, такое перетекание практически не оказывает влияния на тарировку.

В случае изготовления партии датчиков в 30—50 шт тарировка их состоит из нескольких этапов. На первом этапе несколько датчиков тарируются по очереди без коммутирующего устройства и термостата, с непосредственным креплением токосъемных проводников к клеммам регистрирующего прибора, защищенным медной коробкой от внешних возмущений. При этом используются четыре-пять позиций координатника и два-три режима излучателя. Затем те же датчики собираются на панели коммутирующего устройства и градиуровка повторяется для выявления влияния на показания прибора промежуточных контактов, удлинительных проводов и т. п. Наконец, вся партия датчиков комплектами по 10 шт проходит градиуровку с полной схемой коммутации и термостатированием свободных концов.

На каждом датчике ведется протокол градиуровки, в котором отмечается дата, время градиуровки, позиция координатника и температура излучателя. В него заносятся данные измерений: начальный небаланс нуль по дифференциальному термопаре ком пониционного радиометра, э. т с термопары теневой пластины сила тока через нее, наложение напряжения на нее. Затем фиксируется количество целиний регистрирующего прибора и наконец, конечный небаланс нуль при повторном измерении потока радиометром (без изменения нагрева теневой пластины). Начальный небаланс допускается не более $\pm 0,001\%$ температуры пластины для данного измерения, конечный небаланс допускается вдвое большим. Небаланс регистрируется в протоколе градиуровки в виде количества целиний нуль-гальванометра, на которое отклоняется его зонд от нулевого положения в сторону нуля превышения температуры теневой пластины над облучаемой (+ небаланс) или в противоположную сторону (- небаланс). Цена целиния нуль гальванометра проверяется с помощью потенциометра Р 307. Если конечный небаланс существенно отличается от указанной величины 0,002% температуры пластины, то данный опыт повторяется (т. е. снова балансируется радиометр и т. д.).

В тот же протокол заносятся расчетные данные — мощность выделяемая на электрообогреваемой пластине радиометра а по тепловому потоку, зафиксированный в данном опыте.

За время первых опытов по градуировке было накоплено достаточное количество данных по зависимости падения напряжения на пластине радиометра от силы тока, протекающего через нее, и были построены графики $\Delta U = f(I)$, $P = f(I)$ и $Q = f(I)$. На рис. 49 приведены эти графики для случая макси-

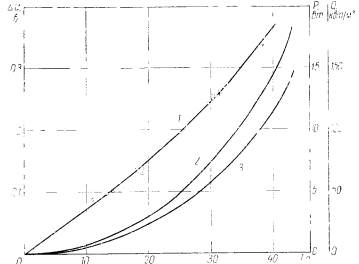


Рис. 49 Рабочие характеристики компенсационного радиометра
1 — $\Delta U = f(I)$; 2 — $P = f(I)$; 3 — $Q = f(I)$

чального обдува пластин. В дальнейшем замеры падения напряжения проводились лишь в контрольных опытах.

Данные протокола представляются в виде индивидуальной градуировочной кривой датчика с нанесением на нее всех точек, соответствующих каждому опыту.

38. ГРАДУИРОВКА НА ВОДООХЛАЖДАЕМОЙ ПЛАСТИНЕ

При изготовлении датчиков на низкие рабочие температуры градуировку их удобно производить с отводом тепла к стенке, охлаждаемой проточной водой. Такая возможность появилась после контрольных тарировок датчиков на блоке инерционного радиометра.

Градуируемые датчики припаиваются или приклеиваются к плоской стенке водоохлаждаемой коробки. Коробка укрепляется на координатнике при помощи штока и винтового универсального зажима, позволяющего выставлять плоскость коробки в нужное положение относительно излучателя.

Расход воды обеспечивает практическое постоянство температуры одиночных датчиков ввиду большого α_d и малых $\frac{\delta}{\lambda}$.

Датчики градуируются обычно с помощью компенсационного радиометра, как более чувствительного и точного, а контролируют их также и с помощью инерционного прибора. Последовательности операции при градуировке сохраняется, только термопреобразник радиометра и пластина с датчиком (поворотом трубы координатника) меняются местами перед излучателем. На пластине укрепляется до 10 одиночных датчиков одновременно.

Батареенные датчики, которые мы до сих пор изготавливали, предназначаются для работы при температуре до 100°C. Поэтому все они проходят градуировку на холодной пластине. Датчики с кратностью порядка 100 (галетные) градуируются в зависимости от интервала тепловых потоков с гальванометром милливольтметром или потенциометром Р-307. Датчики с кратностью до 2000 (спиральные) — с потенциометром Р-307 или ЭПП-09.

ГЛАВА 1

АНАЛИЗ ПОГРЕШНОСТЕЙ ГРАДУИРОВКИ И ИЗМЕРЕНИЯ ТЕПЛОВЫХ ПОТОКОВ С ПОМОЩЬЮ ДАТЧИКОВ

39. ПОГРЕШНОСТИ ГРАДУИРОВКИ, ХАРАКТЕР ГРАДУИРОВОЧНОЙ КРИВОЙ

В гл. III установлено, что с помощью компенсационного радиометра падающий тепловой поток можно измерить с точностью до 3% измеряемой величины. Рассмотрим погрешности градуировки одиночного датчика, помещаемого в кассете в головку радиометра, и характер градуировочной кривой.

Будем различать погрешность как результат того или иного опытного отклонения от нормы, выражаящиеся в разбросе опытных точек, и изменение чувствительности датчика по сравнению с теоретической чувствительностью из-за несовершенства технологии изготовления.

Погрешности градуировки возникают по различным причинам. Падающий тепловой поток может несколько измениться за время измерения его радиометром и датчиком. Повторное измерение радиометром и достаточно жесткие требования к совпадению результатов обоих измерений позволят оценить такое изменение теплового потока не более чем в 0,1%.

Одним из источников погрешностей измерения при градуировках является неточность в установке градуируемого датчика.

на место радиометрической пластины, измерения которых мы принимаем за основу. На рис. 50 приведены графики зависимости тепловых потоков от радиационной печи от расстояния до амбразуры. Кривые получены на различных режимах работы

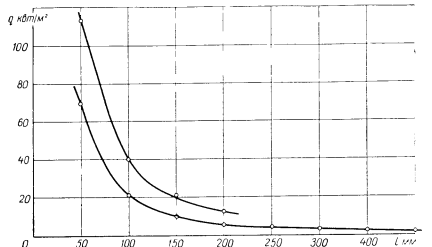


Рис. 50. График зависимости тепловых потоков радиационной печи от расстояния до амбразуры

ты печи и отличаются друг от друга лишь масштабом по оси ординат.

Пренебрегая малыми величинами высшего порядка, можно записать

$$\frac{\Delta E}{\Delta x} = \frac{dE}{dx}, \quad (5.1)$$

откуда относительная погрешность в измерении потока энергии

$$\frac{\Delta E}{E} = \frac{dE}{dx} \cdot \frac{\Delta x}{E}. \quad (5.2)$$

Здесь значение $\frac{dE}{dx}$ может быть легко получено графическим дифференцированием графиков рис. 50.

Значение величин $\frac{dE}{dx}$ по рис. 50 в широком диапазоне расстояний от амбразуры составляет $(1.5-2) \cdot 10^{-2}$, т. е. $1.5-2$, при измерении расстояния, как принято на рис. 50, в миллиметрах. Следовательно, Δx необходимо брать тоже в миллиметрах. Величина возможной погрешности в установке датчиков

и радиометра с помощью координатника выбранной конструкции, видимо, не может превышать 0,5 мм. Таким образом, погрешность, обусловленная неточностью в установке, может быть принята равной 1%.

Если полагать, что все описанные погрешности подчиняются закону нормального распределения для случайных явлений, а также если исходить из того, что величины измерений и связанных с ними погрешностей будут одинаковыми, то все перечисленные погрешности, обусловленные различными источниками, приведут в результате к средней квадратичной погрешности порядка 3,5%, что соответствует вероятной погрешности порядка 2,5%.

С другой стороны, показания датчиков, даже изготавливаемых одной партии, могут отличаться друг от друга и от теоретических показаний по следующим причинам. Толщина дополнительной стенки может отличаться от толщины среднего термоэлектрода за счет различной степени сварки двух металлов и взаимного их при этом внедрения. По той же причине могут отличаться теплопроводность материалов и их термо-Э.Д.С. Т.е. выводы можно сделать и для датчиков из изготовленных металлизацией, гальванопокрытием или пайкой. Разным для отдельных датчиков может оказаться эффект обременения за счет токосъемных проводов или успоков крайних пластин. Различие в показаниях датчиков по этим причинам следует считать систематической погрешностью, учитываемой градуировкой. Совпадение градуировочных характеристик, сделанных для разных датчиков в разное время с промежутками до нескольких месяцев, после работы датчика в тяжелых температурных условиях свидетельствуют о правомочности таких предположений.

Характер градуировочной кривой, т. е. зависимости $E=f(q)$ можно предугадать из таких рассуждений (E — разность Э.Д.С. на гранях датчика, т. е. выходной сигнал). Положим согласно [95, 122] зависимость для теплопроводности промежуточного термоэлектрода от температуры

$$E = E_0 (1 + \beta t), \quad (5.3)$$

Для величины термо-Э E с примесью также наибольее распространенную зависимость

$$E = u_1 t + u_2 t^2. \quad (5.4)$$

Произведем простой расчет

$$q = \frac{E_0}{\delta} (1 + \beta t) \Delta t, \quad (5.5)$$

где Δt — разность температур на гранях промежуточного слоя

Пренебрегая величиной $(\Delta t)^2$, можем записать

$$\frac{\Delta E}{q} = \frac{\delta}{\lambda_0} \cdot \frac{u_1 + 2u_2 t}{1 + \beta \cdot t}. \quad (56)$$

Обозначим

$$\frac{2u_2}{u_1} = \beta_E$$

Пренебрегая зависимостью $\delta = f(t)$, соберем члены, не зависящие от t :

$$k = \frac{\delta u_1}{\lambda_0}$$

и получим

$$\frac{\Delta E}{q} = k \frac{1 + \beta_E t}{1 - \beta_E t} \quad (57)$$

или

$$\Delta E = k \frac{1 + \beta_E q}{1 - \beta_E q}.$$

Для выяснения характера градуировочной кривой в зависимости от величин β_E и β_λ необходимо знать из опыта зависимость $q = f(t)$.

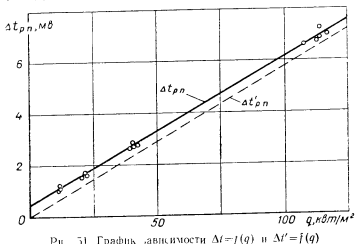


Рис. 51 График зависимости $\Delta t = f(q)$ и $\Delta t' = f(q)$

Градуировку можно производить при различной интенсивности отвода тепла с задней грани датчика. Эта интенсивность в общем может меняться с изменением падающего потока энергии. Выясним зависимость $q = f(t)$ для случая отвода энергии принудительным потоком воздуха. Воспользуемся для этого замерами температуры радиометрических пластин при градуиров-

ке датчиков. Малое термическое сопротивление датчика и одинаковость условий подвода и отвода энергии для радиометра и датчика позволяют производить замену температуры датчика температурой пластины с большой уверенностью. На рис. 51 представлены графики $\Delta t_{p,n} = f(q)$, где $\Delta t_{p,n}$ — превышение температуры радиометрической пластины над температурой окружающей среды (в мВ).

Опыты производились в разное время с одним и тем же нагнетателем и одной скоростью воздуха. Опытные точки хорошо ложатся на прямую линию. Отрезок на оси температур $\Delta t_{p,n}$, отсекаемый этой прямой, показывает увеличение температуры воздуха за счет охлаждения электродвигателя, вентиляционных потерь и потеря на трение. Из опытных данных легко определить величину коэффициента теплоотдачи от пластины к потоку воздуха

$$x = \frac{q}{\Delta t_{p,n}} = 780 \text{ вт}/\text{м}^2 \cdot \text{град}, \quad (58)$$

где $\Delta t'_{p,n}$ — температурный перепад; $\Delta t'_{p,n} = \Delta t_{p,n} - \Delta t_{s,z}$.

Следовательно, зависимость $q = f(t)$ линейна

Столь большая стабильная величина a получается за счет того, что на малом участке (8 мк) тепловой пограничный слон не успевает сформироваться. Этому способствует еще и то, что гидродинамический пограничный слой также не успел стабилизироваться (измерения производятся примерно на $6d$ от входа)

Подставляем в уравнение (5.7) выражение

$$\beta = \beta_q t.$$

Поскольку $\beta_q = f(t)$, обозначим

$$k_1 = \frac{\delta u_1 \cdot \beta_q}{\lambda_0}$$

и получим

$$\Delta E = k_1 \frac{1 + \beta_E t}{1 - \beta_E t}. \quad (59)$$

Из уравнений (5.7) и (5.9) видно, что только при $\beta_E = \beta_\lambda$ или $\beta_\lambda = \frac{2u_2}{u_1}$, зависимость $\Delta E = f(q)$ или $\Delta E = f(t)$ линейна. При $\beta_E > \beta_\lambda$ график $\Delta E = f(q)$ имеет выпуклость вниз, и наоборот

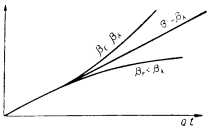


Рис. 52 Характер градуировочной кривой датчика

(рис. 52) При достаточно больших β_q зависимость сохраняется, но становится очень слабо выраженной.

В датчиках с большим термическим сопротивлением величиной (M)² в уравнении (5.6) пренебрегать нельзя.

40. РЕЗУЛЬТАТЫ ГРАДУИРОВКИ ПАРТИИ ПЛАТИНО-КОНСТАНТАНОВЫХ ДАТЧИКОВ

Исходя из изложенного, приведем обработку данных градуировки партии из 30 шт платино-константановых датчиков.

Материал, который пошел на изготовление датчиков — платаша титановая и проволоке с чистотой 99,9%, а также лента из технического константана. Литературные данные о константане разноречивы, даже в смысле его состава — по различным данным $Cu=54\text{--}60\%$, $Mn=0\text{--}1.5\%$, $Ni=35\text{--}40\%$ [95, 134]. Почти нет данных о термо- ϵ с константана в паре с платиной 3.5 мк при $t=100^\circ\text{C}$ и $t_0=0^\circ\text{C}$, по данным Преображенского [71].

Для β_q константана мы нашли значение $\beta_q = 0.0023 \frac{1}{\text{град}}$ [134].

Поэтому мы не смогли аналитически найти температурную поправку для зависимости $\Delta E=f(q)$. Считаем что она будет одинакова для всех партии датчиков. Поэтому выбрав теоретическую чувствительность датчиков $\frac{\Delta E}{q}$ при каком-либо значении q_A , совместим градуировочные кривые датчиков, умножая каждое опытное значение ΔE_i на величину $\left(\frac{\Delta E}{\Delta E_i}\right)_q q_A$ при всех

значениях q . Здесь индекс i означает номер датчика. В данном случае $i=1\text{--}30$, $q=0\text{--}10^5 \text{ вт}/\text{м}^2$. Значения $\left(\frac{\Delta E}{\Delta E_i}\right)_q q_A$ при $q_A=80\ 000 \text{ вт}/\text{м}^2$ для толщины промежуточного слоя 0.6–0.8 чм лежат в пределах 1.0–1.5.

Разброс опытных точек от средней кривой для всех 30 датчиков указывает на максимально возможную погрешность градуировки партии датчиков. На рис. 53 представлены результаты градуировки всей партии датчиков, отдельно для каждого датчика. Цифры у графиков означают порядковый номер датчика. Условные знаки для датчиков одинаковы, отличаются они лишь для различных дат опытов, проведенных после проверки работы отдельных датчиков в разных условиях, в том числе при рабочих температурах вплоть до 600°C . На рис. 54 результаты градуировки сведены по описанной выше методике. Так как (рис. 54) градуировка производилась в интервале температур $30\text{--}200^\circ\text{C}$, вид обобщенной градуировочной кривой позволяет сделать вывод, что для примененной пары металлов существует

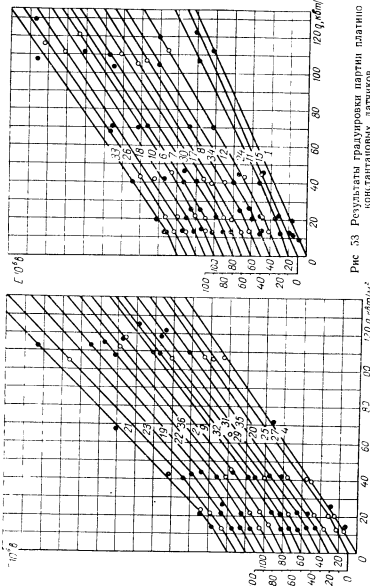


Рис. 53. Результаты градуировки партии платиноплатиновых константановых датчиков

зависимость $\beta_F > \beta_\lambda$ или $\beta_\lambda < \frac{2\mu_2}{\mu_1}$. Количественно это соотношение можно будет определить лишь после накопления большого опыта с одними и теми же материалами

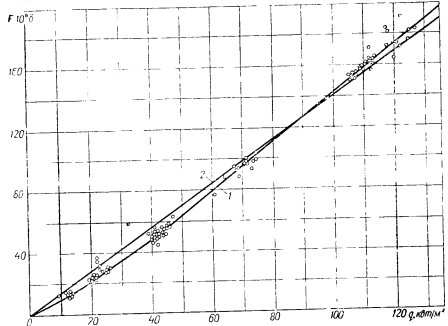


Рис. 54. Обобщенный график зависимости $E=f(q)$ для платино-константановых датчиков.

1 — по экспериментальным данным, 2 — по расчетным данным

Обработка данных градуировки (рис. 54) методом наименьших квадратов показывает, что зависимость $\Delta E = f(q)$ может быть выражена следующим уравнением:

$$\Delta E = (0,327 \cdot 10^{-3} + 0,101 \cdot 10^{-4} t - 0,292 \cdot 10^{-7} t^2) q \text{ в вт} \cdot \text{м}^2. \quad (5.10)$$

Максимальная погрешность градуировки партии из 30 датчиков при этом определяется в 6%, наиболее вероятная погрешность не превышает 2,5%.

Для сравнения на рис. 54 приведена зависимость, подсчитанная аналитически следующим образом:

$$q_A = \frac{\lambda}{\delta} \Delta t_A; \quad \Delta t_A = \frac{q_A \hat{\beta}}{\lambda}; \quad \Delta E = u_1 t.$$

Принимаем $\lambda = 20 \text{ вт/м}^2$ [95]. Зависимость $\Delta E = f(t)$ принята условно линейной. Значение u_1 взято из [71], $u_1 = 3,5 \cdot 10^{-5} \text{ в/град}$

41. РЕЗУЛЬТАТЫ ГРАДУИРОВКИ ПАРТИИ МЕДНО-КОНСТАНТАНОВЫХ ДАТЧИКОВ

Для выяснения возможности замены платины в датчиках на потоки до 10^5 вт/м^2 медью была изготовлена и проградуирована партия из 10 датчиков. Промежуточный термоэлектрод сделан штамповкой из константановой ленты толщиной 0,8 мм крайние слои — гальванопокрытием медью или приваркой на точечной машине медных штампованных пластинок толщиной около 0,05 мм. Токосъемные проводники из электротехнической медной проволоки толщиной 0,1—0,3 мм приваривались к константану до покрытия его гальваническими или приварки крайних слоев или к медным пластинкам с выводом концов через щель в константановом диске (см. табл. 1, № 1, 9). Щель затем зашивалась различными замазками: кварцевой пудрой, разведенной на жидком стекле или лаке ФГ-9, каолином на жидкое стекло и т. д. Концы проводников у датчика покрывались распущененным асбестом или заключались в «чулочек» из стекло волокна.

В заграничной практике медь-константановая термопара является стандартной, и поэтому для определения характера зависимости $\Delta E = f(q)$ можно воспользоваться соответствующими данными. Гардон [110] приводит такое выражение для функции $E = f(t)$:

$$E = 0,0387 t + 0,444 \cdot 10^{-4} t^2 - 27 \cdot 10^{-9} t^3 \text{ мв.} \quad (5.11)$$

Третьим членом с t^3 в интервале температур до 200°C можно пренебречь, так как неточность не превысит 2,3%.

В таком виде это выражение соответствует принятому нами для анализа формы кривой $\Delta E = f(q)$, где

$$\beta_E = \frac{2 \cdot 0,444 \cdot 10^{-4}}{0,0381} = 0,00233.$$

Значение β_λ также возьмем из [110]: $\beta_\lambda = 0,0023$.

Сопоставив β_E и β_λ увидим, что датчик, приготовленный из стандартных меди и константана, имел бы зависимость $\Delta E = f(q)$ с очень слабо выраженной выпуклостью в сторону ΔE . Для нашего случая больших q_q эта кривая с точностью до 2% совпадала бы с прямой линией, т. е. практически $\Delta E = f(t)$.

На рис. 55 представлены результаты градуировки всех 10 датчиков. Экспериментальные точки почти всех датчиков хорошо ложатся на прямую линию, что свидетельствует об одинаковом соотношении β_E и β_λ для использованных нами материалов, и приведенных в литературе.

Для некоторых из датчиков при хорошем попадании всех опытных точек на прямую линию эта прямая несколько не про-

ходит через начало координат. Это может объясняться возникновением химического источника тока в месте замазки щели в датчике (например, за счет жидкого стекла), постоянно по-

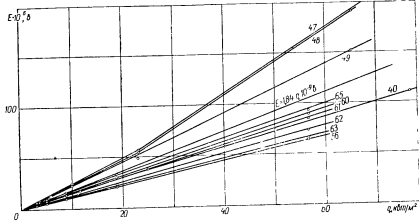


Рис. 55. Результаты измерений партии медно-константановых датчиков

сторонней помехой для данной серии опытов или, наконец, про стым дрейфом нуля гальванометра М-195/2 на два—четыре де ления в сторону отрицательных тепловых потоков. Предполо жение для простоты последнее, при корреляции данных перенесем прямые в начало координат, что при потоке в $5 \cdot 10^4 \text{ вт/м}^2$ может привести к погрешности в 1—2%

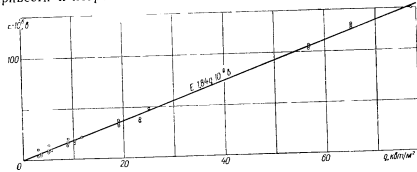


Рис. 56 Обобщенный график зависимости $E=f(q)$ для медно-константных новых датчиков

На рис. 56 данные по градуировке всех 10 датчиков совмещены по той же методике, что и для платино-константановых датчиков. Обработка экспериментальных данных методом наименьших квадратов показывает, что опытные точки ложатся на прямую линию с максимальным отклонением от нее в 5,5%

Для сравнения приведена расчетная кривая по указанным выше данным для американской стандартной медь-константановой термопары.

42. БАТАРЕЙНЫЕ ДАТЧИКИ ГАЛЕТНОГО ТИПА

Под таким названием мы объединяем группу батарейных датчиков (15—20 шт.), изготавляемых из константановых брусков и медных перемычек между ними и заключенных в металлические кожухи (см. табл. 2, № 1). Диаметр датчика 25—35, толщина 1,5—2 мм.

Приведем результаты градуировки первых двух батарейных датчиков с числом элементарных датчиков $n_1 = 50$ и $n_2 = 84$ и толщиной их соответственно 0,8 и 1 мм. Эти датчики предназначались для прибора по определению теплофизических характеристик изоляционных материалов, что и установило интервал тепловых потоков и способ градуировки Вторичным прибором при градуировке и использовании датчиков служил гальванометр М-195/2 с внутренним сопротивлением 111 ом и чувствительностью 4·

$\cdot 10^{-9}$ а/дел Для увеличения пределов измерения по потоку в цепь гальванометра последовательно включались магнитные сопротивления 115 ом (для диапазона $\times 2$) и в паре с ним 345 ом (для диапазона $\times 5$). Сопротивление датчика — 4 ом. С помощью этих добавочных сопротивлений датчики были программируированы для тепловых потоков величиной до $2 \text{ квт}/\text{м}^2$ (больший) и $3 \text{ квт}/\text{м}^2$. Как видно из рис. 57, в этих пределах градуировки опытные данные удовлетворительно ложатся на прямую линию (максимальное отклонение 6% — одна точка). Для тепловых потоков величиной более $3 \text{ квт}/\text{м}^2$ заметно небольшое искривление характеристики в сторону уменьшения чувствительности датчика Поскольку эти датчики вследствие рабо-

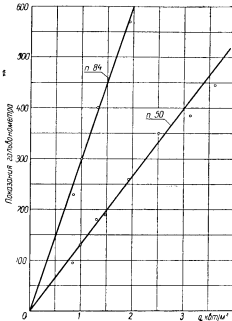


Рис. 57 Результаты градуировки батарейных датчиков галетного типа с гальванометром

гали только в паре с одним гальванометром М-195/2, по оси ординат оставлены деления прибора без перевода в милливольты.

Приведем также градуировочную характеристику датчика, предназначенного для измерения локальных кондуктивных тепловых потоков на установке одного из предприятий. Чувствительный элемент прибора изготовлен из 114 элементарных датчиков. Градуировался он на массивной металлической коробке, охлаждаемой проточной водой и укрепленной на кронштейне-координатнике.



Рис. 58 Градуировочный график галетного датчика с потенциометром

также некоторое снижение чувствительности датчика, т. е. отклонение от прямолинейности. Однако в этом интервале оно незначительно — для потока в $6 \cdot 10^3 \text{ вт}/\text{м}^2$ снижение чувствительности составляет по сравнению с потоком в $3 \cdot 10^3 \text{ вт}/\text{м}^2$ всего 3,7%.

Обработка данных показывает, что максимальный разброс данных для кривой линии составляет $\pm 3\%$, а для прямой во всем интервале $\pm 6\%$. Небольшое снижение чувствительности может происходить за счет изменения характеристик заполнителя пустот датчика (клей 88).

43. БАТАРЕЙНЫЕ ДАТЧИКИ СПИРАЛЬНОГО ТИПА

Из серии этих датчиков до градуировочных испытаний и практического использования доведены только пружинные датчики (см. табл. 2, № 4, 5). Первые датчики с кратностью около

600 и 1000 (размеры датчиков в металлическом кожухе $12 \times 1,2$ и $15 \times 1,5 \text{ мм}$) были проградуированы наклеенными на водоохлаждаемую коробку на тепловые потоки до $9 \cdot 10^3 \text{ вт}/\text{м}^2$.

Вторичным прибором для датчиков был милливольтметр типа ГНКП, имеющий две шкалы в милливольтах и в градусах для хромель-алюмелевой термопары. Использование этого прибора наглядно показало, что сигнал, развиваемый пружинным датчиком при тепловом потоке в $5 \cdot 10^3 \text{ вт}/\text{м}^2$, соответствует сигналу хромель-алюмелевой термопары, горячий спай которой находится при температуре в $250\text{--}400^\circ\text{С}$. Это свидетельствует о том, что характеристика выходного канала вполне позволяет подойти к решению задачи по исследованию локального теплообмена во вращающихся деталях, так как сигнал горячего спая термопары при 250°С передается существующими типами токосъемников с достаточно высокой точностью.

Из рис. 59 видно, что датчик с $n \approx 600$ имеет прямолинейную градуировочную характеристику с разбросом не более 1%. Датчик с $n \approx 500$ имеет больший разброс ($\pm 8\%$). Этот датчик был подвергнут повторной градуировке через месяц с тем же вторичным прибором. При этом опытные точки легли немного выше (в области больших тепловых потоков), чем при первой градуировке. Это может свидетельствовать о том, что либо первый раз датчик был недостаточно плотно при克莱ен к теплостойку, либо за время между градуировками заполнитель (клей 88) подсох, что увеличил концентрацию линий теплового потока металлом термоэлектродов. Впоследствии обе возможные при-

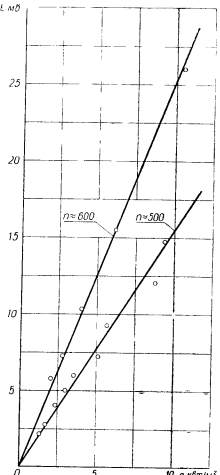


Рис. 59 Градуировочный график спиральных датчиков с милливольтметром

чины учитывались при работе с датчиками и все они проходили испытание на старение. Новые датчики с кратностью порядка 10^3 градуируются с потенциометром типа Р-307.

44. ИСКАЖЕНИЕ ТЕПЛОВОЙ КАРТИНЫ ИССЛЕДУЕМОГО ТЕЛА, ВНОСИМОЕ ДАТЧИКОМ ТЕПЛОВОГО ПОТОКА. МЕТОД ЭТА

При исследовании локального теплообмена с помощью датчика теплового потока его теплофизические свойства могут существенно отличаться от свойств материала испытуемого изделия. Поэтому, несмотря на малые размеры, датчик может как-то исказить тепловую картину. Подобные явления возникают и при измерении температуры твердого тела различного рода термометрами. Обычно при определении погрешности измерения температуры, например, термопарой за счет паза для термопары, условия сводят к характерным для плоской задачи [62], т. е. полагают, что паз имеет вид бесконечной прямолинейной канавки. В первом приближении паз считается заполненным непротивородным материалом. Для таких условий В. Е. Минашин и др. [62] получили решение уравнения теплопроводности аналитическим путем при граничных условиях 1-го рода, а также численные решения при условиях 3-го рода. Кроме того, они получили решения для пазов сложного сечения методом электромоделирования (также при отношении теплопроводностей тела и паза, равном бесконечности).

Имеющиеся в литературе попытки получить решение эллиптического уравнения для осесимметричной задачи [100, 119] аналитически также предполагают цилиндрическое сверление под термопару непротивородным. Аналогичная задача для электростатического поля решена Л. Д. Ландау и Е. М. Лишинец [55].

Исследовать влияние отношения теплопроводности датчика и испытуемой детали на погрешность в сигнале датчика за счет искажения линий теплового потока аналитическими методами нельзя, так как решение эллиптического уравнения с переменными коэффициентами, хотя в принципе и осуществимо, практически содержит непреодолимые препятствия.

Необходимость в определении степени возмущения картины теплового потока датчиком возникла в связи с изготовлением партии датчиков для определения локальных тепловых потоков в толще изоляционного материала. По теплопроводности этот материал может существенно отличаться от материала датчика, поэтому в районе заделки датчика неизбежно некоторое перераспределение линий теплового потока и, соответственно изотерм. Если теплопроводность датчика λ_d больше, чем теплопроводность материала λ_m , линии теплового потока должны «притягиваться» датчиком. Таким образом, через датчик будет

проходить больший тепловой поток, чем в том же месте материала без датчика. Сигнал датчика окажется завышенным.

Степень повышения сигнала за счет датчика можно представить себе как отношение сечения трубы тока без датчика к сечению той же трубы с датчиком. Выбранная трубка тока, естественно, должна пронизывать датчик

Интегрально по датчику эффект присутствия может быть оценен посредством коэффициента

$$k = \frac{d_m}{d_d},$$

где d_d — диаметр датчика, d_m — диаметр трубы тока, заполняющей потоком весь датчик на таком удалении, где возмущающее влияние датчика равно нулю

Все приведенные ниже соображения применимы только в простейших случаях, когда при отсутствии датчика линии тока во всей окрестности параллельны между собой.

Для того чтобы определить зависимость коэффициента k от отношения теплопроводностей материалов датчика и его окрестности, воспользуемся методом аналогии. Наиболее простым и удобным в данном случае стационарной задачи является метод электротеплоаналогии (ЭТА). Для получения картины возмущения больше всего подходит моделирование на электропроводной бумаге. В настоящее время с помощью интеграторов ЭГДА, использующих при моделировании электропроводную бумагу, решено очень большое количество задач гидромеханики, теплотехники, электронной оптики и т. д. Однако большинство этих задач двумерные или плоские. Наша же задача решения эллиптического уравнения Лапласа осесимметрична (датчик является отрезком цилиндра диаметром d_d).

П. Ф. Фильчаков [91] предложил методику моделирования осесимметричных задач на электропроводной бумаге, основанную на следующем свойстве уравнения Лапласа в цилиндрических координатах. Запишем это уравнение.

$$\frac{\partial^2 u}{\partial r^2} + \frac{1}{r} \frac{\partial u}{\partial r} + \frac{\partial^2 u}{\partial z^2} = 0. \quad (5.12)$$

Его можно представить в эквивалентном виде:

$$\frac{\partial}{\partial r} \left(r \frac{\partial u}{\partial r} \right) + \frac{\partial}{\partial z} \left(r \frac{\partial u}{\partial z} \right) = 0. \quad (5.13)$$

и моделировать на электропроводной бумаге как для случая плоской задачи, с условием, что электропроводность бумаги в направлении z постоянна, а в направлении r меняется по линейному закону

$$a_z = \text{const}; \quad a_r = kr \quad (k_1 = \text{const}). \quad (5.14)$$

В работе [91] изложен способ получения бумаги с анизотропной проводимостью, отвечающей условиям (5.14). Автор рекомендует склеивать последовательно листы электропроводной бумаги и выдерживать условия (5.14) ступенчато и показывает достаточно высокую точность, которую обеспечивают этим приемом, при решении различных осесимметричных задач. Однако в нашем случае использование этой методики привело бы к необходимости создать несколько образцов такого электропроводного картона (моделирующего материала, в который помещается датчик) и склеить в него образцы другого картона с резко отличной проводимостью, также удовлетворяющего условиям (5.14). Без достаточного навыка пространственный эффект, вызываемый значительной толщиной обоих листов картона и необходимостью их склейки между собой, привел бы к простоте к искашению картины распределения линий теплового потока или изотерм. Поэтому пришлось воспользоваться упрощенной схемой, представив датчик в виде бесконечно длинного стержня шириной d_s и толщиной δ т. е. перейти к плоской задаче. Для такой схемы коэффициент искажения линий теплового потока (отношение сечений) будет составлять

$$k = \frac{d_s}{d_1}.$$

Зависимость $k = f\left(\frac{\lambda_s}{\lambda_m}\right)$ определена на интеграторе ЭГДА-9/60 [92]. Этот универсальный интегратор служит для решения методом электроаналогии двумерных задач, описываемых уравнением эллиптического типа

$$\frac{\partial}{\partial x} \left[A_1(x, y) \frac{\partial u}{\partial x} \right] + \frac{\partial}{\partial y} \left[A_2(x, y) \frac{\partial u}{\partial y} \right] = 0, \quad (5.15)$$

коэффициенты которого суть кусочно-постоянные функции, т. е. сохраняют постоянное значение на достаточно больших участках площади. В нашем случае $A_1 = A_2 = \lambda$ и являются постоянными на участке исследуемого материала (λ_m) и на участке датчика (λ_s). С помощью этого интегратора можно реализовать граничные условия 1, 2 и 3-го рода. Данная задача имеет граничные условия 1-го рода, т. е. задаются постоянные значения температуры на плоскостях, достаточно удаленных от места размещения датчиков. На расстоянии в 10^2 заделка датчика даже при $\frac{\lambda_s}{\lambda_m} > 100$ не оказывает влияния. При использовании граничных условий первого рода на контурные линии модели накладываются шины и на них подаются потенциалы, пропорциональные температурам на границах. При электромоделиро-

вании выдерживаются также геометрическое подобие и подобие проводимостей бумаги, т. е.

$$\lambda_m : \lambda_s = \frac{1}{\rho_m} : \frac{1}{\rho_s}, \quad (5.16)$$

где ρ — удельное сопротивление бумаги

Эти условия осуществляются изготовлением из бумаги образца, подобного части исследуемого тела, с вклейкой в него датчику, и имеющего проводимость, удовлетворяющую условию (5.16). Далее при помощи делительного устройства измерительной схемы интегратора можно определить на модели линии равного потенциала, соответствующие изотермам натурного образца. При этом интересующие нас линии теплового потока, нормальные к изотермам, приходится строить графически, что неудобно и неточно. Методика моделирования на электропроводной бумаге позволяет находить и непосредственно линии теплового потока с помощью решения обращенной задачи, так называемой аналогии B [92]. Изотермы и линии теплового потока образуют ортогональную систему. Границочное условие $t_y = \text{const}$ можно заменить эквивалентным ему условием $\frac{dq}{dy} = 0$, и наоборот. Поэтому можно обратить нашу задачу с граничными условиями $t_y = \text{const}$ и $\frac{dq}{dy} = 0$ (последнее условие осуществляется простой воздушной изоляцией краев бумаги, параллельных линиям теплового потока — линиям тока) на $t = \text{const}$ и $\frac{dq}{dx} = 0$. Подобие проводимостей при этом также

должно быть обращено, т. е. $\lambda_m : \lambda_s = \rho_m : \rho_s$. Изотермы (экви-потенциалы), полученные при решении обращенной задачи, будут соответствовать линиям теплового потока для прямой задачи. Построение полной сетки изолиний получается поочередным решением обеих задач на одном поле.

На рис. 60 представлена схема интегратора ЭГДА-9/60 и модели. Шины расположены как для решения обратной задачи.

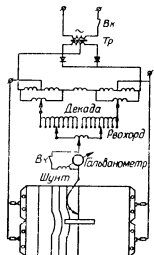


Рис. 60 Схема интегратора ЭГДА-9/60.

Электропроводная бумага имеет электронную проводимость поэтому измерения проводятся на постоянном токе, что обеспечивает высокую точность. Интегратор ЭГДА-9/60 представляет

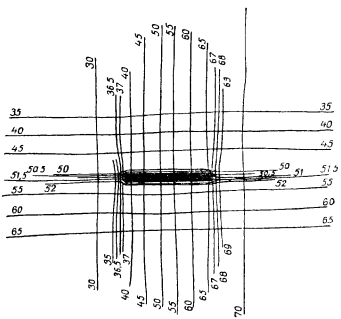


Рис. 61. Сетка изолиний при $t_A \lambda_M = \infty$.

с собой измерительный мост постоянного тока с выпрямителем для питания от сети переменного тока. Измерительное устройство состоит из градуированного потенциометра, составляющего два плеча моста, и гальванометра — индикатора равновесия

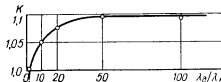


Рис. 62 График зависимости

$$k = f\left(\frac{j_1}{\lambda_M}\right).$$

Для отношений $\frac{\lambda_1}{\lambda_m} = 10$ и $\frac{\lambda_1}{\lambda_m} = \infty$ были решены и прямая и обратная задачи, т.е. вклеивались полоски бумаги, подобные

сечению датчика и имеющие $\rho_A = 10 \rho_m$ и $\rho_A = \frac{\rho_m}{10}$, или, соответственно, металлическая пластинка, которая для обращенной задачи вырезалась вместе с бумагой модели. Для этих случаев построена полная сетка линий функций тока и потенциала (рис. 61). Для остальных $\frac{\rho_A}{\rho_m}$ решалась только обратная задача, т. е. отыскивались непосредственно линии теплового тока. Отношение $\frac{d}{\delta}$ было принято равным 10. Величина k определялась непосредственным измерением и бралась как средняя из четырех измерений.

На рис. 62 представлен график зависимости $k = f\left(\frac{\lambda_3}{\lambda_1}\right)$. Из графика видно, что зависимость эта достаточно быстро приближается к постоянной величине $k = 1,1$.

45. ИССЛЕДОВАНИЕ ВОЗМУЩЕНИЙ, ВНОСИМЫХ ДАТЧИКОМ, ЧИСЛЕННЫМ МЕТОДОМ

Зависимость $k = f\left(\frac{t_{\lambda}}{\lambda_m}\right)$, полученная методом ЭТА, пригодна для двумерной задачи, т. е. для случая, когда датчик представляет собой бесконечный стержень толщиной δ и шириной d . Проверку возможности перехода к круглому датчику, т. е. к симметричной задаче, пришлось осуществить с помощью численного решения. Счет велся только для одного значения $= 50$ с гарантией попадания в зону $k = \text{const}$ (рис. 62).

Условия задачи аналогичны изложенным в предыдущем параграфе. Запишем их для цилиндрических координат

$$\frac{\partial^2 \Theta}{\partial z^2} + \frac{1}{a} \frac{\partial \Theta}{\partial a} + \frac{\partial^2 \Theta}{\partial a^2} = 0, \quad (5.17)$$

при граничных ус

$$\Theta(\rho, z)|_{z=0} = t_1 = \text{const.}$$

$$\Theta(\rho, z)|_{z=k} = t_3 = \text{const},$$

$$\left. \frac{\partial \Theta}{\partial p} \right|_{p=R} = 0.$$

Задачу решаем методом элементарных балансов [63]. Оба тела — исследуемое и датчик — разбиваются на элементарные объемы в виде колец толщиной Δr и высотой Δz (рис. 63). При-

няв температуру какой-либо окружности кольца t за расчетную, получим выражение для температуры колец, отстоящих от этой окружности на Δr и Δz : $t_{z-\Delta z}$, $t_{z+\Delta z}$, $t_{r-\Delta r}$, $t_{r+\Delta r}$.

К каждому элементарному объему применим закон подвода тепла теплопроводностью. Процесс считается стационарным и коэффициент теплопроводности для данного материала не зависит от координат и температуры.

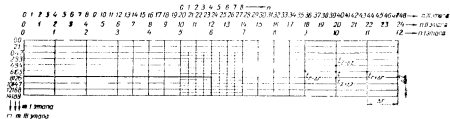


Рис. 63 К решению задачи о возмущении методом элементарных балансов

Количество тепла, вошедшего в элемент через верхнюю поверхность кольца:

$$Q_I = -\lambda_I \frac{t - t_{z-\Delta z}}{\Delta z} S_I = -\lambda_I \pi 2n \frac{\Delta r^2}{\Delta z} (t - t_{z-\Delta z}),$$

так как

$$\begin{aligned} S_I &= \pi (r_n^2 - r_{n-1}^2) = \pi \left[\left(r_n + \frac{\Delta r}{2} \right) + \left(r_n - \frac{\Delta r}{2} \right) \right] \times \\ &\times \left[\left(r_n + \frac{\Delta r}{2} \right) - \left(r_n - \frac{\Delta r}{2} \right) \right] = \pi 2r_n \Delta r = \pi 2n \Delta r^2 \quad (n \neq 0). \end{aligned}$$

Аналогично количество тепла, вошедшего в элемент через нижнюю поверхность кольца:

$$Q_{II} = -\lambda_{II} \frac{t - t_{z+\Delta z}}{\Delta z} S_{II} = -\lambda_{II} \pi 2n \frac{\Delta r^2}{\Delta z} (t - t_{z+\Delta z}).$$

Количество тепла, вошедшего через внутреннюю боковую поверхность:

$$Q_{III} = -\lambda_{III} \frac{t - t_{r-\Delta r}}{\Delta r} S_{III} = -\lambda_{III} \pi (2n-1) \Delta z (t - t_{r-\Delta r}),$$

так как

$$S_{III} = 2\pi r \Delta z = 2\pi \left(r_n - \frac{\Delta r}{2} \right) \Delta z = 2\pi \left(n\Delta r - \frac{\Delta r}{2} \right) \Delta z = \pi \Delta r \Delta z (2n-1).$$

Аналогично количество тепла, вошедшего через внешнюю боковую поверхность:

$$Q_{IV} = -\lambda_{IV} \frac{t - t_{r+\Delta r}}{\Delta r} S_{IV} = -\lambda_{IV} \pi (2n+1) \Delta z (t - t_{r+\Delta r}).$$

Ввиду стационарности процесса $\Sigma Q = 0$, т. е.

$$Q_I + Q_{II} + Q_{III} + Q_{IV} = 0.$$

Случай. Все четыре элемента состоят из одного материала, т. е.

$$\lambda_I = \lambda_{II} = \lambda_{III} = \lambda_{IV} = \lambda_u \quad (\text{или } \lambda_s).$$

$$a) n \neq 0$$

$$\begin{aligned} -\lambda \pi 2n \frac{\Delta r^2}{\Delta z} (t - t_{z-\Delta z}) - \lambda \pi 2n \frac{\Delta r^2}{\Delta z} (t - t_{z+\Delta z}) - \\ -\lambda \pi (2n-1) \Delta z (t - t_{r-\Delta r}) - \lambda \pi (2n+1) \Delta z (t - t_{r+\Delta r}) = 0. \end{aligned}$$

Сокращая на $\lambda \pi$ и решая относительно t , получим уравнение 1-го типа:

$$\begin{aligned} t = \frac{\Delta r^2}{2(\Delta r^2 + \Delta z^2)} t_{z-\Delta z} + \frac{\Delta r^2}{2(\Delta r^2 + \Delta z^2)} t_{z+\Delta z} + \\ + \frac{2(n-1) \Delta z^2}{4n(\Delta r^2 + \Delta z^2)} t_{r-\Delta r} + \frac{(2n+1) \Delta z^2}{4n(\Delta r^2 + \Delta z^2)} t_{r+\Delta r}. \quad (5.18) \end{aligned}$$

b) $n=0$ — кольцо вырождается в цилиндр, а расчетная окружность в точку, получаем уравнение 2-го типа для определения температуры на оси тела (у элемента три поверхности)

$$t = \frac{\Delta r^2}{2(\Delta r^2 + 2\Delta z^2)} t_{z-\Delta z} + \frac{\Delta r^2}{2(\Delta r^2 + 2\Delta z^2)} t_{z+\Delta z} + \frac{2\Delta z^2}{(\Delta r^2 + 2\Delta z^2)} t_{\Delta r}. \quad (5.19)$$

Случай. Соседние элементы состоят из разных материалов.

a) Оба верхних элемента из одного материала, нижние — из другого ($n \neq 0$). При выводе уравнения типа (5.18) необходимо иметь в виду, что

$$\lambda_I = \lambda_u \quad (\text{или } \lambda_s) = \lambda_{II}, \quad \lambda_{III} = \lambda_{IV} = \frac{\lambda_u S_I + \lambda_s S_{II}}{S_I + S_{II}} = \frac{\lambda_u + \lambda_s}{2},$$

так как $S_I = S_{II}$.

Получаем уравнение 3-го типа:

$$\begin{aligned} t = \frac{\lambda_u}{\lambda_u + \lambda_s} \frac{\Delta r^2}{\Delta r^2 + \Delta z^2} t_{z-\Delta z} + \frac{\lambda_s}{\lambda_u + \lambda_s} \frac{\Delta r^2}{\Delta r^2 + \Delta z^2} t_{z+\Delta z} + \\ + \frac{2n-1}{4n} \frac{\Delta z^2}{\Delta r^2 + \Delta z^2} t_{r-\Delta r} + \frac{2n+1}{4n} \frac{\Delta z^2}{\Delta r^2 + \Delta z^2} t_{r+\Delta r}. \quad (5.20) \end{aligned}$$

6) То же для $n=0$. Получаем уравнение 4-го типа:

$$t = \frac{\lambda_u}{\lambda_u + \lambda_x} \frac{\Delta r^2}{\Delta r^2 + \Delta z^2} t_{z-\Delta z} + \frac{\lambda_x}{\lambda_u + \lambda_x} \frac{\Delta r^2}{\Delta r^2 + 2\Delta z^2} t_{z+\Delta z} + \frac{2\Delta z^2}{\Delta r^2 + 2\Delta z^2} t_{\Delta r}. \quad (5.21)$$

в) Оба внешних элемента из одного материала, внутренне — из другого

$$\lambda_{III} = \lambda_u; \quad \lambda_{IV} = \lambda_x; \quad \lambda_I = \lambda_{II} = \frac{\lambda_u S_I + \lambda_x S_{II}}{S_I + S_{II}};$$

$$S_I = \pi \left[\left(r_n + \frac{\Delta r}{2} \right)^2 - r_n^2 \right] = \pi \frac{4n+1}{4} \Delta r^2;$$

$$S_{II} = \pi \frac{4n-1}{4} \Delta r^2;$$

$$S_I + S_{II} = \pi 2n \cdot \Delta r^2;$$

$$\lambda_{I,II} = \frac{4n(\lambda_x + \lambda_u) + (\lambda_u - \lambda_x)}{8n}.$$

Подставляя значение λ в уравнение 1-го типа получаем уравнение 5-го типа

$$t = \frac{a_1}{\Sigma a} t_{z-\Delta z} + \frac{a_1}{\Sigma a} t_{z+\Delta z} + \frac{a_2}{\Sigma a} t_{r-\Delta r} + \frac{a_3}{\Sigma a} t_{r+\Delta r}, \quad (5.22)$$

где

$$a_1 = \frac{(4n+1)\lambda_u + (4n-1)\lambda_x}{8n} 2n \frac{\Delta r^2}{\Delta z}; \quad a_2 = \lambda_x (2n-1) \Delta z; \\ a_3 = \lambda_u (2n+1) \Delta z.$$

г) Три элемента из одного материала, один — из другого (угол датчика)

$$\lambda_I = \lambda_u; \quad \lambda_{II} = \frac{(4n+1)\lambda_u + (4n-1)\lambda_x}{8n}; \quad \lambda_{III} = \frac{\lambda_u + \lambda_x}{2}; \quad \lambda_{IV} = \lambda_u.$$

Расчетное уравнение принимает вид уравнения 6-го типа

$$t = \frac{a_1}{\Sigma a} t_{z-\Delta z} + \frac{a_2}{\Sigma a} t_{z+\Delta z} + \frac{a_3}{\Sigma a} t_{r-\Delta r} + \frac{a_4}{\Sigma a} t_{r+\Delta r}, \quad (5.23)$$

где

$$a_1 = \lambda_u 2n \frac{\Delta r^2}{\Delta z}; \quad a_2 = \frac{(4n+1)\lambda_u + (4n-1)\lambda_x}{8n};$$

$$a_3 = \frac{\lambda_u + \lambda_x}{2} (2n-1); \quad a_4 = \lambda_u (2n+1).$$

Таким образом исходное дифференциальное уравнение (5.17) заменено системой алгебраических уравнений первой степени (5.18—5.23). Значение искомой функции t будем находить таким образом, чтобы на контуре области она удовлетворяла граничным условиям (5.17), а в каждой внутренней точке определялась из четырех соседних значений при помощи какого-либо из уравнений (5.18—5.23).

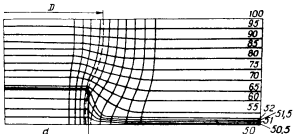


Рис. 64 Изотермы и линии теплового потока для тонкой пластины

Считаем, что в точках каждой окружности температуры неизвестны (требование осесимметричности). Задаем на всех внутренних окружностях принятой разбивки значения температур взяты из опытов по электромоделированию, и принимаем эти системы за приближение № 1. Решаем систему и получаем приближение № 2 и т.д. Процесс считаем оконченным, когда в пределах заданной точности последующее приближение совпадает с предыдущим — его и считаем решением задачи о поле температур. Проводя ортогональные линии к изотермам, находим линии теплового потока.

Из опытов по электромоделированию видно что при любом

искривлении тины теплового тока полностью прекращается лишь на расстоянии $10d$ от датчика. Мы не могли сразу принять для разбивки такое расстояние, так как при минимальном числе участков на половине толщины датчика из силу двойной симметрии рассматриваем только четверть датчика (рис. 63), равном трем, общее число участков по оси z составило бы 63. При $R=10d$ и тех же условиях разбивки общее число уравнений составило бы 63² что очень затруднило и заметлило бы подсчет. Поэтому мы воспользовались таким приемом. Выделяем участок исследуемого тела таких размеров, что бы на его границах искривление линий теплового потока не превышало 5% (т. е. $k_x = d_z = 100$; $d_{z-\Delta z} \leq 1.05$). Задав на краиних плоскостях такого участка граничные условия $t=100$ и $t=0$ решим задачу для случая тонкой пластины с заданным в нее

датчиком, а затем, приняв полученное решение за исходное, будем решать ее и для случая массивной плиты.

Изложенному выше требованию $k_x \leq 1,05$ удовлетворил участок тела с размерами $h=3\delta$; $R=2r$ (рис. 63).

1 этап. Разбиваем рассматриваемую область так

$$M=9, \Delta z = \frac{\frac{3}{2}h}{M} = \frac{1,5}{9} = \frac{1}{6} \text{ м.и.}$$

$$N=12, \Delta r = \frac{2r}{N} = \frac{10}{12} = \frac{5}{6} \text{ м.м.}$$

$$t_{12, m} = 100 - \frac{100-50}{3h/2} \Delta z \cdot m = 100 - 50 \frac{m}{9}.$$

Границные условия:

m	0	1	2	3	4	5	6	7	8	9	10	11	12
n	12	100	95	89	83	78	72	67	61	56	50		
0	12	100	95	89	83	78	72	67	61	56	50		
1	100	95	89	83	78	72	67	61	56	50			
2	95	89	83	78	72	67	61	56	50				
3	89	83	78	72	67	61	56	50					
4	83	78	72	67	61	56	50						
5	78	72	67	61	56	50							
6	72	67	61	56	50								
7	67	61	56	50									
8	61	56	50										
9	56	50											
10	50												
11													
12													

m	0	1	2	3	4	5	6	7	8	9	10	11	12
n	0	100	100	100	100	100	100	100	100	100	100	100	100
0	0	100	100	100	100	100	100	100	100	100	100	100	100
1	50	50	50	50	50	50	50	50	50	50	50	50	50
2													
3													
4													
5													
6													
7													
8													
9													
10													
11													
12													

Система уравнений такова:

$$\begin{aligned} 1) t_{n, m} &= \frac{100}{208} (t_{n, m-1} + t_{n, m+1}) + \frac{2n-1}{4n} \frac{8}{208} t_{n-1, m+} + \\ &+ \frac{2n+1}{4n} \frac{8}{208} t_{n-1, m-} \\ n &= 1, 2, 3, 4, 5, \quad n=6, \\ m &\neq 6, \quad m \neq 6, 7, 8; \\ 2) t_{0, m} &= \frac{100}{216} (t_{0, m-1} + t_{0, m+1}) + \frac{16}{216} t_{1, m} \\ m &\neq 6; \\ 3) t_{n, 6} &= \frac{25}{51 \cdot 26} t_{n, 5} + \frac{50 \cdot 25}{51 \cdot 26} t_{n, 7} + \frac{2n-1}{4n} \frac{1}{26} t_{n-1, 6} + \\ &+ \frac{2n+1}{4n} \frac{1}{26} t_{n-1, 6} \end{aligned} \quad (5.24)$$

будем решать ее и для случая массивной плиты.

Изложенному выше требованию $k_x \leq 1,05$ удовлетворил участок тела с размерами $h=3\delta$; $R=2r$ (рис. 63).

1 этап. Разбиваем рассматриваемую область так

$n=1, 2, 3, 4, 5;$

$$4) t_{0, 6} = \frac{25}{51 \cdot 27} t_{0, 5} + \frac{50 \cdot 25}{51 \cdot 27} t_{0, 7} + \frac{2}{27} t_{1, 6};$$

$$5) t_{0, m} = 61002^{-1} [29375 (t_{0, m-1} + t_{0, m+1}) + \\ + 2200 t_{5, m} + 52 t_{r, m}]$$

$$m=7, 8; \\ 6) t_{0, 6} = 31749^{-1} [1200 t_{0, 5} + 29375 t_{0, 7} - 1122 t_{0, 6} + 52 t_{r, 6}].$$

Задаемся приближением № 1 (табл. 3).

Таблица 3

0	1	2	3	4	5	6	7	8	9	10	11	12
100	100	100	100	100	100	100	100	100	100	100	100	100
90	90	91	91	92	92	93	93	94	94	95	95	95
84	84	85	85	86	86	87	87	88	88	89	89	89
78	78	79	79	80	80	81	81	82	82	83	83	83
73	73	74	74	75	75	76	76	77	77	78	78	78
67	67	68	68	69	69	70	70	71	71	72	72	72
61	61	62	62	63	63	65	65	66	66	67	67	67
55	55	56	56	57	57	59	59	60	60	61	61	61
51	51	52	52	53	53	54	54	55	55	56	56	56
50	50	50	50	50	50	50	50	50	50	50	50	50

В результате счета приближение № 13 (табл. 4) совпало с приближением № 12 в пределах точности до целых. Картинка распределения температуры получилась следующая

Таблица 4

0	1	2	3	4	5	6	7	8	9	10	11	12
100	100	100	100	100	100	100	100	100	100	100	100	100
93	93	93	93	93	93	93	93	94	94	95	95	95
86	86	86	86	86	86	87	87	88	88	89	89	89
79	79	79	79	79	79	80	81	81	82	83	83	83
71	71	71	71	71	71	72	75	76	77	78	78	78
62	62	62	62	62	63	70	71	71	72	72	72	72
53	53	53	53	53	53	53	65	65	66	67	67	67
53	53	53	53	53	53	53	60	60	60	61	61	61
52	52	52	52	52	52	52	55	55	56	56	56	56
50	50	50	50	50	50	50	50	50	50	50	50	50

II этап. Уменьшаем Δr и ограничиваем область (рис. 64).

$$M=9, \Delta z = \frac{1}{6};$$

$$N=24, \Delta r = \frac{5}{12}.$$

Границные условия

n'	0	1	2	3	4	5	6	7	8	9	10	11	12
m	0	100	100	100	100	100	100	100	100	100	100	100	100
9	50	50	50	50	50	50	50	50	50	50	50	50	50
0	100	100	100	100	100	100	100	100	100	100	100	100	100

n'	0	1	2	3	4	5	6	7	8	9	
m	0	100	93	86	79	71	62	53	52	51	50
12	100	94	88	82	77	71	66	60	56	50	50

Система уравнений такова:

$$\begin{aligned}
 1) \quad & t_{n-m} = \frac{25}{58} (t_{n-m-1} + t_{n-m-1}) - \frac{2n-1}{4n} \frac{8}{58} t_{n-1-m} \\
 & + \frac{2n-1}{4n} \frac{8}{58} t_{n-1-m} \\
 & m \neq 6, \quad m=6, 7, 8, \\
 & n'=1, 2, 3, 4, 5, \quad n'=6; \\
 3) \quad & t_{n-1} = \frac{25}{51 \cdot 29} t_{n'} + \frac{50 \cdot 25}{51 \cdot 29} t_{n'-1} \quad (5.25) \\
 & \frac{2n-1}{4n} \frac{4}{29} t_{n-1,6} + \frac{2n-1}{4n} \frac{4}{29} t_{n-1,1} \\
 & n'-1, 2, 3, 4, 5; \\
 5) \quad & t_{i-m} = 27750^{-1} [11995(t_{6, m-1} - t_{i-m})] - 3680t_{i-m} \\
 & + 80t_7 \\
 & m=7, 8, \\
 6) \quad & t_{i-1} = 72159^{-1} [2400t_{6,5} + 59975t_{6,7} - 9384t_{5,6} + 400t_{7,6}].
 \end{aligned}$$

2 и 4 е уравнения остаются такими же, как и на I этапе
Приближение № 1 в данном случае имеет следующий вид

(табл. 5)
Приближение № 16 (табл. 6) с точностью до целых совпало

с приближением № 15

III этап Получаем более подробную картину в следующей
области (см рис 64)

$$M=18; \quad \Delta z = \frac{1,5}{18} = \frac{1}{12},$$

$$N=48; \quad \Delta r = \frac{10}{48} = \frac{5}{24}.$$

Таблица 5

n'	0	1	2	3	4	5	6	7	8	9	10	11	12
m	100	100	100	100	100	100	100	100	100	100	100	100	100
9	93	93	93	93	93	93	93	93	93	93	94	94	94
8	86	86	86	86	86	87	87	87	88	88	88	88	88
7	79	79	79	79	79	80	80	81	81	81	82	82	83
6	71	71	71	71	72	72	74	75	76	76	77	77	77
5	62	62	62	62	62	63	65	70	70	71	71	71	75
4	53	53	53	53	53	53	65	65	65	65	66	66	66
3	52	52	52	52	52	52	60	60	60	60	60	60	67
2	51	51	51	51	51	51	55	55	55	55	55	55	8
1	50	50	50	50	50	50	50	50	50	50	50	50	9

Таблица 6

n'	0	1	2	3	4	5	6	7	8	9	10	11	12
m	100	100	100	100	100	100	100	100	100	100	100	100	100
9	93	93	93	93	93	94	94	94	94	94	94	94	94
8	86	88	88	88	88	88	88	88	88	88	89	88	88
7	79	79	79	79	79	79	81	82	82	82	82	82	83
6	71	71	71	71	71	71	74	76	77	77	77	77	77
5	62	62	62	62	62	62	68	70	71	71	71	71	75
4	53	51,9	51,9	51,9	51,9	51,9	52,0	63	65	65	66	66	66
3	52,0	51,4	51,4	51,4	51,4	51,4	51,5	58	60	60	60	60	67
2	51	51	51	51	51	51	51	54	55	55	55	55	8
1	50	50	50	50	50	50	50	50	50	50	50	50	9

Границные условия

n'	0	1	2	3	4	5	6	7	8
m	0	88	88	88	88	88	88	88	88
14	50	50	50	50	50	50	50	50	50

n'	0	1	2	3	4	5	6	7	8	9	10	11	12	13	14	
m	0	88	84	79	75	71	65	62	60	51,9	51,6	51,4	51,2	51	50,5	50
8	88	85	82	79	76	73	70	68	65	63	60	58	55	52	50	50

Система уравнений

$$1) t_{n',m} = \frac{25}{58} (t_{n-m'-1} + t_{n-m'-1}) + \frac{2n-1}{4n} \frac{4}{29} t_{n'-1,m'+1}$$

$$+ \frac{2n+1}{4n} \frac{4}{29} t_{n'+1,m}$$

$$m' \neq 8, \quad m' \neq 8, 9, 10, 11, 12, 13,$$

$$n''=1, 2, 3, \quad n''=4;$$

$$3) t_{n',n''} = \frac{25}{51 \cdot 29} t_{n',7} + \frac{50 \cdot 25}{51 \cdot 29} t_{n',n''} +$$

$$\frac{2n-1}{4n} \frac{4}{29} t_{n'-1,n''} - \frac{2n+1}{4n} \frac{4}{29} t_{n'+1,n''}$$

$$n''=1, 2, 3;$$

$$5) t_{1,m} = 280734^{-1} [121175(t_{1,m-1} + t_{1,m'-1}) +$$

$$37600t_{1,m} + 784t_{1,m'}]$$

$$m'=9, 10, 11, 12, 13;$$

$$6) t_{4,8} = 145935^{-1} [4800t_{1,7} + 121175t_{4,9} + 19176t_{3,8}]$$

$$784t_{4,8}].$$
(5.26)

2 и 4-е уравнения остаются такими же, как и на I этапе
Приближение № 1 в данном случае имеет такой вид (табл. 7)

Таблица 7

0	1	2	3	4	5	6	7	8	
88	88	88	88	88	88	88	88	88	0
84	84	84	84	85	85	85	85	85	1
79	79	79	79	80	81	81	82	82	2
75	75	75	75	77	78	78	79	79	3
71	71	71	71	71	72	72	74	75	4
66	66	66	66	67	67	70	72	73	5
62	62	62	62	63	66	69	70	70	6
58	57	57	57	57	57	58	63	66	7
51,9	51,7	51,7	51,7	51,7	51,9	60	63	65	8
51,6	51,6	51,6	51,6	51,7	51,6	58	61	62	9
51,4	51,4	51,4	51,4	51,4	51,5	56	58	59,5	10
51,2	51,2	51,2	51,2	51,2	51,2	54	56	57	11
51	50,9	50,9	50,9	50,9	50,9	53	54	55	12
50,5	50,5	50,5	50,5	50,5	50,5	51,5	52	52	13
50	50	50	50	50	50	50	50	50	14

Останавливаем счет на приближении № 28 (табл. 8)

Таблица 8

0	1	2	3	4	5	6	7	8	
88	88	88	88	88	88	88	88	88	0
84	84	84	84	84	84	84	85	85	1
79	79	79	79	80	81	81	82	82	2
75	75	75	75	75	77	78	78	79	3
71	71	71	71	71	74	75	75	76	4
66	66	66	66	67	67	70	72	73	5
62	62	62	62	62	68	68	69	70	6
58	57	57	57	57	57	58	63	66	7
51,9	51,7	51,7	51,7	51,7	51,9	60	63	65	8
51,6	51,6	51,6	51,6	51,7	51,6	58	61	62	9
51,4	51,4	51,4	51,4	51,4	51,5	56	58	59,5	10
51,2	51,2	51,2	51,2	51,2	51,2	54	56	57	11
51	50,9	50,9	50,9	50,9	50,9	53	54	55	12
50,5	50,5	50,5	50,5	50,5	50,5	51,5	52	52	13
50	50	50	50	50	50	50	50	50	14

Полученные графики изотерм и построенные линии теплового потока для случая тонкой пластины изображены на рис. 65

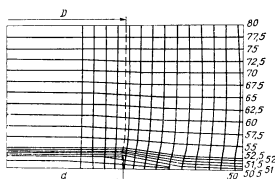


Рис. 65 Изотермы для пластины с $d/h = 1$

Это распределение температур было принято за исходное при отношении толщин плиты и датчика, равного 20. Дальнейший подсчет производился по тем же уравнениям и приближение № 24 совпало с точностью до десятых с приближением № 23.

Измерение величин d и D (рис. 65) дает значение $k = \frac{D^2}{d^2} = 1,08$,

что достаточно хорошо совпадает с результатами электромоделирования и подтверждает правильность определения величины

k как отношения сечений линий теплового потока, проходящих через датчик, в месте отсутствия искажения и на датчике

Накопленный опыт счета позволил решить задачу о возмущении тепловых картин твердого тела при размещении датчика на его поверхности (исследование конвективного теплообмена). Соответственно заданию граничных условий 3-го рода:

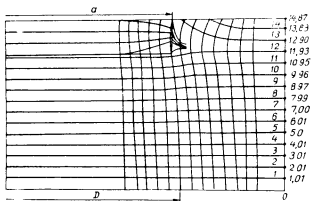


Рис. 66. Картина возмущения при расположении датчика на поверхности изделия

уравнениям типа (5.24) пришлось добавить уравнения для точек тела, лежащих на его поверхности (рис. 66)

1 Соседние элементы из одного материала

$$t = \frac{a_1}{b} t_{cp} + \frac{a_2}{b} t_{z-\Delta z} - \frac{a_3}{b} t_{r-\Delta r} + \frac{a_4}{b} t_{r+\Delta r};$$

$$a_1 = \alpha \cdot 2n \cdot \Delta r^2; \quad a_2 = \lambda \cdot 2n \cdot \frac{\Delta r^2}{\Delta z}; \quad a_3 = \nu \cdot (2n-1) \frac{\Delta z}{2};$$

$$a_4 = \lambda \cdot (2n-1) \frac{\Delta z}{2}; \quad b = \sum_{i=1}^4 a_i.$$

2 То же для точки на оси

$$t = \frac{a_1}{b} t_{cp} + \frac{a_2}{b} t_{z+\Delta z} - \frac{a_3}{b} t_{r-\Delta r};$$

$$a_1 = -\frac{\alpha \Delta r^2}{4}, \quad a_2 = -\frac{\Delta r^2}{4 \Delta z}, \quad a_3 = -\frac{\Delta z}{2}, \quad b = \sum_{i=1}^3 a_i$$

3 Соседние элементы из разных материалов (угол датчика)

$$t = \frac{a_1}{b} t_{cp} + \frac{a_2}{b} t_{z-\Delta z} - \frac{a_3}{b} t_{r-\Delta r} + \frac{a_4}{b} t_{r+\Delta r};$$

$$a_1 = \alpha \cdot 2n \Delta r^2; \quad a_2 = \frac{(4n+1)\lambda_u + (4n-1)\lambda_s}{4} \frac{\Delta r^2}{\Delta z};$$

$$a_3 = \lambda_s (2n-1) \frac{\Delta z}{2}; \quad a_4 = \lambda_u (2n-1) \frac{\Delta z}{2}; \quad b = \sum_{i=1}^3 a_i.$$

В этих уравнениях t_{cp} означает температуру среды на большом удалении от поверхности, α — коэффициент теплоотдачи

Для того чтобы попасть в зону $k=\text{const}$ (по-прежнему $k = \frac{d^4}{d^2}$, где d_s — диаметр сечения линий тока в зоне их параллельности, d — диаметр датчика), отношение $\frac{\lambda_s}{\lambda_u}$ было взято равным 50. Чтобы условия на границе тела существенно отличались от граничных условий 1-го рода, значение критерия $B_1 = \frac{\alpha \cdot l}{k}$ на датчике было взято достаточно малым $B_1 = 0.5 \cdot 10^{-3}$ откуда при $\lambda_s = 50 \text{ вт}/\text{м} \cdot \text{град}$ и $l = 1 \cdot 10^{-2} \text{ м}$ получаем $\alpha = 25 \text{ вт}/\text{м}^2 \cdot \text{град}$.

На противоположной грани пластины, как и в предыдущих случаях, задано постоянство температуры.

Результаты счета приведены на рис. 66

Величина k получилась равной $k = 1.05$, т. е. даже при таком сильно отличающемся граничными условиями случае коэффициент искажения невелик и может в случае необходимости быть легко учтен

ГЛАВА VI

ПРИМЕНЕНИЕ ДАТЧИКОВ ТЕПЛОВОГО ПОТОКА В ТЕПЛОТЕХНИЧЕСКОМ ЭКСПЕРИМЕНТЕ

46. ИЗМЕРЕНИЕ ЛОКАЛЬНЫХ ТЕПЛОВЫХ ПОТОКОВ В ИЗДЕЛИЯХ С $\lambda=0.2-2.0 \text{ вт}/\text{м} \cdot \text{град}$

В 1960—1961 гг. по товарам с исследовательскими предприятиями были начаты разработки, исследования и изготовление малыми сериями приборов для измерения местных тепловых потоков, главным образом для случая заделки датчиков в массе теплоизоляционного материала ($\lambda = 0.2-2.5 \text{ вт}/\text{м} \cdot \text{град}$)

По условиям технических заданий заказчиков, интервал измеряемых тепловых потоков составляет $(0,1 \dots 1,4) \cdot 10^6 \text{ вт}/\text{м}^2$, а рабочая температура датчика может доходить вплоть до 1000°C . Комплект датчиков из 10 шт должен обслуживаться одновременно регистрирующим прибором, располагающимся на рас-

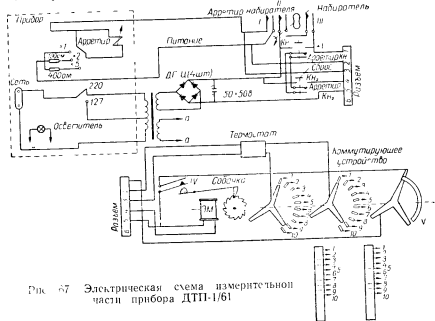


Рис. 67 Электрическая схема измерительной части прибора ДТП-1/61

стоянии 8–10 м от датчиков. Те же датчики могли располагаться и на поверхности теплопроводного материала с λ до $80 \text{ вт}/\text{м}\cdot\text{град}$.

Согласно техническим заданиям, были изготовлены и испытаны платино-константановые датчики. Технология их изготовления градуировочные кривые и коэффициенты коррекции за счет разных λ датчика и материала приведены соответственно в разделах 31, 41 и 46. Здесь мы ограничимся рассмотрением вопросов коммутации малых сигналов датчиков и конструктивного оформления аппаратуры [23].

На рис. 67 представлена электрическая схема измерительной части прибора. Вся аппаратура комплектуется в двух агрегатах, соединенных между собой удлинительным проводом с разъемником (выводы с надписями «Разъем»).

В одном из агрегатов собрано коммутирующее устройство и термостат переходных сплавов. Шаговый искатель коммутирует устроства позволяют подключить одновременно десять датчиков.

Все контакты панели и искателя звездочки и ведущие в термостат проводники выполнены из платины, для предотвращения помех, могущих возникнуть при переключениях цепи.

При прокатке заготовок звездочек искателя был подобран режим вальцовки и промежуточных отжигов таким образом, чтобы в окончательном размере заготовка оказалась слегка нагревированной. Это позволило придать звездочкам нужную упругость для получения надежного контакта.

Шаговый искатель управляется при помощи телефонного набирателя, помещенного рядом с регистрирующим прибором с агрегатом управления. Набиратель имеет десять цифр, соответствующих парам контактов искателя, и при помощи набирателя можно послать нужное количество импульсов на электромагнитный привод искателя. В управлении шаговым искателем могут участвовать также две кнопки, помещенные под набираемой. Одна из них (на рис. 68 К1) служит для последовательной записи показаний датчиков и посыпает при нажатии одиночный сигнал, включающий очередную пару контактов. Вторая кнопка (К12) служит для возвращения искателя в нулевое положение (сигнал на регистрирующий прибор при этом не подается), ее необходимо нажимать перед каждым набором номера датчика при помощи набирателя, а также по окончании работы с прибором (кнопка сброса).

Вся система дистанционного управления, во избежание попадания на чувствительный элемент случайных импульсов, снабжена арретирами, которые закорачивают прибор при срабатывании того или иного органа управления.

В агрегате управления размещен также блок питания, дающий напряжение на коммутирующее устройство и светильник прибора. Блок питания работает от сети переменного тока 127 или 220 в. Установка на нужное напряжение производится фишкой, находящейся под шкалой прибора слева. С помощью находящегося справа под шкалой переключателя устанавливается соответствующий диапазон шкалы или же арретируется рамка чувствительного элемента. В качестве последнего использован чувствительный элемент гальванометра М-195/2, рамка которого имеет сопротивление 93 ом. Общее сопротивление цепи, включая датчик, удлинительные провода и переходы, составляет 100 ом. Изменение диапазона измерений тепловых потоков достигается простым включением в цепь манганиновых сопротивлений 100 ом (для удвоения показаний шкалы) или 400 ом (показания шкалы увеличиваются в пять раз).

Каждый датчик был проградуирован вместе с агрегатами управления и коммутаций, некоторые датчики градуировались повторно после проверки их работы в различных условиях.

При передаче аппаратуры представителям заказчика две датчики, на выбор, были подвергнуты контрольным испытаниям — градуировке, показавшим их удовлетворительную стабильность и достаточно высокую точность измерений.

47. ПРИБОР ДЛЯ ОПРЕДЕЛЕНИЯ ТЕПЛОФИЗИЧЕСКИХ КОНСТАНТ

Возможность измерения с помощью датчиков местных значений достаточно малых потоков тепла, распространяющегося вдоль образца, позволила нам предложить прибор для определения теплопроводности,

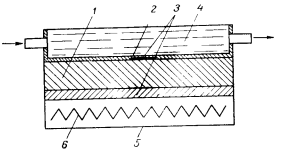


Рис. 68 Схема прибора для определения теплопроводности

определения теплофизических констант материалов по методу плоской плиты (рис. 68).

Обычно приборы для исследования материалов с малой теплопроводностью, использующие метод плоской плиты, весьма громоздки. Тепловой поток чаще всего измеряется по расходу громоздкими термометрами или по нагреву охлаждающей жидкости. Последний способ у нас принят как стандартный (ГОСТ 7076-54). Оба эти способа предполагают наличие охранных калориметров или нагревателей, устройство для контроля отсутствия утечек тепла, мерных баков и т. д. Для каждого испытания обычно требуется 6–8 ч. Использование датчиков теплового потока для измерения тепловых потоков через пластину позволяет уменьшить размер образцов, отказаться от охранных нагревателей или калориметров, существенно сократить время испытаний (с 6–8 ч до 10–45 мин).

Прибор состоит из следующих элементов: пластины испытуемого материала 1, плоского электронагревателя с регулирующей мощностью 6, выравнивающие пластины из высокотеплопроводного материала 5 и холодильника с проточной водой 4. В дно холодильника, по центру его, заделан датчик генератора потока 2 и одна из головок дифференциальной термопары 3 для измерения перепада температуры по толщине образца. Второй спай термопары заделан с противоположной стороны образца в центре горячей плиты.

Измерительная схема включения термопар позволяет производить дифференциальные измерения как разности температур на противоположных гранях образца, так и абсолютных их температур. Поверхность датчика и головки термопар при испытании контактируются с поверхностями испытуемой пластины.

Для установки в прибор наиболее подходят батарейные датчики галетного и пружинного типов. Чувствительность датчиков позволяет проводить испытания на малых значениях теплового потока с целью получения значений λ в достаточно узком диапазоне температур между верхней и нижней гранями образца. Это позволит, в частности, измерять теплопроводность влажных материалов без опасения нарушения поля влажности при теплопроводности за счет пропускания теплового потока.

Циаплон тепловых потоков, измеряемых датчиком, достаточно велик для того, чтобы при фиксированной разности температур измерять теплопроводности теплоизоляционных, строительных и конструкционных материалов. По теплопроводности материала датчика незначительно отличается от материала дна холодильника и поэтому искажения изотермических плоскостей при наличии датчика не происходит.

Работа с прибором для определения λ состоит в следующем. Собираются все элементы прибора (требования к контакту на поверхности обычные, при необходимости применяется теплопроводная смесь — замес толченого графита на поливиниловой смоле так же и т. п.). Включается нагреватель на мощность, соответствующую примерным значениям средней температуры образца и подается охлаждающая вода. Об установившемся тепловом состоянии судят по неизменности показаний датчика термопары. Показания датчика и термопар регистрируются одним и тем же потенциометром Р-307 или ПП. Скоро будут закончены проработки и выпущен первый промышленный образец λ -прибора описанного типа. В принципе с помощью датчиков тепlopроводность можно определять при различных давлениях и газовых средах.

Мы измеряли коэффициенты теплопроводности трех новых изоляционных материалов, представленных одним из промышленных предприятий, на макете прибора. Первым подвергся испытаниям стеклотекстолит. Задача по определению зависимости $\lambda = f(t_{cp})$ для стеклотекстолита была в известной мере контрольной. Не имея надежных данных для этой зависимости предприятие уже провело серию опытов по исследованию теплообмена с деталями из стеклотекстолита, в том числе опыты по которым имеются многочисленные обработки и данные. Поэтому в первом λ -приборе устанавливались одновременно два датчика и две дифференциальные термопары. Испытуемая пластина имела продолговатую форму для параллельного раз-

мешения двух комплектов измерительных приборов. Датчики менялись местами в разных опытах. В этом приборе были испытаны оба типа батарейных датчиков — галетного и спирального типов. Толщина пластин составляла 2,5; 10 и 17 мм (между

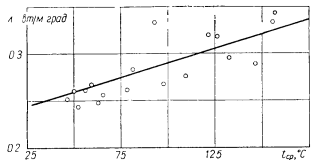


Рис. 69. Температурная зависимость теплопроводности для стеклотекстолита

головками термопары), ширина и длина — 100 и 200 мм. Опытные данные по определению теплопроводности стеклотекстолита при прохождении теплового потока поперек волокон стеклоткани приведены на рис. 69. В исследованных пределах температур 40—170°C зависимость $\lambda=f(t_{cp})$ можно представить уравнением прямой [28]:

$$\lambda=0,215+0,000756t_{cp} \text{ вт}/\text{м} \cdot \text{град}. \quad (6.1)$$

Максимальный разброс опытных точек от прямой, соответствующей этому уравнению, составляет $\pm 12\%$. По свидетельству

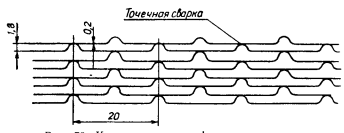


Рис. 70 Конструкция стальфольевой изоляции

заказчиков, использование наших данных при обработке их опытов привело к хорошему взаимному совпадению.

Исследование зависимости $\lambda=f(t_{cp})$ было проведено нами также для стальфольевой изоляции. Эскиз ее устройства приведен на рис. 70. Диаметр образца составлял 170 мм, толщина 17 мм. Боковая поверхность образца тщательно изолировалась

для предотвращения просачивания воздуха. Кроме того, отсутствие радиального растекания тепла контролировалось также с помощью нескольких термопар, приваренных к горячей и холдной плоскостям образца на различных радиусах. На рис. 71

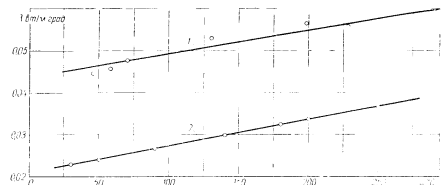


Рис. 71 График зависимости $\lambda=f(t_{cp})$ для стальфоли (1) и воздуха (2)

представлены данные зависимости $\lambda=f(t_{cp})$. Для сравнения приведены также данные для чистого воздуха. В интервале температур 30—300°C зависимость эта может определяться из уравнения прямой линии.

$$\lambda=0,0436+0,000056t_{cp} \text{ вт}/\text{м} \cdot \text{град} \quad (6.2)$$

при максимальной погрешности за счет разброса точек не выше чем $\pm 4\%$. Время выхода λ -прибора на стационарный режим при работе со стальфолью составляло 30—80 мин.

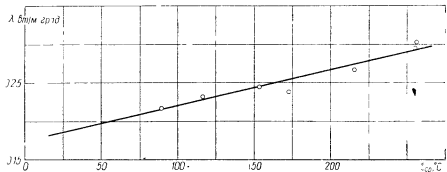


Рис. 72 График зависимости $\lambda=f(t_{cp})$ для пеносиля

Наконец, на тех же условиях нами исследовалась теплопроводность пеносиля с плотностью 0,57 г/см³. Для стальфоли и пеносиля использовались батарейные датчики с кратностью около 100 и чувствительностью порядка 10^{-3} мв/м²·вт. Реги-

стрия сигнала датчиков и термопар производилась через переключатель одним потенциометром Р-307.

Опытные данные для пеносиала (рис. 72) также хорошо укладываются на прямую линию с уравнением

$$t = 0.175 + 0.000454 t_{\text{ср}} \text{ вт/м} \cdot \text{град} \quad (6.3)$$

с разбросом не более 5% (1 точка).

Ввиду малой постоянной времени датчика (около 2–3 сек для батарейного датчика) эти же прибором можно пользоваться и для определения температуропроводности a и, таким образом из одного опыта получать теплофизические константы a , c .

48. ИСПОЛЬЗОВАНИЕ ДАТЧИКОВ В ТЕРМОГРАФИЧЕСКОЙ КАЛОРИМЕТРИИ

Термографической калориметрии называли Э. Ф. Капустинский и Ю. П. Барский [43] один из методов количественной термографии. Сущность метода заключается в измерении потока тепла в оболочке из малотеплопроводного материала, окружающего со всех сторон исследуемое вещество. Измерение теплового потока при этом производится по методу, аналогичному методу дополнительной стенки, и предполагает известное значение теплопроводности оболочки. Запись разности температур на оболочке и температуры исследуемого вещества позволяет определять различные тепловые эффекты теплоты фазового превращения, химической реакции и т. д. Этот метод термографии позволяет в принципе осуществлять любым способом нагрева, но обычно применяется в условиях так называемого квазистационарного или линейного режима нагрева. Теория квазистационарного режима разработана А. В. Лыковым [59]. Е. П. Шургина [12] на основе особенностей этого режима впервые осуществила измерение термических характеристик материала способом измерения теплового потока вне образца.

В сборнике [43] приведено описание установки по простоте исполнения метода термографической калориметрии с записью разности температур на оболочке, пропорциональной тепловому потоку. Подобная установка осуществлена в работе О. В. Ризина [72], причем в ней предложено измерять разность температур всего в одном месте калориметра и градуировать установку по электронагревателю. Там же отмечено что результаты тарировки должны зависеть от формы этого нагревателя.

В подобных установках на точность измерений влияют изменение теплофизических свойств оболочки, геометрические размеры калориметра. Для устранения влияния этих факторов, И. Ш. Ягфаров и Л. Г. Берг [98] предложили измерять разность

тепловых потоков, поступающих в образец и в эталонное вещество (воздух). Установка, созданная Ягфаровым и Бергом, позволяет подводить тепло только по линейному закону.

Ю. П. Барский [8, 9] вводит для методов количественного определения теплофизических констант вещества или его фазового состава при переменном нагреве с помощью измерения величин, пропорциональных q , термин «тепловой анализ». С помощью этих методов могут быть решены различные задачи физико-химического анализа: определение тепловых эффектов, измерение тепловых констант, электропроводности, изменения веса и т. д. В частности, эти методы дают возможность определять теплоты растворения, смачивания и т. п. — процессы сопровождаемые весьма малыми тепловыми эффектами.

Как видно из приведенного краткого обзора, измерение теплового потока в твердом теле начинает интересовать различные отрасли науки. Применение датчиков теплового потока для этой цели позволяет существенно упростить установки, отказаться от тарировки каждого из калориметров. Размещение нескольких датчиков в характерных местах калориметра позволит получать как местные, так и средние по прибору значения тепловых потоков.

Нами неоднократно производились измерения тепловых потоков при различных режимах подвода тепла — постоянном ($q = \text{const}$), линейном ($q = kt$) и экспоненциальном ($q = ke^{-at}$). Высокая точность измерения q сохраняется в широком интервале скорости изменения теплового потока и ограничивается лишь величиной постоянной времени (1–3 сек) датчика. Запись результатов производилась вручную со шкалы гальванометра (одиночные датчики), а также с помощью потенциометров типов ЭПП-09 и КВТ1/ЕН (батарейные датчики).

49. ПРИБОР ДЛЯ ИЗМЕРЕНИЯ КОНВЕКТИВНЫХ ТЕПЛОВЫХ ПОТОКОВ ДО $10^6 \text{ вт}/\text{м}^2$ [21]

По договорам с исследовательскими и промышленными предприятиями разработана аппаратура для измерения локальных потоков тепла интенсивностью до $10^6 \text{ вт}/\text{м}^2$ при размещении датчиков в теплообменниках на стороне горячих газов или на стороне слабоагрессивной жидкости (морской воды). Благодаря невысокой рабочей температуре датчиков их можно делать медно-константановыми (см. разд. 31, 41). Применение медных токосъемных и удлинительных проводников позволило в значительной мере упростить коммутирующую аппаратуру — отказаться от термостатирования, применить стандартный шаговый испытатель и т. д. Так же, как и в приборе, описанном ранее, один регистрирующий прибор с использованием чувствительного элемента гальванометра М-195/2 обслуживает десять оди-

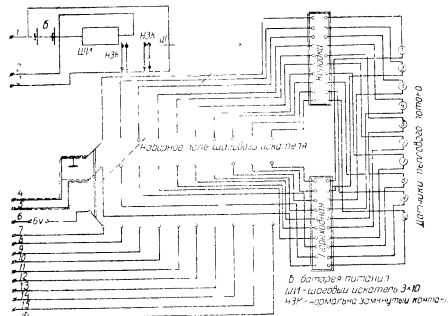


Рис. 73. Схема коммутации аппарата УП 1/62

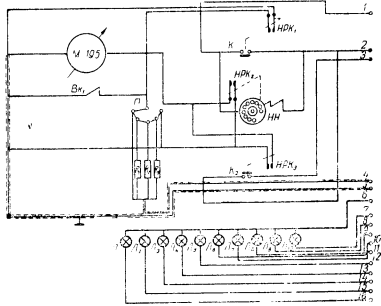


Рис. 7-2 Электрическая схема агрегатов управления и коммутации ДТП-162

ночных датчиков, расположенных в различных местах теплообменника или изделия.

Регистрирующий прибор располагается в 8–10 м от изделия Управление шаговым искателем производится номеронабирателем. В схеме управления добавлено табло с десятью цифрами. При включении в цепь регистрирующего прибора того или

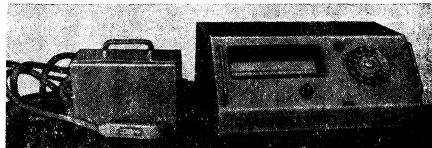


Рис. 73. Высший прибор измерения АПГ-1/64

иного датчика соответствующая цифра освещается лампочкой. Лампочка питается от трансформатора питания, через третий ряд kontaktов шагового испытателя. На рис. 73 приведена схема коммутации, на рис. 74 — электрическая схема агрегатов коммутации и управления. Внешний вид аппаратуры изображен на рис. 75.

С помощью аналогичных приборов проводятся измерения тепловых потоков конвекцией от расплавленных солей при электролизе их с целью получения галогенов и металлических компонент (работа проводится совместно с кафедрой общей и теоретической теплотехники Киевского ордена Ленина политехнического института). Существенную роль здесь играют вопросы защиты от агрессивных сред и сильных электрических полей.

50 СКОРОСТНОЙ МЕТОД ОПРЕДЕЛЕНИЯ ЭФФЕКТИВНОСТИ ТЕПЛОИЗОЛЯЦИИ

Локальное измерение малых тепловых потоков с помощью батарейных датчиков позволяет предложить метод определения эффективности термоизоляции в натурных условиях на ограждениях, трубопроводах и машинах. По договору с Министерством монтажных и специальных строительных работ УССР, в лаборатории методов тепловых измерений в 1964 г. выпущена партия из 20 приборов, позволяющих осуществить широкую производственную проверку метода. Интервал измеряемых тепловых потоков составляет $50-1000 \text{ ет}^2/\text{м}^2$; условия проверки изо-

зации могут быть тяжелыми для чувствительных гальванометров. Поэтому для такой цели применяются батарейные датчики, градуируемые в паре с достаточно грубыми стрелочными приборами типа милливольтметра.

Датчик толщиной около 1,5 и диаметром 20 мм, будучи приложенным к испытуемой поверхности, практически образует с ней изотермическую поверхность и его присутствие не иска- жает конвективных потоков воздуха. Единственным источником погрешности измерения теплового потока может стать различие в степени черноты датчика и испытуемой поверхности, так как обмен тепла радиацией может составлять существенную долю конвективного потока тепла. Поэтому необходимо будет подобрать материал или окраску кожуха датчика таким обра- зом, чтобы его поверхность одинаково излучала с испытуемой. В датчик заделяется и обычая гермопара для определения температуры поверхности изоляции одновременно с тепловыми потерями через нее.

С целью проверки работы датчиков на различных поверхно- стях, в различном положении (вертикальном, наклонном или горизонтальном), а также для исследования естественной кон- векции использована установка типа шаровых калориметров [95]. Она состоит из полой сферы из латуни диаметром 210 мм, с толщиной стенки около 3 мм. Внутренняя поверхность сферы оклеена плоским электронагревателем из первмаллоя толщиной 0,07 мм с изоляцией из полумиллиметрового асбеста. Такое устройство нагревателя позволяет почти без инерции задавать тот или иной тепловой режим на поверхности шара. Нагрева- тель состоит из 20 сегментов, каждый из которых разрезан так, что образуется ленточка шириной около 2,5 мм. Сегменты соединены между собой последовательно, с расчетом питания их от ЛАТР-1 с максимальной мощностью в 2 квт при падении на- пряжения в 220 в. Максимальная расчетная температура на по- верхности незащищенного шара — 400°C. Выводы от нагрева- теля направляются через диаметрально расположенные трубочки диаметром 5/3 мм наружу. Трубочки эти из нержавеющей стали являются опорами шара в координатнике. Шар можно поворачивать и фиксировать в любом положении для трассиров- ки одним и тем же датчиком промежуточных положений от 0 до 2 π рад. Устройство установки и внешний вид ее приведены на рис. 76 и 77. Наружная поверхность шара полирована и хро- мирована. При необходимости на нее легко накладывать слой той или иной изоляции.

Первые опыты на установке показали хорошую сходимость среднего из локальных значений удельного теплового потока, зафиксированных батарейным датчиком, с удельным потоком, замеренным по расходу электроэнергии.

Исследование возможности измерения малых конвективных тепловых потоков в различных условиях позволяет поставить и без больших трудностей осуществить работу по определению

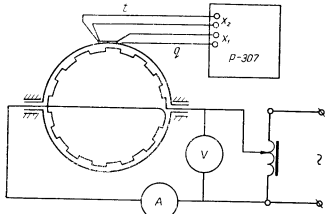


Рис. 76 Электрическая схема установки для исследо- вания конвективного теплообмена.

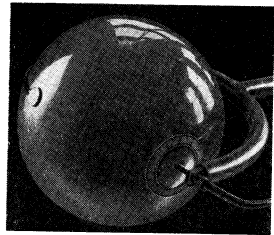


Рис. 77 Внешний вид установки для исследования конвективного теплообмена

потерь тепла обмуровкой котельных агрегатов (q_5), что пополнит работы, проводимые в Институте технической теплофизики АН УССР и Институте автоматики при Госплане УССР по опреде- лению потерь в котельных установках [49, 87].

51. ИССЛЕДОВАНИЕ НЭЙСМИТА ПО ОПРЕДЕЛЕНИЮ ТЕПЛОВЫХ ПОТОКОВ К СТЕНКЕ ПРИ СВЕРХЗВУКОВОМ ОБТЕКАНИИ С ОТРЫВОМ

Нам известна лишь одна попытка использования за границей датчика теплового потока — спущенной дифференциальной термопары — для исследования локального теплообмена

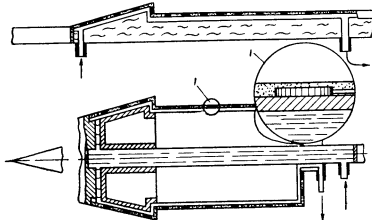


Рис. 78 Схема установок Нэйсмита по исследованию конвективного теплообмена

А Нэйсмит на конференции по теплообмену в Лондоне в январе 1962 г. доложил [126] об использовании датчиков с промежуточным слоем из теллуристого серебра, изготовленных фирмой Джонс, Лэбл и К° (см. разд. 12), для измерения тепловых потоков к стенке при обтекании ее сверхзвуковым потоком воздуха и срыве течения на наклонной ступеньке.

Нэйсмит провел два эксперимента с плоским клином и с круговым конусо-цилиндром (рис. 78). В обеих установках угол наклона $\alpha = \frac{\pi}{12}$ рад, величина ступени — 25,4 мм. Установки охлаждались спиртом. Снаружи металлическая поверхность образцов покрывалась слоем малотеплопроводной эпоксидной смолы (для предотвращения продольного перетекания тепла) с заданными в нее датчиками размером $10 \times 1,5$ мм. Теплопроводность смолы была подобрана одинаковой с материалом датчика путем добавки к ней алюминиевого порошка. Клины устанавливались на нижней стенке аэродинамической трубы размером 127×127 мм, конусо-цилиндр — в трубе 915×915 мм.

Цель работы Нэйсмита была отыскать положение и определить величину пика в распределении коэффициента теплоот-

дачи, получающегося за счет увеличения давления в вязком слое при повторном соприкосновении оторвавшегося на ступеньке потока со стенкой.

Для этого клин был оборудован 14 датчиками: 5 на наклонной плоскости и 9 — на горизонтальной плоскости после ступеньки. Для второй модели число датчиков было увеличено

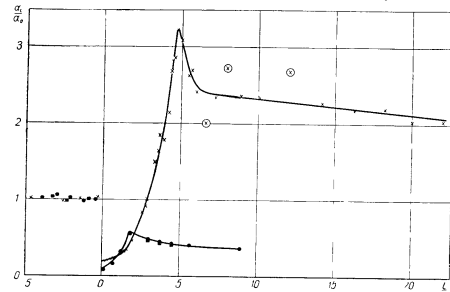


Рис. 79 График зависимостей, полученных в результате измерений Нэйсмита

до 49, из них 5 на конической части, 4 — на ступеньке и 40 — в цилиндре. Температура поверхности над каждым датчиком измерялась обычной термопарой. В обеих установках система охлаждения спиртом позволяла поддерживать стабильное состояние модели не более 5 мин. Поэтому, если для клина можно было производить запись вручную с обычного потенциометра, то для конусо-цилиндрической модели записи были автоматизированы с помощью самопищущего потенциометра и электромеханического переключателя.

Условия работы позволили Нэйсмиту провести опыты с клином только для турбулентного пограничного слоя при давлениях торможения 3 и 5 ат (критерий Re порядка 10^7). В большей установке опыты возможно было провести лишь при низком давлении торможения, что соответствовало небольшим Re , и пограничный слой был ламинарным.

Результаты своих опытов Нэйсмит обработал в виде зависимости $\frac{\alpha}{\alpha_0} = f(l)$, где l — расстояние от ступеньки, отнесенное

к высоте ступеньки, α_0 — коэффициент теплоотдачи на наклонной части модели (до ступеньки). Коэффициенты теплоотдачи определялись из соотношения

$$\alpha = \frac{q}{T_c - T_w},$$

где T_w — температура стеки (измерялась термопарой), T_c — собственная температура стеки (см. разд. 12). Как и у Слэка [137], здесь T_c определялась экстраполяцией функции $q=f(T_w)$ к условию нулевого теплообмена. По данным Нэйсмита, зависимость эта имеет вид прямой линии.

На рис. 79 приведены зависимости, полученные из опытов. Для случая клина явно выраженного пика не было. Коэффициент теплоотдачи, очень малый в застойной зоне за ступенькой, возрастает к $l=2$ до величины 0,5 α_0 и потом снова плавно падает. Для большой модели получен явно выраженный пик в районе $l=5$. Величина $\frac{\alpha}{\alpha_0}$ при этом возрастает до 3, что объясняется возможным переходом от ламинарного слоя к турбулентному.

Нэйсмит не приводит данных по стабильности работы датчиков из теллуристого серебра. Условия постановки опытов на двух моделях сделали результаты их малопригодными для сравнения. И все же из рассмотрения этих данных можно сделать вывод, что с помощью датчиков тепловых потоков Нэйсмиту удалось получить интересную картину теплообмена в застойной зоне и зоне повторного удара сверхзвукового потока о стенку. Широкофотографии, полученные Нэйсмитом, подтверждают границы застойной зоны в $l=2$ для клина и $l=5$ для конусцилиндра.

52. ИССЛЕДОВАНИЕ ПОЛЯ ТЕПЛОВЫХ ПОТОКОВ ИЗЛУЧАТЕЛЯ

Датчики теплового потока позволяют получать местные значения направленного или полусферического излучения лучистой энергии. Наружная грань датчика при этом покрывается чернью с известной степенью черноты. Она воспринимает лучистую энергию, которая при этом превращается в тепловую энергию и перетекает к противоположной грани датчика теплопроводностью. «Холодная» грань датчика должна интенсивно охлаждаться, чтобы обратная радиация и конвекция были достаточно малыми.

При исследовании свойств излучателя направленных тепловых потоков, описанного в разд. 26, произошел замер поля теплового потока в направлении, нормальному к плоскости амбразуры излучателя. Для этого применялись платино-констан-

тановые датчики, а при измерениях на оси излучателя — также компенсационный радиометр.

Охлаждались датчики за счет принудительной конвекции воздуха. Датчик вместе с фарфоровой кассетой, в которой он был протарирован, фиксировался с помощью кронштейна-координатника в различных точках поля. Таким образом, были сняты

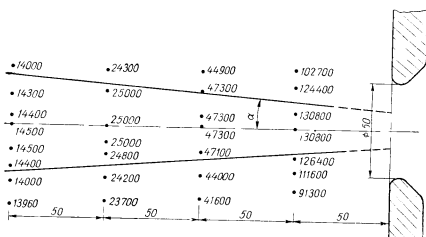


Рис. 80 Поле тепловых потоков мощного излучателя

поля тепловых потоков при различных режимах. На рис. 80 представлены результаты измерения при температуре излучателя (по оптическому пирометру) 1490°C . Цифры в точках имеют размерность $\text{Вт}/\text{м}^2$. Из рисунка видно, что внутри конуса с углом при вершине $2\alpha = \frac{\pi}{18} \text{ рад}$ равномерность поля по каждому нормальному сечению высока (диаметр конуса, отсекаемого внешней плоскостью передней стенки, составляет 20 мм) [25].

53. ОПРЕДЕЛЕНИЕ КОЭФФИЦИЕНТА ПРОПУСКАНИЯ ТЕПЛОПРОЗРАЧНЫХ МАТЕРИАЛОВ

Коэффициент пропускания теплопрозрачных материалов легко определить с помощью датчиков теплового потока, как на специальном стенде, так и в производственных условиях. Интегральный коэффициент пропускания $t_{\text{мат}}$ характеризуется отношением показаний облучаемого датчика с фильтром из испытуемого материала и без него. Опытное определение коэффициента пропускания проводилось на пластинках из стекла, мусковита (белая слюда) и галита (каменная соль). Пластинки

располагались на пути к датчику лучистой энергии от излучателя, нагревательный элемент которого имел температуру около 1500°C. Для сравнения полученных данных с литературными мы воспользовались сведениями из работы И. А. Марголина и Н. П. Румянцева [64]. Эти сведения даны в виде зависимости $\tau_\lambda = f(\lambda)$ (рис. 81). На том же графике построено распределение $E'_\lambda = f'(\lambda)$ (рис. 81) На том же графике построено распределение

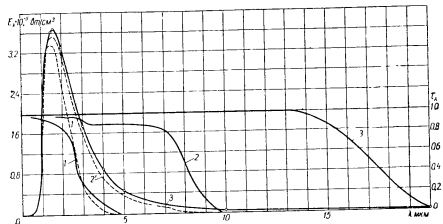


Рис. 81 График зависимостей, полученных в результате определения теплопрозрачности некоторых материалов
1 — стекло 2 — мусковит 3 — галит

ние интенсивности излучения по длинам волн $E_\lambda = f(\lambda)$, согласно формуле Планка, в предположении, что источник является абсолютно черным телом при 1500°C. Для каждого из исследованных материалов было построено распределение $E'_\lambda = f'(\lambda)$ после прохождения лучистым потоком фильтра простым умножением $E'_\lambda = \tau_\lambda \cdot E_\lambda$. Расчетная величина τ_{int} определялась отношением интегралов

$$\tau_{\text{int}} = \frac{\int_0^\infty E'_\lambda d\lambda}{\int_0^\infty E_\lambda d\lambda},$$

представляющих площади, ограниченные линиями графиков E'_λ осью абсцисс. В расчете площади определялись планиметрированием. Ниже приведены результаты расчета и измерения τ_{int} :

Материал светофильтра	Расчетное τ_{int}	Экспериментальное τ_{int}
Стекло . . .	64,5	62,8
Мусковит . . .	81,2	75,5
Галит . . .	99,3	97,6

Из них видно, что значения τ_{int} , полученные экспериментально, несколько меньше расчетных. Это объясняется тем, что в опытах не учитывалось отражение лучистого потока от границ испытуемых пластинок. Для более точного определения количества энергии, поглощенной фильтром, необходимо проводить опыты с несколькими фильтрами одинакового материала. Это дает возможность оценить коэффициент отражения, так как первые опыты показали, что для приведенных материалов коэффициент интегрального пропускания сравнительно слабо зависит от толщины фильтра.

Возможность оперативной работы с датчиком позволит определить, например, теплопоглощение пленок различных синтетических материалов в процессе их изготовления — термической и механической обработки, а следовательно, и выбирать рациональный способ подвода тепла (конвекцией, радиацией) к пленке, решать вопросы мощности и расположения нагревателей и т. п.

ЗАКЛЮЧЕНИЕ

Выше были приведены лишь некоторые частные случаи применения приборов, предназначенных для измерения тепловых потоков.

Дальнейшее совершенствование приборов должно идти по пути повышения чувствительности элементов и улучшения регистрирующей аппаратуры. Необходимо полностью перекрыть диапазон измерений потоков от 10^{-3} до $10^8 \text{ Вт}/\text{м}^2$ и существенно расширить диапазон температур, при которых проводятся измерения. Для современного физического эксперимента крайне необходимы приборы для измерения тепловых потоков при глубоких криогенных температурах вплоть до непосредственной окрестности абсолютного нуля.

В связи с расширением наших представлений о температуре как параметре, характеризующем не только насыщенность энергией, но и характер ее распределения между отдельными группами частиц, образовались понятия весьма глубоких отрицательных температур. В таких условиях терпит кризис понятие о различии температур и связанных с ней потоков энергии. Принципиальная теоретическая сторона этого вопроса и экспериментальное воплощение такого рода измерений представляет собой широкое поле деятельности как для теплофизиков-теоретиков, так и для экспериментаторов.

Уже существующие описанные выше датчики тепловых потоков могут быть широко рекомендованы для контроля и автоматического управления различными технологическими процессами.

Энергия излучения при прочих постоянных факторах пропорциональна четвертой, а иногда даже более высокой степени температуры. В связи с этим малые отклонения в температуре приводят к не менее чем в четыре раза большим относительным отклонениям в потоках радиационной энергии. Это обстоятельство открывает весьма перспективную возможность измерения и контроля температуры посредством регистрации интегрального потока энергии излучения при помощи охлаждаемого датчика. Применение батарейных датчиков с большими значениями выходных сигналов делает возможным использование такой системы не только для контроля, но и для автоматического управления высокотемпературными технологическими процессами, например, в печах-кристаллизаторах для выращивания тугоплавких монокристаллов, отжигательных печах и ряде других, технически важных случаях.

Очень эффективным, по-видимому, должно быть применение датчиков локальных тепловых потоков в микрокалориметрии при изучении энергетической кинетики различных химических и биологических процессов.

Во всех областях науки и техники местные измерители потоков энергии могут служить новым могучим средством анализа самых разнообразных явлений.

ЛИТЕРАТУРА

1. Адрианов В. Н., Радиометрический прибор для измерения лучистых потоков, сб. «Конвективный и лучистый теплообмен», М., Изд-во АН СССР, 1960.
2. Адрианов В. Н., Шорин С. Н., Теплообмен потока излучающих продуктов горения в канале, «Теплоэнергетика», 1957, № 3
3. Аладьев И. Т., Экспериментальное определение локальных и средних коэффициентов теплоотдачи при турбулентном течении жидкости в трубах, «Изв. АН СССР, ОТН», 1951, № 11.
4. Амирханов Х. И., Исследование теплопроводности закиси меди, «Изв. АН АзССР», вып. 1, 1946, № 4.
5. Амирханов Х. И., Керимов А. М., Исследование теплоемкости воды и водяного пара вблизи пограничной кривой, «Теплоэнергетика», 1957, № 9.
6. Амирханов Х. И., Керимов А. М., Экспериментальное исследование теплоемкости воды и водяного пара при температурах от 50 до 400°C и давлениях от 1 до 1000 кг/см², «Теплоэнергетика», 1962, № 6.
7. Аифимов Н. А., Шевченко А. П., Емкостный метод измерения нестационарных кратковременных тепловых потоков, «Изв. АН СССР, ОТН, Механика и машиностроение», 1960, № 4
8. Барский Ю. П., Тепловой анализ, Тезисы докладов 2-го совещания по термографии, Казань, Изд-во Каз. филиала АН СССР, 1957.
9. Барский Ю. П., Количественная термография, Тезисы докладов 3-го совещания по термографии, Рига, Изд-во АН Латвийской ССР, 1962.
10. Бахвалов Г. Р., Биркган Л. Н., Лабутин В. П., Справочник гальваностата, М., Металлургиздат, 1954.
11. Бегунова А. Ф., Дульчинев Г. Н., Платунов Е. С., Приборы для теплофизических измерений, разработанные в ЛИТМО, Тепло- и массоперенос, т. 1, Минск, Изд-во АН БССР, 1962
12. Берг Л. Г., Введение в термографию, М., Изд-во АН СССР, 1961.
13. Бернштейн Р. С., Померанцев В. В., Шагалова С. П., К вопросу о механизме сопротивления и теплоотдачи в трубных пучках, сб. «Вопросы аэродинамики и теплопередачи в котельно-топочных процессах», Госэнергопиздат, 1958.
14. Бонни, Прайс, Поведение материалов при сверхвысокой температуре, сб. «Получение и исследование высокотемпературной плазмы», М., ИЛ, 1962
15. Борориков С. И., Геращенко О. А., Федоров В. Г., Ра-діаційна піч, Збірник праць Інституту теплоенергетики № 24, К., Вид-во АН УРСР, 1962.
16. Браун, Чарльсон, Джонсон, Прибор для измерения стационарного потока тепла, «Приборы для научных исследований», 1961, № 8

- 17 Векшинский С А, Новый метод металлографического исследования сплавов, М—Л, Гостехиздат, 1944
- 18 Геращенко О А, Канд дисс, К, 1954
- 19 Геращенко О А, Удостоверение о регистрации № 5552 с приоритетом от 7 II, 1957
- 20 Геращенко О А, Ионова Н Н, Исследование термоэфекта с термопарой с гальваническими покрытиями, Конференция по автоматическому контролю с методами электрических измерений, Тезисы докладов, Изд во ЦБТИ, Новосибирск, 1963
- 21 Геращенко О А, Федоров В Г, Прибор для измерения локальных тепловых потоков, «Теплоэнергетика», 1958, № 6
- 22 Геращенко О А, Федоров В Г, Датчик теплового потока, Изд во филиала ВИНИТИ, тема 34, № П-58-80/8, 1958
- 23 Геращенко О А, Федоров В Г, Прибор для измерения локальных значений мощных тепловых потоков, «Автоматика и приборостроение», Инф листок А-28 (173), К, 1961
- 24 Геращенко О А, Федоров В Г, Абсолютные приборы для измерения лучистых потоков, Труды 2-го совещания по экспериментальной технике и методам высокотемпературных измерений (в печати)
- 25 Геращенко О А, Федоров В Г, Малоинициерный излучатель мощных тепловых потоков, «Автоматика и приборостроение», 1962, № 2
- 26 Геращенко О А, Федоров В Г, Компенсационный радиометр, «Автоматика и приборостроение», 1962, № 2
- 27 Геращенко О А, Федоров В Г, Прибор для измерения лучистых потоков большой интенсивности, сб «Приборы для измерения акустических и оптических величин», вып 5, тема 36, № П-62-45/6, ГОСНИТИ, К, 1962
- 28 Геращенко О А, Федоров В Г, Использование датчиков теплового потока при высокотемпературных измерениях, Сессия Совета по высокотемпературной теплофизике, Сб докладов, Изд-во АН УССР, К, 1963
- 29 Глиников Ч А, Вавилов И С, Приборы для исследования тепловой работы металлургических печей, «Заводская лаборатория», 1955, № 10
- 30 Глейзер П Е и др, Измерение коэффициента теплопроводности при температурах выше 1000°C, «Приборы для научных исследований», 33, 1, 1962
- 31 Гончаренко С К, Краткий справочник гальванотехника, К—М, Машигиз, 1955
- 32 Гутарев В В, Теплообмен в начальном участке прямой трубы при различных формах входа, Труды Московского ин-та химического машиностроения, т XV, 1958
- 33 Гухман А А, Илюхин Н В, Основы учения о теплообмене при больших скоростях, М, Машигиз, 1951
- 34 Ермолин В К, Интенсификация конвективного теплообмена в трубах в условиях закрученного потока, ИФЖ, 1966, № 11, автореферат диссертации, Л, 1961
- 35 Жукаускас А, Теплоотдача цилиндра в поперечном потоке воздуха, «Теплоэнергетика», 1955, № 4
- 36 Жуковский В С, Кирреев А В, Шамшев Л П, Оптический метод исследования распределения коэффициента теплоотдачи в вынужденном потоке, ЖТФ, 4, 10, 1934
- 37 Залкинд И Я, Аланян А В, Корнер И М, Малоинициерционный теплометр ОРГРЭС, «Теплоэнергетика», 1960, № 7
- 38 Иванцов Г П Теплообмен между слитком и изложницей Ч, Истаттургиздат, 1951
- 39 Иоффе А Ф, Полупроводниковые термоэлементы, М—Л, Изд во АН СССР, 1960
- 40 Калитин Н Н, Новый тип актинометра для измерения напряжения солнечной радиации, «Метеорологический вестник», 1927, № 1
- 41 Калитин Н Н, Актинометрия, М—Л, Гидрометеоиздат 1938
- 42 Камило И К, Исследование теплопроводности твердых тел в интервале 80—500°К, «Приборы и техника эксперимента», 1962, № 3
- 43 Капустинский Э Ф, Барский Ю П, Термографическая калориметрия, Труды 1-го совещания по термографии, М—Л, Изд во АН СССР, 1955
- 44 Кати Н В, Металлизация распылением, Х, Дом техники, 1940
- 45 Кацельсон Б Д, Шатиль А А, Исследование экспериментальной горизонтальной циклонической камеры горения с воздушным охлаждением, «Теплоэнергетика», 1959, № 9
- 46 Кирпичев М В, Исследование теплоизлучения в отдельных частях цилиндрического тела в работе воздуха, Труды Ленинградского лаборатории, вып 2, 1925
- 47 Кокорев Д К, Компенсационный радиометр, Труды Моск. ин-та хим. машиностроения, т XV, 1958
- 48 Кондратьев Г М, Тепловые измерения, М—Л, Машигиз, 1957
- 49 Кочережко А Н, Федоров В Г, Система автоматического контроля горючих в летучей зоне крупных котлоагрегатов, «Энергетика и электротехническая промышленность», К, 1962, № 1
- 50 Кочо В С, Исследование теплообмена в рабочем пространстве мартеновской печи, «Сталь», 1950, № 3
- 51 Кружилин Г Н, Шваб В А, Новый метод определения а-поля на поверхности тела, омыываемого потоком жидкости, ЖТФ, т V, вып 3 и 4, 1935
- 52 Кудрявцев Е В, Чакалов К Н, Шумаков Н В, Нестационарный теплообмен, М, Изд во АН СССР, 1961
- 53 Кузнецова Л А, Теплоотдача круглой струи, вытекающей в щель, «Энергомашинстроение», 1959, № 11
- 54 Курукчин Б Н, Черноголова А И, Температурный контроль работы сводов мартеновских печей, «Заводская лаборатория», 1953, № 6
- 55 Ландау Л Д, Лишиц Е М, Электромеханика сплошных сред Ч, Физматиз, 1959
- 56 Лебедев Л Д, Сушка инфракрасными лучами, М—Л, Госэнергоиздат, 1955
- 57 Лельчук В Л, Теплообмен и гидравлическое сопротивление при течении с большими скоростями, ЖТФ, т IX, 9, 1939
- 58 Лохте-Хольгревен, Шаль, Векслер, Получение и измерение высоких температур, сб «Получение и исследование высокотемпературной плазмы», М, ИЛ, 1962
- 59 Лыков А В, Теория теплопроводности, М, Госэнергоиздат, 1952
- 60 Мальцев В В, Исследование движения газов в теплоизлучателях во вращающихся роторах, «Вестник электропромышленности», 1962, № 11
- 61 Махновецкий А С, Метод ускоренной градиуровки плоских измерителей тепловых потоков, «Изв вузов Приборостроение», № 1 1959
- 62 Минавин В Е, Субботин В И, Ушаков П А, Шололов А А, Об ошибке измерения температуры за счет искажений изотермы в районе заделки термопар, сб «Конвективный и тучистый теплообмен» Ч, Изд-во АН СССР, 1966
- 63 Михеев М А, Основы теплоизлучения, М—Л, Госэнергоиздат 1956
- 64 Марголин И А, Румянцев Н П Основы инфракрасной техники, Ч, Воениздат, 1957
- 65 Николаевский А, Душкин И Измерение малых тепловых потоков «Холодильная техника», 1959, № 2

66. Ожигов Г. Е., Малонерционный термостолбик для исследований лучистого теплообмена Тепло- и массоверенос, т. I, Минск, Изд-во АН БССР, 1962.

67. Перелешин А. П., О результатах экспериментального исследования т. э. д. с в термисторах, ИФЖ, 4, 1960; Физико-химические свойства термисторов, изготовленных из окислов марганца, сб «Проблемы энергетики», М., Изд-во АН СССР, 1959

68. Петухов В. С., Опытное изучение процессов теплопередачи, М.—Л., Госэнергоиздат, 1952.

69. Поварин П. И., Кулаков И. Г., Нагрев электронной бомбардировкой, как новый метод изучения теплообмена при кипении жидкостей. Инф. письмо № 6, М., 1958

70. Поляков Ю. А., Применение пленочных датчиков для изучения теплообмена в диссociированном потоке газа, сб. «Физическая газодинамика, теплообмен и термодинамика газов высоких температур», М., Изд-во АН СССР, 1962

71. Преображенский В. П., Технотехнические измерения и приборы, М.—Л., Госэнергоиздат, 1953

72. Ривин О. В., Калориметрические определения на основе измерения тепловых потоков, Ученые записки Казахского университета, т XXXV, 1957.

73. Розенблatt M. A., Магнитные усилители, М., Изд-во «Сов. радио», 1956.

74. Руссо В. Л., Исследование гарнисажных футеровок, «Изв вузов. Энергетика», 1962, № 1.

75. Савинов С. И., К теории пластинчатых актинометров типа Михельсона, Труды главной географической обсерватории, вып 14, Л., Гидрометеориздат, 1949.

76. Самарин А. М., Вакуумная металлургия, М., Металлургиздат, 1962

77. Селезнев К. П., Тарапин А. И., Определение температурного поля в элементах газовых турбин методом электрического моделирования, «Энергомашстроение», 1966, № 3.

78. Семинкин И. Д., Костогрызов В. С., Цыганков О. Л., Радиационный теплометр, сб. «Автоматизация и приборостроение», вып II, К., 1961.

79. Сергиевская Т. Г., Теплоотдача статора электрической машины, «Вестник электропромышленности», 1962, № 11.

80. Синельников А. С., Чахкин А. С., Теплоотдача круглого цилиндра в зависимости от угла, атаки, ЖТФ, II, вып 8-9, 1932.

81. Стронг Д., Практика современной физической лаборатории, М.—Л., ОГИЗ, 1948.

82 Стырович М. А., Сташкевич Е. В., К вопросу об экспериментальном исследовании теплообмена радиацией в топочной камере, ЖТФ, VI, вып. 2, 1936.

83. Стюшин Н. Г., О влиянии материала поверхности на теплообмен при пузырьковом кипении, сб «Вопросы теплообмена при изменении агрегатного состояния вещества», М.—Л., 1953.

84. Счастливый Г. Г., Авторское свидетельство № 147009 Бюлл изобретений, 1962, № 9.

85. Ткачев А. Г., Опытное исследование теплообмена при плавлении, сб «Вопросы теплообмена при изменении агрегатного состояния вещества», М.—Л., 1953.

86. Третьяков В. Д., Монометаллический актинограф, Труды Главной геофизической обсерватории, вып 5, Л., 1947

87. Федоров В. Г., Новый метод определения механического недуга, Энергетика и электротехническая промышленность, К., 1961, № 2

88. Федоров В. Г., Геращенко О. А., До питання про дослідження теплообміну між стінкою і зернистим матеріалом, Збірник праць Інституту теплоенергетики, К., вид. АН УРСР, вип. 16, 1959.

89. Федоров В. Г., Геращенко О. А., Авторське свидетельство по заявці № 793219/26—10 от 1.IX.1962 г, клас 601 к; 42; 1, 19

90. Филимонов С. С., Руставел Б. А., Адрианов В. Н., Измерение конвективной и лучистой составляющих сложного теплообмена методом двух радиометров, сб «Конвективный и лучистый теплообмен», М., Изд-во АН СССР, 1960.

91. Фильчаков П. Ф., О моделировании осесимметричных потенциальных полей на электропроводной бумаге, ДАН СССР, т. 125, 5, 1969

92. Фильчаков П. Ф., Панчишин В. И., Интегратор ЭГДА, Моделирование потенциальных полей на электропроводной бумаге, К., Изд-во АН УССР, 1961.

93. Хволсон О. Д., Курс физики, т 4, Учение о магнитных и электрических явлениях, 1923. Том дополнительный, Физика 1914—1926 гг., М.—Л., Госиздат, т 2, 1926

94. Черноволов А. И., Приборы для измерения потоков тепла в высокотемпературных печах, «Заводская лаборатория», 1949, № 2

95. Чиркин В. С., Теплопроводность промышленных материалов, М., Машиз, 1962

96. Швец И. Т., Дыбан Е. П., Воздушное охлаждение роторов газовых турбин, К., Изд-во КГУ, 1959.

97. Шелхинг Г., Теория пограничного слоя, М., ИЛ, 1956

98. Ягфаров М. Ш., Берг Л. Г., Принципы сравнительного термографического метода одновременного определения теплоемкости, теплопроводности, температуропроводности тепловых эффектов, Труды 2-го совещания по термографии, Изд-во Казанского филиала АН СССР, 1961.

99. Якоб М., Вопросы теплопередачи, М., ИЛ, 1960

100. Вексл V. H., Huglin H., Trans ASME, ser C, v 82, 1960, No 1.

101. Blau H. H., Proceedings of International Symposium on High Temperature Technology, 1960.

102. Calom, Рекламный листок фирмы «Regula», Прага, 1962

103. Cook J. C., Levine H. S., Rev Sci Instr, v 31, 1960, No 10

104. Сегмак I., «Automatisace», 10, 1958, Praha.

105. De-Lauer, Ph. D Thesis, Calif Inst of Technology, Pasadena, 1953

106. Encyclopedie Britannica, v 11, 1961

107. «Engineering», v. 178, 1954, p. 47

108. «Engineering», v. 181, 1956, p. 397.

109. Fay I. A., Riddeil F. R., Journal of the Aeronautical Sciences, v. 25, 1958, No 2

110. Gordon R., Rev Sci Instr, v. 24, 1953, No. 5

111. Gordon R., Trans. ASME, ser C, v. 81, 1960, No. 4

112. Glaser P. E., Rev. Sci. Instr., v. 28, 1958, No. 12.

113. Hager N. E., Rev. Sci. Instr., v. 31, 1960, No. 2.

114. Hooll I. H., Aeronautical Research Council Reports and Memoranda, London, 1957

115. Humble L. V., Lowdermilk W. H., Desmon L. G., NACA Report, 1951, No 1020

116. Keller I. A., Ryan N. W., ARS Journal, Oct, 1961

117. Lawton R. W., Prouty L. R., Hardy J. D., Rev. Sci. Instr., v. 25, 1954, No 4

118. Martinelli R. C., Morris E. H., Boelter L. M. K., NACA ARR, Dec, 1942

119. Masters I. T., Stein S., Rev. Sci. Instr., v. 27, 1956, No 12

120. Mattes B. L., Perlis T. A., Rev. Sci. Instr., v. 32, 1961, No. 3

121. Maulard I, Rech aeronaut, 81, 37, 1961
 122 Mc Adams W, Heat Transmission, New York, London, 1942
 123 McGuire I M, Wright H, Journal of Sci Instr, v. 37,
 1960, No 4
 124 A Method for Measuring the Thermal Conductivity, Rev Sci Instr,
 v. 21, 1950, No 11
 125 Morgan A I, Carlson R A, Trans ASME, ser C, v. 82,
 1961, No 2
 126 Naysmith A, International Heat Transfer Conference, London
 Rep 43, 1962
 127 Nunner W, VDI-Forschungsheft 455, Ausg 13, Bd 22, 1950
 128 Perls T A and oth, J Appl Phys 29, 1297, 1958
 129 Perry K P, Proc Inst Mech Engrs, 1954, No 30, p 168
 130 Radiometer, Rev Sci Instr, v. 24, No 5, 1953
 131 Rev Sci Instr, v. 24, No 12, 1953
 132 Rev Sci Instr, v. 27, p 116, 1956
 133 Rose P H, Stark W I, Journal of the Aeronautical Sci, v. 25
 1958, No 2
 134 Rompp H, Chemie Lexicon Stuttgart, 1962
 135 Seban R A, Trans ASME, ser C, v. 28, 1960, No 2
 136 Sherwood T K, Trass O, Trans ASME, ser C, v. 82, 1960,
 No 4
 137 Slack B C, NACA TN 2686, apr 1952
 138 Thomas P H, Smith P G, J Sci Instr, v. 37, 1960, No 3
 139 Willoughby A B, Rev Sci Instr, v. 25, 1954, No 7

ОГЛАВЛЕНИЕ

	Стр
Предисловие	3
Глава I Виды распространения тепловой энергии	5
1 Тепловое излучение	5
2 Теплопроводность	8
3 Конвекция	11
Глава II Исследование локального теплообмена	15
4 Конвекция и теплопроводность	15
5 Определение тепловых потоков по количеству пара	16
6 Водяные калориметры	19
7 Измерение местных тепловых потоков по расходу электроэнергии	21
8 Исследование локального теплообмена при плавлении	24
9 Методы аналогий	24
10 Оптический метод исследования теплообмена	26
11 Метод дополнительной стенки	27
12 Промежуточный электрод дифференциальной термопары*; качество дополнительной стенки	34
13 Приборы для измерения тепловых потоков при неустановившихся или кратковременных режимах	39
14 Тепловое излучение Радиометр с вертушкой	41
15 Методы теплового расширения	43
16 Энталпийный метод	44
17 Метод болометра	45
18 Метод термостолбика	46
19 Инерционный радиометр	49
20 Метод расплавления краски	50
21 Метод кондуктивного теплового потока	51
22 Пироэлектрический теплометр	53
23 Компенсационный метод	54
24 Универсальные тепломеры	58
Глава III. Приборы для создания контролируемых тепловых потоков и для их абсолютного измерения	60
25 Источники контролируемых мощных тепловых потоков	60
26 Малонерционный излучатель Нагревательный элемент	64
27 Компенсационный радиометр	69
28 Инерционный радиометр для больших потоков	77

<i>Глава IV</i>	Датчики теплового потока	80
29	Вопросы гомогенности Источники помех	80
30	Способы изготовления датчиков	83
31	Конструктивное оформление отрицательных датчиков	88
32	Термостатирование соединений во внешней цепи датчика	92
33	Усиление и регистрация сигнала датчика	93
34	Батарейные датчики теплового потока	95
35	Методика градуировки датчиков	101
36	Стенд для градуировки датчиков	102
37	Градуировка на компенсационном радиометре	104
38	Градуировка на водоохлаждаемой пластине	106
<i>Глава V</i>	Анализ погрешностей градуировки и измерения тепловых потоков с помощью датчиков	107
39	Погрешности градуировки, характер градуировочной кривой	107
40	Результаты градуировки партии платиноконстантановых датчиков	112
41	Результаты градуировки партии медно-константановых датчиков	115
42	Батарейные датчики галетного типа	117
43	Батарейные датчики спирального типа	118
44	Искажение тепловой картины исследуемого тела, вносимое датчиком теплового потока Метод ЭТА	120
45	Исследование возмущений, вносимых датчиком, численным методом	125
<i>Глава VI</i>	Применение датчиков теплового потока в теплоэнергетическом эксперименте	137
46	Измерение локальных тепловых потоков в изоляциях с $\lambda=0,2-2,0 \text{ вт}/\text{м}\cdot\text{град}$	137
47	Прибор для определения теплофизических констант	140
48	Использование датчиков в термографической калориметрии	144
49	Прибор для измерения конвективных тепловых потоков до $10^5 \text{ вт}/\text{м}^2$	145
50	Скоростной метод определения эффективности теплоизоляции	147
51	Исследование Нэйсмита по определению тепловых потоков к стенке при сверхзвуковом обтекании с отрывом	150
52	Исследование поля тепловых потоков излучателя	152
53	Определение коэффициента пропускания теплопрозрачных материалов	153
<i>Заключение</i>		155
<i>Литература</i>		157